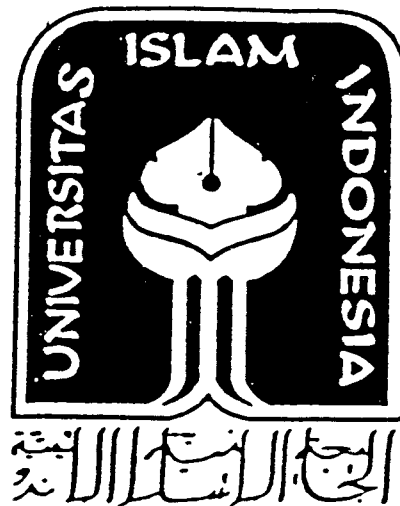


TUGAS AKHIR

**OPTIMASI STRUKTUR RANGKA BATANG BAJA
DARI BEBERAPA MODEL STRUKTUR RANGKA ATAP
DENGAN MENGGUNAKAN PROGRAM APLIKASI
KOMPUTER**



Disusun oleh :

ACHMAD BILAL

No. Mhs : 92 310 050
NIRM : 920051013114120050

HERLAMBAH ANTON B.

No. Mhs : 92 310 338
NIRM : 920051013114120337

**JURUSAN TEKNIK SIPIL
FAKULTAS TEKNIK SIPIL DAN PERENCANAAN
UNIVERSITAS ISLAM INDONESIA
YOGYAKARTA
2000**

TUGAS AKHIR

**OPTIMASI STRUKTUR RANGKA BATANG BAJA
DARI BEBERAPA MODEL STRUKTUR RANGKA ATAP
DENGAN MENGGUNAKAN PROGRAM APLIKASI
KOMPUTER**

**Diajukan kepada Universitas Islam Indonesai
Untuk memenuhi sebagian persyaratan memperoleh
Derajat Sarjana Teknik Sipil**

Disusun oleh :

ACHMAD BILAL

No. Mhs : 92 310 050
NIRM : 920051013114120050

HERLAMBANG ANTON B.

No. Mhs : 92 310 338
NIRM : 920051013114120337

**JURUSAN TEKNIK SIPIL
FAKULTAS TEKNIK SIPIL DAN PERENCANAAN
UNIVERSITAS ISLAM INDONESIA
YOGYAKARTA
2000**

HALAMAN PENGESAHAN

TUGAS AKHIR

**OPTIMASI STRUKTUR RANGKA BATANG BAJA
DARI BEBERAPA MODEL STRUKTUR RANGKA
ATAP DENGAN MENGGUNAKAN PROGRAM
APLIKASI KOMPUTER**

disusun oleh :

ACHMAD BILAL

No. Mhs : 92 310 050
NIRM : 920051013114120050

HERLAMBAH ANTON B.

No. Mhs : 92 310 338
NIRM : 920051013114120337

Telah diperiksa dan disetujui oleh :

IR. H. SUSASTRAWAN, MS.
Dosen Pembimbing I

IR. SUHARYATMO, MT.
Dosen Pembimbing II



Tanggal : 7-2-2000



Tanggal : 7-2-2000

KATA PENGANTAR

Assalamu'alaikum, Wr,Wb

Puji syukur kepada Allah SWT yang telah melimpahkan rahmat dan hidayahNya sehingga Laporan Tugas Akhir yang berjudul Optimasi Struktur Rangka Baja dari Beberapa Model Struktur Rangka Atap Baja dengan menggunakan Program Aplikasi Komputer dapat selesai disusun.

Laporan ini disusun sebagai persyaratan kelulusan pada kurikulum jenjang Strata satu (S1), Jurusan Teknik Sipil, Fakultas Teknik Sipil dan Perencanaan, Universitas Islam Indonesia Yogyakarta.

Berbagai pihak telah membantu penyusun selama melaksanakan Tugas Akhir ini. Pada kesempatan ini penyusun mengucapkan terima kasih kepada pihak-pihak berikut.

1. Bapak Ir. Widodo, MSCE, PhD, selaku Dekan Fakultas Teknik Sipil dan Perencanaan, Universitas Islam Indonesia,
2. Bapak Ir. H. Susastrawan, MS, selaku Dosen Pembimbing 1
3. Bapak Ir. Suharyatmo, MT, selaku Dosen Pembimbing 2
4. Kedua orang tua kami, dan Adik tercinta, atas bantuan dan doa restunya,

5. Rekan-rekan yang tidak dapat disebutkan satu persatu.

Semoga laporan Tugas Akhir ini dapat bermanfaat bagi penyusun dan semua pihak yang membutuhkan. Segala kekurangan dalam laporan ini karena kelemahan penyusun itu sendiri, semoga selanjutnya menjadi bahan pemikiran untuk arah perbaikan.

Wassalaamu'alaikum Wr,Wb

Yogyakarta, Januari 2000

Penyusun

D A F T A R I S I

| | |
|---|------|
| LEMBAR JUDUL | i |
| LEMBAR PENGESAHAN | ii |
| KATA PENGANTAR | iii |
| DAFTAR ISI | v |
| DAFTAR GAMBAR | viii |
| DAFTAR TABEL | x |
| DAFTAR LAMPIRAN | xi |
| ABSTRAKSI | xii |
| | |
| BAB I PENDAHULUAN | 1 |
| 1.1. Latar Belakang | 1 |
| 1.2. Tujuan | 2 |
| 1.3. Manfaat | 3 |
| 1.4. Hipotesa | 3 |
| 1.5. Batasan Masalah | 3 |
| 1.6. Metodologi Penelitian | 5 |
| | |
| BAB II TINJAUAN PUSTAKA | 6 |
| 2.1 Umum | 6 |
| 2.2 Pembahasan penelitian terdahulu | 9 |

| | |
|--|----|
| 2.3 Kesimpulan | 10 |
| | |
| BAB III LANDASAN TEORI | 11 |
| 3.1 Umum | 11 |
| 3.2 Penggunaan baja untuk struktur rangka batang atap | 13 |
| 3.3 Struktur Baja | 15 |
| 3.3.1 Batang Tarik Aksial | 18 |
| 3.3.2 Batang Tekan Aksial | 20 |
| 3.4 Pembebanan | 23 |
| 3.5 Analisa Struktur Rangka Batang | 24 |
| 3.5.1 Metode Matrik Kekakuan | 26 |
| 3.5.2 Aplikasi Metode Kekakuan pada Struktur Rangka Batang Bidang | 37 |
| | |
| BAB IV VALIDASI PROGRAM KOMPUTER | 40 |
| 4.1 Umum | 40 |
| 4.2 Data-data Struktur | 41 |
| 4.3 Analisa Struktur Rangka Batang | 42 |
| 4.3.1. Cara Manual | 42 |
| 4.3.2. Dengan Menggunakan Program SAP90 | 49 |
| 4.3.3. Dengan Menggunakan Program Aplikasi | 51 |
| 4.4 Kontrol Profil Baja | 53 |

| | | |
|------------------------------------|---|----|
| 4.4.1 | Hitungan Batang Desak | 53 |
| 4.4.2 | Hitungan Batang Tarik | 53 |
| BAB V ANALISA DAN PEMBAHASAN | | 58 |
| 5.1 | Model Struktur Rangka Batang Atap yang Akan Dioptimasi | 58 |
| 5.2 | Data-data Struktur | 59 |
| 5.3 | Hasil Perhitungan dengan Menggunakan Program Aplikasi | 64 |
| 5.3.1 | Atap I (15°) | 64 |
| 5.3.2 | Atap II (25°) | 66 |
| BAB VI KESIMPULAN DAN SARAN | | 72 |
| 6.1 | Kesimpulan | 72 |
| 6.2 | Saran | 76 |
| DAFTAR PUSTAKA | | 78 |
| LAMPIRAN | | |

D A F T A R G A M B A R

| | | |
|------------|---|----|
| Gambar 3.1 | Macam-macam model struktur rangka batang atap | 15 |
| Gambar 3.2 | Diagram tegangan-regangan baja struktur | 17 |
| Gambar 3.3 | Contoh struktur rangka batang | 28 |
| Gambar 3.4 | Deformasi batang | 30 |
| Gambar 3.5 | Batang tipikal pada struktur rangka batang bidang | 32 |
| Gambar 3.6 | Transformasi defleksi | 33 |
| Gambar 3.7 | Transformasi gaya | 35 |
| Gambar 4.1 | Contoh struktur rangka batang | 41 |
| Gambar 5.1 | Model-model struktur rangka batang atap baja yang akan dioptimasi | 58 |
| Gambar 5.2 | Pembebanan pada beban tetap (mati + hidup) untuk model Howe, Chmabered Howe, Pratt, dan Chamberd Pratt | 63 |
| Gambar 5.3 | Pembebanan pada beban angin untuk model Howe, Chambered Howe, Pratt, dan Chambered Pratt | 63 |
| Gambar 5.4 | Pembebanan pada beban tetap (mati + hidup) untuk model Warren dan Chambered Warren | 64 |
| Gambar 5.5 | Pembebanan pada beban angin untuk model Warren dan Chmabered Warren | 64 |
| Gambar 5.6 | Grafik optimasi model struktur atap I | 68 |

| | |
|---|----|
| Gambar 5.7 Grafik optimasi model struktur atap II | 69 |
| Gambar 5.8 Grafik defleksi model struktur atap I | 70 |
| Gambar 5.9 Grafik defleksi model struktur atap II | 71 |

D A F T A R T A B E L

| | |
|---|----|
| Tabel 4.1 Data-data tiap elemen | 42 |
| Tabel 4.2 Data berat profil tiap elemen | 42 |
| Tabel 4.3 Beban luar | 45 |
| Tabel 4.4 Validasi hitungan program aplikasi komputer ... | 53 |
| Tabel 5.1 Jarak antar gording dan panjang segmen | 59 |
| Tabel 5.2 Beban angin | 60 |
| Tabel 5.3 Rangkuman beban pada tiap titik buhul | 63 |
| Tabel 5.4 Hasil perhitungan pada atap I | 64 |
| Tabel 5.5 Hasil perhitungan pada atap II | 66 |

D A F T A R L A M P I R A N

| | |
|---|----|
| Lampiran flow chart optimasi model struktur rangka atap baja | 1 |
| Lampiran flow chart program aplikasi | 2 |
| Lampiran input data Atap I berdasarkan berat optimum | 3 |
| Lampiran input data Atap II berdasarkan berat optimum | 7 |
| Lampiran output data Atap I berdasarkan berat optimum ... | 11 |
| Lampiran output data Atap II berdasarkan berat optimum .. | 16 |
| Lampiran gambar struktur Atap I berdasarkan berat optimum | 20 |
| Lampiran gambar struktur Atap II berdasarkan berat optimum | 22 |
| Lampiran database profil AISC | 25 |
| Lampiran program aplikasi | 28 |

ABSTRAKSI

Dalam merencanakan suatu struktur rangka batang atap baja pada panjang bentang dan tinggi struktur yang telah ditentukan, tentu akan mencari suatu model struktur rangka batang atap yang paling optimum atau memiliki berat yang paling ringan. Hal ini dapat dilakukan dengan membandingkan berbagai model struktur rangka batang atap yang ada.

Tugas Akhir ini bertujuan mencari suatu model struktur rangka batang atap baja yang paling optimum dari beberapa model struktur rangka batang atap yang ada pada panjang bentang tertentu. Untuk memperoleh profil yang diinginkan pada perencanaan setiap model struktur rangka batang baja digunakan alat bantu komputer, melalui suatu software atau program aplikasi tertentu dibantu database yang berisi tabel profil, yang dapat menganalisa suatu struktur rangka batang serta mempercepat proses iterasi pemilihan profil, aman dalam menerima beban, dan defleksi struktur yang terjadi tidak melebihi batas yang ditentukan.

BAB I

PENDAHULUAN

1.1 Latar Belakang

Seorang perencana jika diberikan pekerjaan untuk merencanakan suatu struktur rangka batang atap baja dengan panjang bentang dan tinggi struktur yang telah ditentukan, tentu akan mencari suatu bentuk struktur rangka batang atap yang paling optimum atau memiliki berat yang paling ringan. Hal ini dapat dilakukan dengan membandingkan berbagai model struktur rangka batang atap yang ada.

Dalam perencanaan suatu struktur rangka batang baja, untuk memperoleh profil yang diinginkan diperlukan cara coba-coba. Bila cara ini ditempuh secara manual akan memerlukan waktu yang lama, membosankan, dan kemungkinan kurang telitian bisa saja terjadi.

Sebagai alat bantu analisis, komputer melalui suatu *software* atau program aplikasi tertentu dibantu

database yang berisi tabel profil, dapat menganalisa suatu struktur rangka batang serta mempercepat proses iterasi pemilihan profil, aman dalam menerima beban, dan defleksi struktur yang terjadi tidak melebihi batas yang ditentukan. *Software* tersebut dapat diciptakan dari berbagai program bahasa, misalnya program bahasa *Visual Basic, Delphi, Fortran*, dan sebagainya.

Dalam penyusunan Tugas Akhir ini program bahasa yang akan digunakan adalah *Visual Basic* versi 5,0 berbasis pada *Windows'95*.

1.2 Tujuan

Tujuan yang ingin dicapai dari Tugas Akhir ini adalah :

1. Diperoleh program aplikasi tertentu yang dapat menganalisa suatu struktur rangka batang, selanjutnya dapat merekomendasikan profil-profil yang dibutuhkan, aman dalam menerima beban, dan defleksi struktur yang terjadi tidak melebihi batas yang ditentukan.
2. Mencari suatu model struktur rangka batang atap baja yang paling optimum (paling ringan) dari

berbagai model struktur rangka batang atap yang ada pada panjang bentang tertentu.

1.3 Manfaat

Manfaat dari penulisan Tugas Akhir ini adalah

1. Diperoleh suatu program aplikasi yang memudahkan bagi perencana mendapatkan profil-profil yang dibutuhkan pada suatu struktur rangka batang baja.
2. Mengetahui suatu bentuk struktur rangka batang atap baja yang paling optimum dari komparasi berbagai model struktur rangka batang atap pada panjang bentang tertentu.

1.4 Hipotesa

Dari komparasi beberapa model struktur rangka batang atap baja dengan variasi bentang diharapkan akan diperoleh model struktur rangka batang atap yang paling optimum pada tiap panjang bentang tertentu.

1.5 Batasan Masalah

Untuk memperoleh hasil yang optimal dan kemudahan dalam pembuatan program aplikasi perencanaan struktur

rangka batang baja dalam Tugas akhir ini, beberapa batasan masalah yang perlu diperhatikan yaitu :

1. Struktur rangka batang yang akan ditinjau adalah struktur rangka batang atap baja dengan model Howe, Pratt, Warren, Chambered Howe, Chambered Pratt, dan Chambered Warren dengan sudut kemiringan atap 15° dan 25° .
2. Struktur rangka batang merupakan struktur statis tertentu dengan analisa struktur menggunakan metode matrik kekakuan.
3. Perhitungan pembebanan menggunakan standar Pedoman Perencanaan Pembebanan untuk Rumah dan Gedung (PPPRG) 1987.
4. Beban yang bekerja pada titik buhul dan pada batang diasumsikan sebagai beban terpusat pada titik buhul.
5. Profil yang dicari hanya empat macam yang berbeda, yaitu pada eksterior struktur (batang atas dan batang bawah) dan pada interior struktur (batang diagonal dan batang vertikal).
6. Perencanaan elemen baja menggunakan standar AISC metode *Allowable Stress Design 1989 (ASD)*
7. Sambungan diasumsikan dengan menggunakan sambungan baut dengan standar AISC metode *Allowable Stress*

Design 1989 (ASD) dan dimensi serta berat plat buhul diabaikan.

8. Baja profil yang digunakan dalam perencanaan ini menggunakan profil *double angle* (2L) pada tabel *AISC 1989*.

1.6 Metodologi Penelitian

Metodologi penelitian digunakan untuk membantu atau memandu penelitian tentang urutan-urutan bagaimana penelitian dilakukan, sedangkan prosedur penelitian memberikan kepada peneliti urutan-urutan pekerjaan yang harus dilakukan dalam suatu penelitian (Moh. Nazir, 1983). Secara garis besar penelitian yang dilakukan adalah sebagai berikut :

1. Studi pustaka dari beberapa buku literatur.
2. Pembuatan program aplikasi komputer.
3. Validasi.
4. Melakukan perhitungan tiap model dengan variasi bentang dengan program aplikasi komputer.
5. Membuat tabel dari hasil perhitungan.
6. Optimasi berat dari beberapa model pada bentang yang sama dalam bentuk grafik dan tabel.

BAB II

TINJAUAN PUSTAKA

2.1 Umum

Perencanaan suatu struktur rangka batang atap baja dapat menggunakan dua alternatif, menggunakan struktur balok portal atau dengan struktur rangka batang. Pada struktur rangka batang atap terdapat berbagai model, dimana tiap-tiap model memiliki bentuk susunan batangnya, nilai arsitekturalnya, dan nilai ekonomisnya. Hal tersebut tergantung pada bentuk bangunannya, panjang bentang yang diberikan, jenis tumpuannya dan beban-beban yang diterima struktur.

Bila diberikan suatu panjang bentang tertentu kemudian harus menentukan model yang paling efisien, langkah yang utama adalah mencari nilai ekonomis dari tiap-tiap model tersebut. Mencari nilai ekonomis suatu struktur rangka batang atap baja ditekankan pada berat

totalnya. Dari beberapa model tersebut dicari struktur yang paling ringan. Disamping persyaratan kekuatan dan keamanan, struktur tersebut perlu kiranya memperhatikan persyaratan pabrikan, misalnya profil yang ditetapkan sebaiknya tidak terlalu banyak ragamnya karena akan banyak profil sisa yang terbuang percuma, bahkan pekerjaan di lapangan menjadi tidak efisien.

Dengan bantuan komputer melalui suatu *software* atau program aplikasi tertentu, proses analisa struktur pada suatu struktur rangka batang akan menjadi singkat dan hasilnya menjadi akurat.

Beberapa mahasiswa FTSP UII dalam menyelesaikan Tugas Akhirnya melakukan penelitian yang berkaitan dengan rangka batang dan pemrograman analisa struktur. Para peneliti tersebut adalah sebagai berikut :

1. Sri Subekti Pertiwi dan Ari Sukraningrum (1998), Mereka mengambil judul *Studi Komparasi terhadap Desain Struktur Rangka Atap Baja dengan Pemodelan sebagai Rangka Batang dan Portal*. Mereka mencoba membandingkan antara struktur rangka batang yang menggunakan sambungan baut (truss) dengan struktur rangka batang yang menggunakan sambungan las (portal). Mereka

berkesimpulan bahwa pemodelan truss menghasilkan gaya-gaya batang yang lebih besar dari pada pemodelan portal, namun belum tentu dimensi batang struktur truss lebih besar dari pada struktur portal. Ini terjadi karena struktur portal memiliki berat profil yang lebih besar dari pada struktur truss.

2. Sasanti Dwiyar dan Etika Ardhiyanti (1998),

Mereka mengambil judul *Alternatif Pemakaian Rangka Atap Baja pada Gedung Laboratorium FTI UII*. Mereka mencoba membandingkan struktur rangka batang atap baja pada gedung laboratorium FTI UII dengan berbagai model yang mereka tetapkan sekaligus sebagai alternatif pengganti. Mereka beranggapan struktur rangka batang atap baja yang berdiri di gedung tersebut terlalu boros digunakan karena bentuk serta profil yang terlalu besar digunakan. Iterasi pemilihan profil-profil tersebut dilakukan secara manual, sehingga memerlukan waktu yang banyak.

3. Ina Marlina Dae dan Tjondro Purnomo (1997),

Mereka mengambil judul *Pemrograman Analisa Struktur Metode Matrik dan Desain Struktur Beton*. Mereka

membuat suatu program aplikasi yang dapat menganalisa suatu struktur portal bertingkat banyak dengan menggunakan metode matrik kekakuan. Mereka menyatakan bahwa analisa suatu struktur bertingkat banyak membutuhkan cara yang singkat dibandingkan dengan cara-cara sebelumnya. Pada umumnya program-program aplikasi analisa struktur yang ada pada saat ini menggunakan metode matrik, sebab metode ini sederhana dan luwes bila digunakan terutama untuk menganalisa struktur-struktur yang rumit.

2.2 Pembahasan penelitian terdahulu

Dari hasil penelitian yang dilakukan para mahasiswa FTSP UII seperti di atas, ada beberapa masalah yang perlu ditinjau lebih lanjut sebagai studi penelitian, yaitu :

1. Struktur rangka batang dapat digunakan bentang-bentang yang besar, seperti pada struktur portal mengingat berat dari pada struktur rangka batang relatif lebih ringan dari pada struktur portal.
2. Dengan membandingkan beberapa model struktur rangka batang yang ada akan diperoleh model struktur rangka batang yang optimum (ringan).

3. Dibutuhkan suatu program aplikasi yang dapat secara cepat menganalisa suatu struktur rangka batang, kemudian dapat mencari profil-profil yang dibutuhkan tanpa meninggalkan syarat keamanan suatu struktur.

2.3 Kesimpulan

Dari pembahasan seperti di atas dapat ditarik kesimpulan sebagai berikut :

1. Untuk mencari model struktur rangka batang yang optimum perlu dilakukan komparasi dari berbagai model struktur rangka batang dengan panjang bentang dan beban-beban yang sama, sehingga diperoleh struktur yang paling ringan.
2. Diperlukan suatu cara yang singkat dalam iterasi pemilihan profil, misalnya menggunakan alat bantu komputer dengan *software* tertentu yang dibantu *database* yang berisi data-data profil yang diinginkan.

BAB III

LANDASAN TEORI

3.1 Umum

Struktur rangka batang merupakan sebuah struktur datar yang terdiri dari jumlah batang-batang yang disambung satu dengan yang lain pada ujung-ujungnya dengan alat sambung tertentu sehingga membentuk suatu rangka kokoh, gaya-gaya luar serta reaksi-reaksinya dianggap terletak di dalam bidang yang sama dan hanya bekerja pada titik-titik kumpul. Sumbu pusat dari setiap batang berimpit dengan garis yang menghubungkan pusat-pusat sambungan pada ujung-ujung batang. Setiap batang dalam sebuah struktur rangka batang memiliki dua gaya dan menjadi subyek gaya-gaya aksial langsung yaitu gaya tarik atau gaya tekan (Yuan-Y Hsieh, 1985).

Struktur rangka batang dianggap terdiri dari batang yang prismatik, dengan kata lain setiap batang memiliki sumbu yang lurus dan penampang lintang yang seragam di seluruh panjangnya.

Struktur rangka batang dapat diklasifikasikan sesuai dengan susunannya sebagai berikut :

1. Struktur rangka batang sederhana

Struktur ini merupakan struktur datar yang kokoh tersusun dari tiga batang terjepit pada ujung-ujungnya satu dengan lainnya dalam bentuk segi tiga. Setiap penambahan sambungan baru diikuti dengan penambahan dua batang baru. Untuk menghindari ketidakstabilan geometris sambungan yang baru tersebut tidak harus terletak pada garis lurus yang sama. Hal ini dapat diterangkan jika diketahui banyaknya batang = b , jumlah reaksi = r dan banyaknya titik kumpul = j , maka rangka batang akan stabil jika

$$b + r = 2j \quad (3.1)$$

Untuk mendapatkan struktur yang stabil, tumpuan-tumpuan struktur terdiri dari tiga reaksi, yaitu dua reaksi pada tumpuan sendi dan satu reaksi pada tumpuan rol. Maka struktur ini termasuk struktur statis tertentu.

2. Struktur rangka batang gabungan

Struktur ini merupakan gabungan dua atau lebih struktur rangka batang sederhana, dihubungkan satu dengan lainnya untuk membentuk suatu struktur rangka

batang kokoh. Persamaan 3.1 masih berlaku untuk jenis struktur ini.

3. Struktur rangka batang kompleks

Struktur ini merupakan struktur rangka batang yang tidak dapat diklasifikasikan sebagai konstruksi sederhana maupun gabungan.

3.2 Penggunaan Baja untuk struktur rangka batang atap

Struktur rangka batang yang digunakan pada saat ini biasanya menggunakan kayu atau baja sebagai bahan utama. Kadang baja struktur menjadi pilihan karena adanya pertimbangan kekuatan, berat jenisnya, lendutan, panjang batang, ketahanan terhadap cuaca, serta perawatannya.

Terkadang perencana mengalami kendala dalam memilih bentuk rangka batang (truss) atau bentuk portal (frame) yang akan digunakan, jika panjang bentang struktur telah ditentukan. Sebenarnya yang menjadikan pertimbangan utama dalam pemilihan bentuk struktur tersebut adalah nilai ekonomisnya, walaupun masih ada pertimbangan lain misalnya arsitekturalnya, jenis tumpuannya dan panjang bentang strukturnya.

Sesuatu hal yang tidak mudah untuk menentukan pada bentang berapa struktur rangka batang akan efektif digunakan. Pada panjang bentang struktur yang sama bentuk rangka batang memiliki biaya pabrikan dan pemasangan yang lebih tinggi, namun biaya materialnya representatif lebih ringan (Jack C. McCormac, 1981). Pemilihan baja sebagai struktur rangka batang atas karena memiliki beberapa keuntungan. Keuntungan yang diperoleh dari baja sebagai bahan struktur adalah :

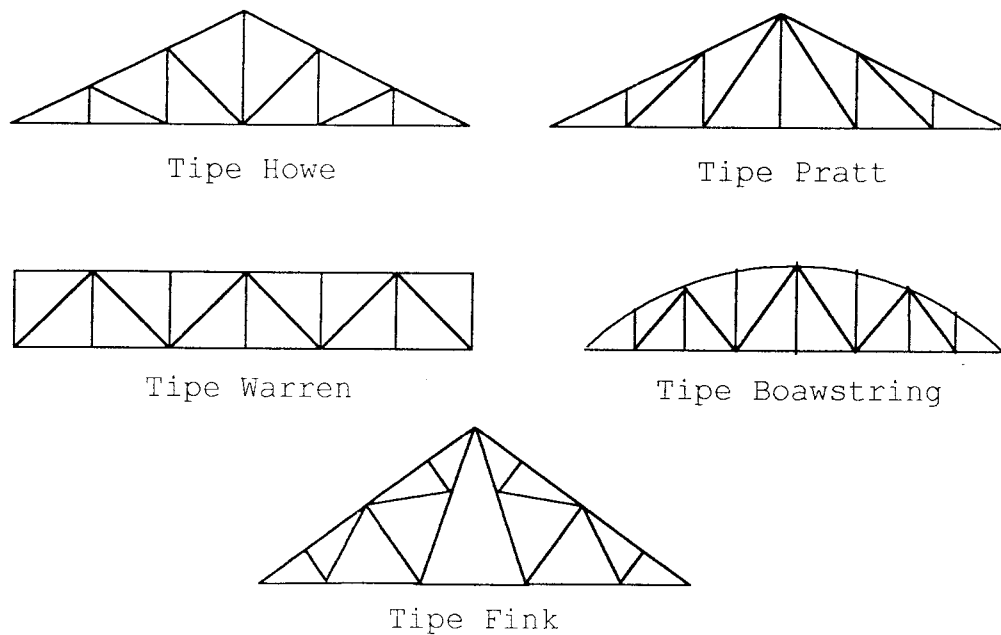
1. Baja memiliki kekuatan cukup tinggi serta merata. Kekuatan yang tinggi mengakibatkan struktur yang terbuat dari baja mempunyai tampang relatif kecil dan cukup ringan meskipun memiliki berat jenis yang besar.
2. Mudah dalam pengangkutan ke lokasi proyek.
3. Struktur baja bisa tahan lama dibandingkan dengan jenis struktur lain

Walupun demikian baja memiliki kelemahan-kelemahan, diantaranya :

1. Biaya perawatan yang tidak sedikit,
2. Mudah terjadi bahaya tekuk (buckling),
3. Tidak tahan pada suhu yang tinggi,
4. Mudah terjadi korosi.

Macam-macam bentuk dari struktur rangka batang atap

Terdapat berbagai macam bentuk struktur rangka batang atap baja, diantaranya seperti pada Gambar 3.1.



Gambar 3.1 Macam-macam model struktur rangka batang atap

3.3 Struktur Baja

Baja struktur adalah jenis baja yang sering digunakan untuk berbagai jenis struktur seperti kolom dan balok pada gedung bertingkat banyak, sistem penyangga atap, hanggar, jembatan, menara antena, dan sebagainya (Salmon, C.G, 1989)

Sifat mekanis baja dapat diketahui dengan melakukan uji tarik baja. Uji tarik baja ini melibatkan

pembebanan tarik sampel baja. Bersamaan dengan itu dilakukan pengukuran beban dan perpanjangannya, sehingga akan diperoleh tegangan dan regangan baja yang dihitung dengan rumus :

$$f_t = \frac{P}{A} \quad (3.2)$$

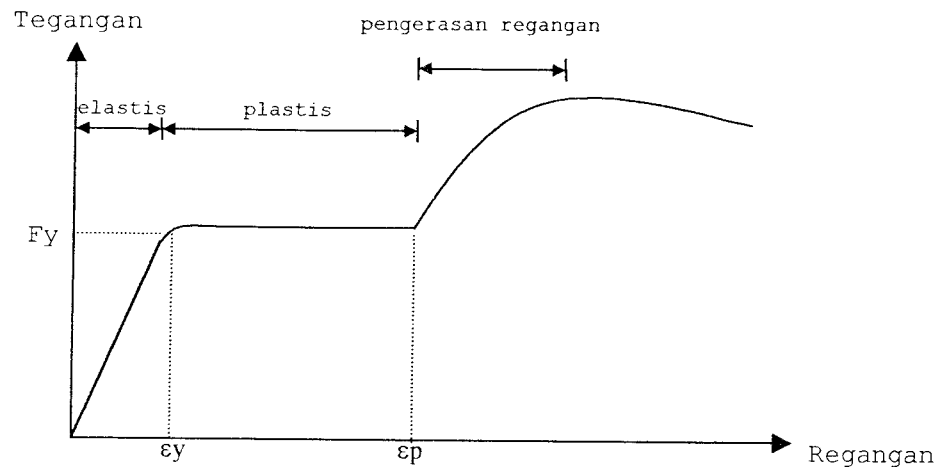
$$\varepsilon = \frac{\Delta L_o}{L_o} \quad (3.3)$$

Notasi : f_t = Tegangan tarik (Ksi)
 P = Beban tarik (Kips)
 A = Luas tampang benda uji (inchi²)
 ε = Regangan
 ΔL_o = perubahan panjang (inchi)
 L_o = Panjang mula-mula (inchi)

Sampel dibebani sampai hancur. Hasil benda uji ini ditunjukkan dalam diagram tegangan-regangan. Gambar diagram tegangan-regangan baja struktur yang sering digunakan ditunjukkan pada Gambar 3.2.

Sifat-sifat baja bergantung sekali kepada kadar carbon. Semakin besar carbon, maka tegangan patah akan semakin naik dan regangan patah semakin turun. Kandungan unsur-unsur lain yang ada dalam baja pun

sangat mempengaruhi sifat baja meskipun kandungan unsur-unsur tersebut sangat sedikit. Misalnya unsur Mangan (Mn), Silikon(Si), Fosfor(P), dan Sulfur(S).



Gambar 3.2 Diagram tegangan-regangan baja struktur

Selain tegangan dan regangan, untuk dapat menentukan karakteristik baja ada besaran lain yang mempengaruhi yaitu modulus elastisitas (E) dan daktilitas. Besarnya modulus elastisitas ini berupa konstanta proposional antara tegangan dan regangan di dalam selang elastis. Hal itu ditunjukkan pada persamaan 3.4.

$$E = \frac{f_t}{\epsilon} \quad (3.4)$$

Daktalitas merupakan kemampuan baja untuk mengalami deformasi besar sebelum gagal. Oleh karena itu struktur rangka batang baja masih dapat berdiri setelah sebagian dari rangka batang tersebut telah mengalami tegangan jauh di atas tegangan ijin desain. Deformasi suatu struktur akan mentransfer beban ke bagian lain yang memikul beban lebih rendah sehingga akan mencegah struktur dari keruntuhan meskipun semua atau sebagian struktur telah mengalami deformasi berlebihan. Daktalitas merupakan sifat baja yang sangat berguna terutama untuk pembebanan yang sifatnya tak statis seperti beban angin.

3.3.1 Batang Tarik Aksial

Batang tarik aksial merupakan batang lurus yang mengalami tarikan akibat bekerjanya gaya aksial tarik. Batang tarik aksial biasanya terdapat pada struktur rangka batang, jembatan, menara transmisi, dan sistem pengaku terhadap angin pada gedung bertingkat banyak. Batang tarik terdiri dari dua tipe yaitu batang tarik pada kondisi tanpa lubang dan batang tarik dengan lubang.

Batang tarik dengan lubang, seperti akibat lubang paku keling, baut atau batang berulir, luas penampang yang digunakan dalam perhitungan adalah luasan netto atau luasan efektif.

Luas penampang netto adalah luasan tampang yang efektif yang menahan beban, yaitu luas tampang bruto dikurangi luas lubang. Namun luas penampang netto tidak boleh melebihi 85% luas penampang brutto (AISC-ASD,1989).

Pada batang tarik berpenampang siku yang memiliki sambungan pada salah satu kakinya, tegangan yang terdistribusikan pada ujung batang tidak seragam. Untuk memperhitungkan ketidakseragaman tegangan, AISC-ASD memberikan aturan untuk menggunakan luasan efektif (A_e). Koefisien reduksi (U) diambil 0,85 sesuai AISC-ASD-B3.

Pada prinsipnya tegangan tarik yang terjadi pada suatu elemen baja harus lebih kecil dari tegangan yang diijinkan. Tegangan yang diijinkan untuk batang tarik ditunjukkan dengan persamaan 3.5 dan 3.6.

$$F_t = 0,6 \cdot F_y \cdot A_g \quad (3.5)$$

$$F_t = 0,5 \cdot F_u \cdot A_e \quad (3.6)$$

Hasil perhitungan dari persamaan 3.5 dan 3.6 diambil nilai terkecil.

Notasi : F_t = Kekuatan tarik yang diijinkan

F_y = Tegangan leleh baja

F_u = Kekuatan ultimit tarik baja struktur

A_g = Luas penampang bruto

A_e = Luas penampang efektif

$A_e = U \cdot A_n$

U = Koefisien reduksi luasan

A_n = Luas penampang netto

$A_n = A_g - A_{\text{lubang}}$

A_{lubang} = Diameter lubang total x tebal profil

Batang tarik yang terlalu panjang bisa melendut secara berlebihan akibat berat sendiri, untuk mencegah hal tersebut panjang batang perlu dibatasi. Kriteria penentuan panjang batang ini didasarkan pada angka kelangsingan batang, KL/r dengan L adalah panjang batang dan r adalah jari-jari girasi. Menurut AISC - 1.8.4 besar angka kelangsingan yang berlaku untuk batang tarik adalah $KL/r \leq 300$.

3.3.2 Batang Tekan Aksial

Batang aksial tekan merupakan batang-batang lurus yang mengalami tekanan akibat kerja gaya-gaya aksial. Salah satu faktor yang berpengaruh terhadap kuat tekan

batang adalah kelangsingannya. Kelangsingan batang merupakan rasio antara panjang tekuk (KL) dengan jari-jari kelembaman atau girasi (r). Kuat tekan suatu batang akan menurun seiring dengan makin besarnya nilai kelangsingan batang tersebut. Menurut AISC-1.8.4 angka kelangsingan untuk batang yang mengalami tekanan aksial, besarnya tidak melebihi dari 200.

$$KL/r \leq 200 \quad (3.7)$$

Pada prinsipnya tegangan desak yang terjadi pada suatu elemen baja harus lebih kecil dari tegangan yang diijinkan. Kelangsingan batang juga berpengaruh pada kondisi tekuk suatu batang. Menurut AISC-ASD, C_c adalah kelangsingan (KL/r) yang membatasi antara batang yang mengalami kondisi tekuk in-elastik (batang pendek) dengan batang yang mengalami kondisi tekuk elastis (batang panjang).

$$C_c = \sqrt{\frac{2\pi^2 \cdot E}{F_y}} \quad (3.8)$$

Tegangan yang diijinkan untuk batang desak menurut spesifikasi AISC-ASD untuk berbagai kondisi tekuk ditunjukkan dengan rumus dibawah ini :

a. Kondisi tekuk elastis ($KL/r > C_c$)

Bila batang mengalami kondisi tekuk elastis maka tegangan desak yang diijinkan seperti pada persamaan 3.9.

$$F_a = \frac{\pi^2 \cdot E}{FS \cdot (KL/r)^2} \quad (3.9)$$

Menurut AISC-ASD faktor keamanan (FS) untuk kondisi tekuk elastik seperti pada persamaan 3.10.

$$FS = \frac{23}{12} \quad (3.10)$$

b. Kondisi tekuk in-elastik ($KL/r < C_c$)

Bila batang mengalami kondisi tekuk in-elastik maka tegangan desak yang diijinkan seperti pada persamaan 3.11.

$$F_a = \frac{F_y}{FS} \left[1 - \frac{(KL/r)^2}{2 \cdot C_c^2} \right] \quad (3.11)$$

Menurut AISC-ASD faktor keamanan (FS) untuk kondisi tekuk in-elastik seperti pada persamaan 3.12.

$$FS = \frac{5}{3} + \frac{3 KL/r}{8 C_c} - \frac{(KL/r)^3}{8 C_c^3} \quad (3.12)$$

Notasi : F_a = Tegangan desak yang diijinkan
 F_y = Tegangan leleh baja
 E = Modulus elastis baja
 KL = Panjang tekuk batang
 r = Jari-jari kelembaman
 C_c = Kelangsingan batas antara tekuk
elastis dengan tekuk inelastik
 FS = Faktor keamanan

3.4 Pembebanan

Pada umumnya beban-beban yang bekerja pada struktur rangka batang atap menurut PPPRG 1987 adalah :

1. Beban mati, ialah berat dari semua bagian dari suatu gedung yang bersifat tetap, termasuk segala unsur tambahan, penyelesaian-penyelesaian, mesin-mesin serta peralatan tetap yang merupakan bagian yang tak terpisahkan dari gedung.
2. Beban hidup, ialah semua beban yang terjadi akibat penghunian atau penggunaan suatu gedung, berupa barang-barang yang dapat dipindahkan, sehingga mengakibatkan perubahan dalam pembebanan tersebut. Khusus pada atap yang termasuk beban hidup adalah

beban pekerja dan beban air hujan. PPI 1983 memberikan ketentuan :

Beban pekerja minimum diambil sebesar 100 kg

Beban air hujan = $40 - 0,8 \cdot \alpha$

α = kemiringan atap

3. Beban Angin, ialah semua beban yang bekerja pada gedung yang disebabkan oleh selisih dalam tekanan udara. Untuk menghitung beban angin PPPRG 1987 memberikan ketentuan :

Beban angin = Tekanan angin x C x jarak gording

C = koefisien angin

= $(0,02 \times \text{tekanan angin} - 0,4)$

Kemudian dari beban-beban tersebut di atas dikelompokkan menjadi beban tetap dan beban sementara. Beban tetap merupakan kombinasi antara beban mati dengan beban hidup, sedangkan beban sementara merupakan kombinasi antara beban tetap dengan beban angin.

3.5 Analisa struktur rangka batang

Salah satu hal terpenting dalam merencanakan suatu struktur adalah analisa struktur. Dari analisa struktur ini kita akan mendapatkan :

1. Gaya-gaya dalam yang timbul pada elemen-elemen struktur sebagai akibat bekerjanya gaya-gaya luar pada struktur,
2. Tegangan yang terjadi pada penampang-penampang elemen sebagai akibat timbulnya gaya dalam pada elemen bersangkutan, dan diharapkan agar tegangan yang terjadi tidak melebihi tegangan yang diijinkan,
3. Defleksi atau lendutan yang terjadi, baik pada tiap titik buhul maupun pada elemen-elemen yang bersangkutan pada suatu struktur.

Banyak metode yang dapat digunakan untuk menganalisa suatu struktur rangka batang, diantaranya adalah metode Keseimbangan titik buhul, metode Potongan, metode Grafis, metode Matrik Kekakuan, dan sebagainya.

Pada umumnya program-program aplikasi analisa struktur yang ada pada saat ini menggunakan metode Matrik Kekakuan, sebab metode ini sederhana dan luwes bila digunakan terutama untuk menganalisa struktur-struktur yang rumit. Metode Matrik Kekakuan merupakan suatu pemikiran baru pada analisa struktur, yang berkembang bersamaan makin populernya penggunaan komputer otomatis untuk operasi-operasi perhitungan aritmatika. Dalam menganalisa suatu struktur sederhana

dapat dengan mudah diselesaikan. Pada suatu rangka batang statis tertentu gaya-gaya batang akan diperoleh dengan menggunakan beberapa persamaan kesetimbangan. Hal utama dalam analisa struktur untuk menentukan deformasi maupun tegangan yang terjadi pada struktur, adalah sejauh mana diketahui sifat karakteristik hubungan antara gaya dan deformasi dari elemen struktur, sehingga semua syarat kesetimbangan terpenuhi (Supartomo, F.X, 1984).

3.5.1 Metode Matrik Kekakuan

Setiap struktur yang rumit, misalnya struktur rangka batang dan kerangka kaku, dapat dipotong-potong menjadi komponen-komponen yang lebih sederhana. Suatu rangka batang dipandang sebagai struktur yang terdiri dari batang-batang dengan dua gaya yang disambung dengan pen pada ujung-ujungnya (Yuan-Yu Hsieh, 1982).

Metode matrik kekakuan adalah suatu cara untuk analisa struktur, dimana dalam proses analisanya dianggap perubahan kedudukan titik-titik buhul sebagai besaran yang tidak diketahui (Supartono, F.X, 1984).

Konsep dasar metode kekakuan dalam suatu struktur adalah harus terpenuhinya syarat-syarat :

1. Keseimbangan antara gaya-gaya dalam dengan beban-beban luar yang bekerja,
2. Kompatibilitas, yaitu mencari deformasi yang terjadi pada ujung batang akibat perubahan kedudukan titik buhul.
3. Hubungan antara gaya-gaya ujung batang dengan deformasi-deformasi serta hubungan antara gaya-gaya titik buhul dengan perubahan kedudukan titik buhul.

Kemudian konsep dasar tersebut dibuat menjadi prosedur umum untuk merakit matrik kekakuan struktur keseluruhan dari masing-masing matrik kekakuan batang. Untuk mempermudah perakitan matrik prosedur umum yang dilakukan untuk menganalisa struktur rangka batang adalah :

1. Identifikasi titik buhul dan batang

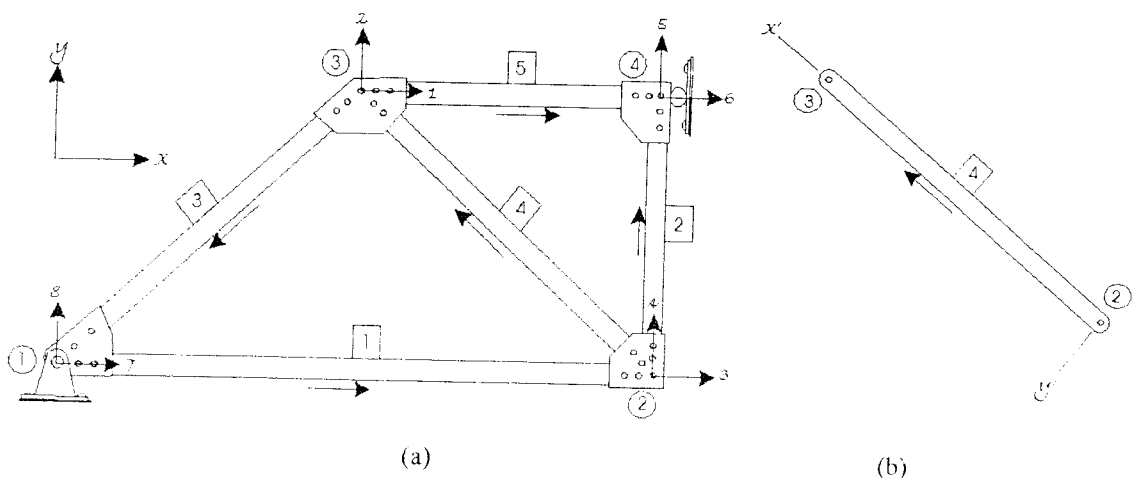
Langkah awal penggunaan metode kekakuan adalah mengidentifikasi tiap elemen atau batang dan tiap titik buhul dengan memberikan penandaan tertentu. Seperti Gambar 3.3(a) dimana batang diberi nomor di dalam bujur sangkar dan titik kumpul diberi nomor di dalam lingkaran.

2. Menentukan koordinat batang (lokal) dan koordinat struktur (global)

Dua tipe yang berbeda dalam pemakaian sistem koordinat. Sistem koordinat global struktur, dipakai sumbu x dan y seperti pada Gambar 3.3(a). Sistem koordinat lokal atau sistem koordinat batang, dipakai sumbu x' dan y' seperti yang ditunjukkan pada Gambar 3.3(b).

3. Menentukan derajat kebebasan (Degree of freedom)

Derajat kebebasan suatu struktur terdiri dari dua jenis, yaitu jenis tidak terkekang (*unconstrained degrees of freedom*) dimana derajat kebebasannya 1 dan jenis terkekang (*constrained degrees of freedom*) dimana derajat kebebasannya 0. Misalnya jika titik buhul dari suatu struktur dapat bergerak atau tidak terkekang maka derajat kebebasannya 1 dan sebaliknya jika titik buhul tidak dapat bergerak atau terkekang derajat kebebasannya 0.



Gambar 3.3 Contoh Struktur rangka batang

Dalam penyusunan ukuran atau ordo matrik kekakuan perlu diketahui berapa banyak derajat kebebasan yang terjadi pada suatu struktur. Oleh karena itu untuk memudahkan berapa banyak derajat kebebasan yang terjadi, maka diperlukan suatu penandaan pada titik buhul berupa tanda panah bernomor. Contoh seperti pada Gambar 3.3(a) dimana terdapat 8 derajat kebebasan, sehingga ordo matrik kekakuan struktur berukuran 8×8 .

Kondisi derajat kebebasan dari masing-masing titik buhul dapat dibagi menjadi dua kondisi. Kondisi titik buhul 1 dengan panah nomor 7, 8 dan titik buhul 4 dengan panah nomor 6 pada kondisi tidak bergerak atau derajat kebebasan terkekang (*constrains degrees of freedom*) dan pada titik buhul yang lain pada kondisi bebas atau tidak terkekang (*unconstrains degrees of freedom*).

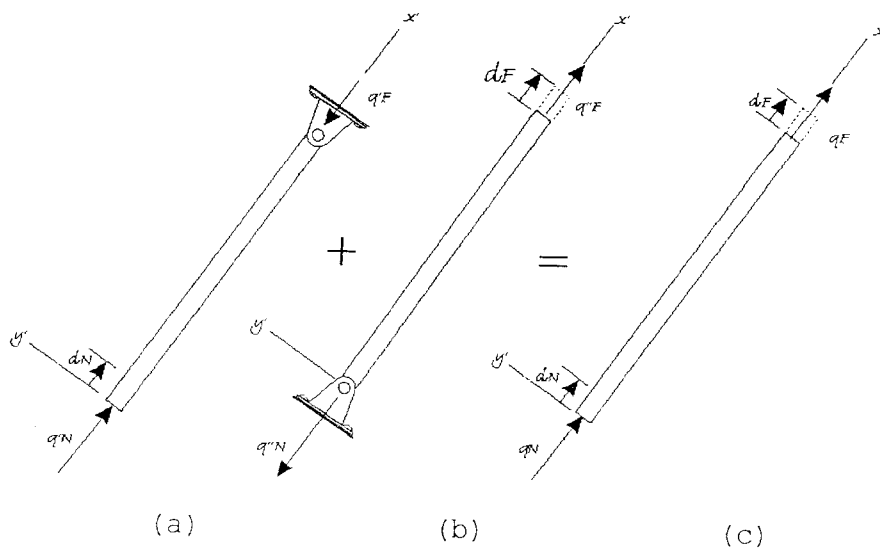
Kesetimbangan gaya-gaya

Jika suatu struktur rangka batang dibebani pada titik buhul maka struktur tersebut akan mengalami deformasi. Secara umum deformasi tersebut dapat berupa deformasi aksial. Deformasi aksial adalah perubahan

bentuk memanjang atau memendek dari suatu elemen akibat gaya aksial (Susastrawan, 1991).

Seperti pada Gambar 3.4(a) elemen mengalami deformasi aksial desak dan syarat kestimbangan dapat dirumuskan seperti pada persamaan 3.13.

$$q'_N = \frac{AE}{L} d_N \quad q'_F = -\frac{AE}{L} d_N \quad (3.13)$$



Gambar 3.4 Deformasi Batang

Dan pada Gambar 3.4(b) elemen mengalami deformasi aksial tarik dan syarat keseimbangan dapat dirumuskan seperti pada persamaan 3.14.

$$q''_N = -\frac{AE}{L} d_F \quad q''_F = \frac{AE}{L} d_F \quad (3.14)$$

Superposisi seperti pada Gambar 3.4(c) dapat dirumuskan dengan menggabungkan persamaan 3.13 dan 3.14 menjadi:

$$q_N = \frac{AE}{L}d_N - \frac{AE}{L}d_F \quad (3.15)$$

$$q_F = \frac{AE}{L}d_F - \frac{AE}{L}d_N$$

atau dapat juga ditulis dalam bentuk matrik

$$\begin{bmatrix} q_N \\ q_F \end{bmatrix} = \frac{AE}{L} \begin{bmatrix} 1 & -1 \\ -1 & 1 \end{bmatrix} \begin{bmatrix} d_N \\ d_F \end{bmatrix}$$

atau

$$\boxed{q = k' \times d} \quad (3.16)$$

dengan

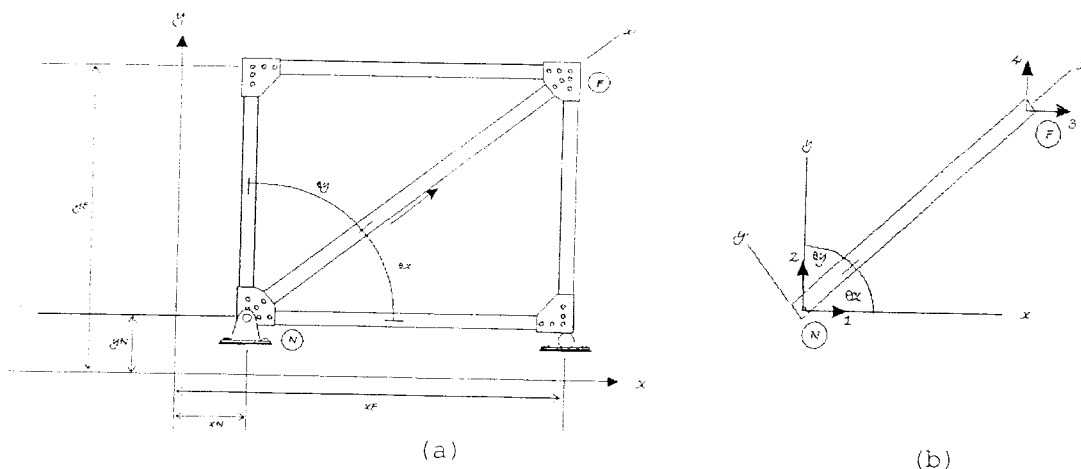
$$[k'] = \frac{AE}{L} \begin{bmatrix} 1 & -1 \\ -1 & 1 \end{bmatrix} \quad (3.17)$$

Matrik k' adalah matrik kekakuan elemen pada koordinat lokal (Hibbeler, R.C, 1995).

Matrik Transformasi Defleksi

Penentuan matrik kekakuan batang yang lengkap untuk batang tipikal rangka batang merupakan permulaan analisa rangka batang bidang. Gambar 3.5(a) memperlihatkan batang tipikal NF pada rangka batang

bidang. Titik kumpul di ujung batang ditunjukkan sebagai titik N dan F. Rangka batang dianggap terletak pada bidang x-y, dimana x dan y adalah sumbu referensi atau global untuk struktur. Translasi titik kumpul merupakan perpindahan yang belum diketahui dalam analisa, dan semua translasi oleh komponen dalam arah x-y dapat dinyatakan dengan meninjau arah positif keempat komponen perpindahan di kedua ujung batang tipikal NF (terhadap sumbu arah struktur) seperti ditunjukkan pada Gambar 3.5 (b). Kemiringan batang pada struktur rangka batang mudah dihitung dengan memakai kosinus arah (direction cosines) (Weawwer, 1989).



Gambar 3.5. Batang tipikal pada struktur rangka batang

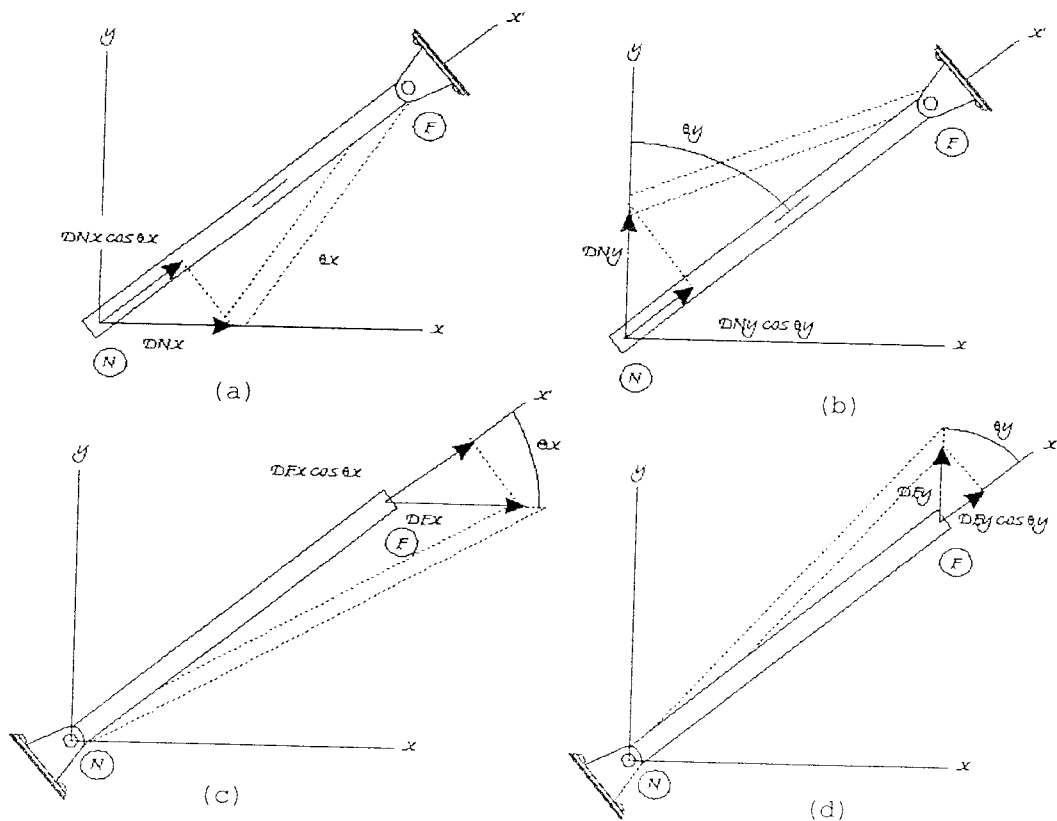
Kosinus arah untuk batang pada Gambar 3.5(b) adalah kosinus sudut θ_x dan θ_y antara sumbu batang dengan sumbu x dan y. sudut ini selalu ditentukan dari ujung batang. Jika L adalah panjang batang, koordinat

x dan y dari titik kumpul N dan F dengan notasi (x_F, y_F) dan (x_N, y_N) maka kosinus arah untuk batang dapat dinyatakan dalam persamaan 3.18 dan 3.19.

$$\lambda_x = \cos \theta_x = \frac{x_F - x_N}{L} = \frac{x_F - x_N}{\sqrt{(x_F - x_N)^2 + (y_F - y_N)^2}} \quad (3.18)$$

$$\lambda_y = \cos \theta_y = \frac{y_F - y_N}{L} = \frac{y_F - y_N}{\sqrt{(x_F - x_N)^2 + (y_F - y_N)^2}} \quad (3.19)$$

Setiap ujung batang bebas dalam koordinat global mempunyai dua derajat kebebasan atau defleksi bebas seperti pada Gambar 3.6(a) dan 3.6(b) titik buhul N mempunyai D_{Ny} dan D_{Nx} dan pada Gambar 3.6(c) dan



Gambar 3.6 Tranformasi Defleksi

3.6(d) titik buhul F mempunyai D_{Fy} dan D_{Fx} . Dua defleksi global tersebut dapat dirumuskan, seperti pada persamaan 3.20 dan 3.21.

$$d_N = D_{Nx} \cos \theta_x + D_{Ny} \cos \theta_y \quad (3.20)$$

$$d_F = D_{Fx} \cos \theta_x + D_{Fy} \cos \theta_y \quad (3.21)$$

jika $\lambda_x = \cos \theta_x$ dan $\lambda_y = \cos \theta_y$ maka persamaan 3.20 dan 3.21, menjadi

$$d_N = D_{Nx} \lambda_x + D_{Ny} \lambda_y \quad (3.22)$$

$$d_F = D_{Fx} \lambda_x + D_{Fy} \lambda_y \quad (3.23)$$

dan dapat disusun dalam bentuk matrik

$$\begin{bmatrix} d_N \\ d_F \end{bmatrix} = \begin{bmatrix} \lambda_x & \lambda_y & 0 & 0 \\ 0 & 0 & \lambda_x & \lambda_y \end{bmatrix} \begin{bmatrix} D_{Nx} \\ D_{Ny} \\ D_{Fx} \\ D_{Fy} \end{bmatrix}$$

atau

$$\boxed{d = TD} \quad (3.24)$$

dengan

$$T = \begin{bmatrix} \lambda_x & \lambda_y & 0 & 0 \\ 0 & 0 & \lambda_x & \lambda_y \end{bmatrix}$$

matrik transformasi defleksi "T" adalah transformasi empat koordinat global defleksi arah x-y atau "D" ke dalam dua koordinat lokal defleksi arah x' atau "d" (Hibbeler, R.C, 1995).

Matrik Transformasi Gaya

Seperti pada Gambar 3.7 (a) gaya q_N pada ujung N batang dapat dirumuskan

$$Q_{Nx} = q_N \cos \theta_x \quad Q_{Ny} = q_N \cos \theta_y \quad (3.25)$$

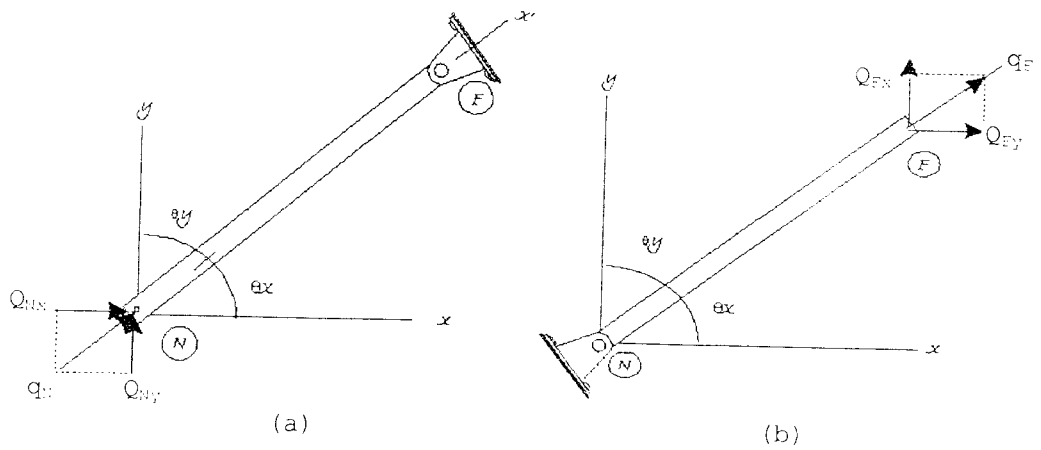
dan pada ujung F batang, Gambar 3.7 (b)

$$Q_{Fx} = q_F \cos \theta_x \quad Q_{Fy} = q_F \cos \theta_y \quad (3.26)$$

menggunakan kosines arah $\lambda_x = \cos \theta_x$ dan $\lambda_y = \cos \theta_y$, persamaan diatas menjadi

$$Q_{Nx} = q_N \lambda_x \quad Q_{Ny} = q_N \lambda_y$$

$$Q_{Fx} = q_F \lambda_x \quad Q_{Fy} = q_F \lambda_y$$



Gambar 3.7 Transformasi Gaya

dan dapat disusun dalam bentuk matrik

$$\begin{bmatrix} Q_{Nx} \\ Q_{Ny} \\ Q_{Fx} \\ Q_{Fy} \end{bmatrix} = \begin{bmatrix} \lambda_x & 0 \\ \lambda_y & 0 \\ 0 & \lambda_x \\ 0 & \lambda_y \end{bmatrix} \times \begin{bmatrix} q_N \\ q_F \end{bmatrix}$$

atau

$$\boxed{Q = T^T q} \quad (3.27)$$

dengan

$$T^T = \begin{bmatrix} \lambda_x & 0 \\ \lambda_y & 0 \\ 0 & \lambda_x \\ 0 & \lambda_y \end{bmatrix}$$

matrik transformasi gaya " T^T " adalah transformasi dari dua koordinat lokal x' akibat gaya aksi " q " ujung batang ke dalam empat komponen koordinat global (x,y) gaya " Q " (Hibbeler, R.C, 1995).

Matrik Kekakuan Global

Kombinasi dari matrik kekakuan tiap batang dari struktur seperti persamaan 3.24 disubstitusikan ke dalam persamaan 3.16, persamaan menjadi

$$\boxed{q = k' TD} \quad (3.28)$$

Persamaan 3.28 disubstitusikan ke dalam persamaan 3.27, menjadi

$$\boxed{Q = T^T k' TD} \quad (3.29)$$

atau

$$\boxed{Q = kD} \quad (3.30)$$

dengan

$$\boxed{k = T^T k' T} \quad (3.31)$$

“k” adalah matrik kekakuan batang pada koordinat global

$$k = \begin{bmatrix} \lambda_x & 0 \\ \lambda_y & 0 \\ 0 & \lambda_x \\ 0 & \lambda_y \end{bmatrix} \frac{AE}{L} \begin{bmatrix} 1 & -1 \\ -1 & 1 \end{bmatrix} \begin{bmatrix} \lambda_x & \lambda_y & 0 & 0 \\ 0 & 0 & \lambda_x & \lambda_y \end{bmatrix}$$

penyederhanaan operasi matrik “k”

$$\boxed{k = \frac{AE}{L} \begin{bmatrix} N_x & N_y & F_x & F_y \\ \lambda_x^2 & \lambda_x \lambda_y & -\lambda_x^2 & -\lambda_x \lambda_y \\ \lambda_x \lambda_y & \lambda_y^2 & -\lambda_x \lambda_y & -\lambda_y^2 \\ -\lambda_x^2 & -\lambda_x \lambda_y & \lambda_x^2 & \lambda_x \lambda_y \\ -\lambda_x \lambda_y & -\lambda_y^2 & \lambda_x \lambda_y & \lambda_y^2 \end{bmatrix} \begin{bmatrix} N_x \\ N_y \\ F_x \\ F_y \end{bmatrix}} \quad (3.32)$$

3.5.2 Aplikasi Metode Kekakuan pada Struktur Rangka Batang

Penjelasan tentang matrik kekakuan yang dijelaskan diatas dapat digunakan untuk mencari defleksi titik buhul, reaksi akibat gaya luar dan gaya yang terjadi pada batang dengan menyusun persamaan berdasarkan kondisi pada titik buhul, seperti pada persamaan 3.33.

$$\begin{bmatrix} Q_k \\ Q_u \end{bmatrix} = \begin{bmatrix} K_{11} & K_{12} \\ K_{21} & K_{22} \end{bmatrix} \begin{bmatrix} D_u \\ D_k \end{bmatrix} \quad (3.33)$$

Dengan,

Q_k , D_k adalah Beban luar dan defleksi yang diketahui, misal titik buhul dikenai beban luar atau titik buhul dikekang (constrains), maka defleksi dapat dianggap $D_k = 0$ atau tidak bergerak

Q_u , D_u adalah Beban luar dan defeksi yang belum diketahui, kondisi titik buhul dapat bergerak bebas (unconstrains).

K adalah Matrik kekakuan struktur

Persamaan 3.33 dapat diditulis kembali

$$Q_k = K_{11}D_u + K_{12}D_k \quad (3.34)$$

$$Q_u = K_{21}D_u + K_{22}D_k \quad (3.35)$$

Misal $D_k = 0$ atau tumpuan tidak bergerak maka persamaan 3.34 menjadi

$$Q_k = K_{11}D_u \quad (3.36)$$

untuk mendapatkan semua defleksi pada titik buhul D_u pada persamaan 3.36 dirubah menjadi

$$D_u = [K_{11}]^{-1} Q_k \quad (3.37)$$

kemudian hasil dari persamaan 3.37 disubtitusikan kedalam persamaan 3.38 untuk mendapatkan gaya batang.

$$q = k' T D_u \quad (3.38)$$

kemudian hasil dari persamaan 3.37 disubstitusikan kedalam persamaan 3.35 untuk mendapatkan reaksi dukungan.

$$Q_u = K_{21}D_u \quad (3.39)$$

persamaan 3.38 dikembangkan menjadi persamaan matrik menjadi

$$\begin{bmatrix} q_N \\ q_F \end{bmatrix} = \frac{AE}{L} \begin{bmatrix} 1 & -1 \\ -1 & 1 \end{bmatrix} \begin{bmatrix} \lambda_x & \lambda_y & 0 & 0 \\ 0 & 0 & \lambda_x & \lambda_y \end{bmatrix} \begin{bmatrix} D_{Nx} \\ D_{Ny} \\ D_{Fx} \\ D_{Fy} \end{bmatrix} \quad (3.40)$$

BAB IV

VALIDASI PROGRAM KOMPUTER

4.1 Umum

Validasi adalah membandingkan antara hasil perhitungan program komputer yang sudah valid seperti SAP90 atau secara manual dengan hasil perhitungan program aplikasi komputer. Validasi ini dilakukan pada sebuah contoh struktur rangka batang seperti pada Gambar 4.1, kemudian hasil perhitungan akan dimasukkan ke dalam sebuah tabel, seperti pada Tabel 4.4. Salah satu kolom pada tabel tersebut akan ditampilkan prosentase yang berisi selisih antara hasil perhitungan secara manual dengan hasil perhitungan program aplikasi komputer, dimana hal ini menyatakan validnya suatu program aplikasi yang digunakan.

Pada umumnya pembuatan suatu program komputer di temui beberapa macam kesalahan yang mungkin terjadi,

1. Kesalahan Logika

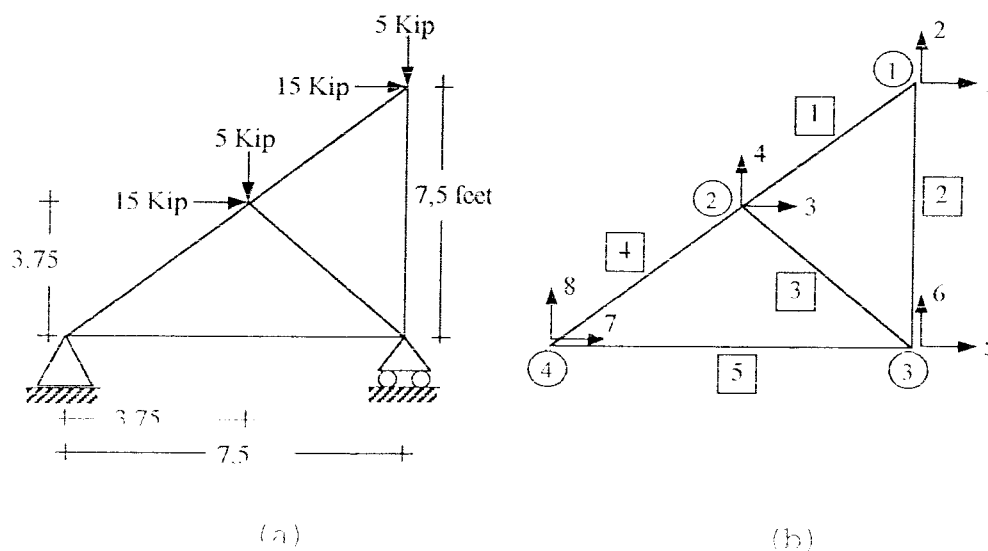
Kesalahan ini terjadi karena masih terdapat unsur kesalahan pada *flow chart* program atau pada logika hitungan program.

2. Kesalahan sewaktu kompilasi

Kesalahan ini terjadi pada manajemen program pada suatu program aplikasi, dimana main programnya tidak bisa melakukan hubungan baik dengan share programnya.

Pengecekan kesalahan logika dilakukan dengan membandingkan hasil perhitungan manual dengan hasil dari perhitungan menggunakan program aplikasi.

4.2 Data-Data Struktur



Gambar 4.1 Contoh Struktur rangka batang

Untuk memvalidasi program aplikasi komputer yang digunakan, diambil sebuah contoh struktur rangka batang sederhana seperti pada Gambar 4.1.

4.3 Analisa Struktur Rangka Batang

4.3.1 Secara Manual

Langkah-langkah penghitungan dengan cara manual adalah sebagai berikut :

Menetapkan awal penomoran derajat kebebasan pada titik buhul yang tidak terkekang atau *unconstrained degree of freedom*, selanjutnya penomoran derajat kebebasan pada titik buhul yang terkekang seperti pada Gambar 4.1 (b).

$$\begin{aligned} A_1 &= 1.43 \text{ in}^2 & A_2 &= 1.8 \text{ in}^2 & A_3 &= 1.43 \text{ in}^2 \\ A_4 &= 1.62 \text{ in}^2 & A_5 &= 0.96 \text{ in}^2 \\ E &= 29000 \text{ KSI} \end{aligned}$$

Tabel 4.1 Data-data tiap elemen

| Elemen | L (feet) | A x E/L | λ_x | λ_y | λ^2_x | λ^2_y | $\lambda_x \cdot \lambda_y$ |
|--------|----------|---------|-------------|-------------|---------------|---------------|-----------------------------|
| 1 | 5.3033 | 7819.66 | -0.7075 | -0.7075 | 0.50062 | 0.50062 | 0.50062 |
| 2 | 7.5 | 6960 | 0 | -1 | 0 | 1 | 0 |
| 3 | 5.3033 | 7819.66 | 0.70755 | -0.7075 | 0.50062 | 0.50062 | -0.5006 |
| 4 | 5.3033 | 8858.64 | -0.7075 | -0.7075 | 0.50062 | 0.50062 | 0.50062 |
| 5 | 7.5 | 3712 | -1 | 0 | 1 | 0 | 0 |

Tabel 4.2. Data berat profil tiap elemen

| EL | L (feet) | W (lb / ft) | WL / 2 (Kip) |
|----|----------|----------------|-----------------|
| 1 | 5.3033 | 4.88 | 0.01294 |
| 2 | 7.5 | 6.14 | 0.02303 |
| 3 | 5.3033 | 4.88 | 0.01294 |
| 4 | 5.3033 | 5.5 | 0.01458 |
| 5 | 7.5 | 0.96 | 0.0036 |

Elemen4

| | 1 | 2 | 3 | 4 | 5 | 6 | 7 | 8 |
|---|---|---|----------|----------|---|---|----------|----------|
| 1 | 0 | 0 | 0 | 0 | 0 | 0 | 0 | 0 |
| 2 | 0 | 0 | 0 | 0 | 0 | 0 | 0 | 0 |
| 3 | 0 | 0 | 4434.834 | 4434.834 | 0 | 0 | -4434.83 | -4434.83 |
| 4 | 0 | 0 | 4434.834 | 4434.834 | 0 | 0 | -4434.83 | -4434.83 |
| 5 | 0 | 0 | 0 | 0 | 0 | 0 | 0 | 0 |
| 6 | 0 | 0 | 0 | 0 | 0 | 0 | 0 | 0 |
| 7 | 0 | 0 | -4434.83 | -4434.83 | 0 | 0 | 4434.834 | 4434.834 |
| 8 | 0 | 0 | -4434.83 | -4434.83 | 0 | 0 | 4434.834 | 4434.834 |

Elemen 5

| | 1 | 2 | 3 | 4 | 5 | 6 | 7 | 8 |
|---|---|---|---|---|-------|---|-------|---|
| 1 | 0 | 0 | 0 | 0 | 0 | 0 | 0 | 0 |
| 2 | 0 | 0 | 0 | 0 | 0 | 0 | 0 | 0 |
| 3 | 0 | 0 | 0 | 0 | 0 | 0 | 0 | 0 |
| 4 | 0 | 0 | 0 | 0 | 0 | 0 | 0 | 0 |
| 5 | 0 | 0 | 0 | 0 | 3712 | 0 | -3712 | 0 |
| 6 | 0 | 0 | 0 | 0 | 0 | 0 | 0 | 0 |
| 7 | 0 | 0 | 0 | 0 | -3712 | 0 | 3712 | 0 |
| 8 | 0 | 0 | 0 | 0 | 0 | 0 | 0 | 0 |

hasil dari ke-5 matrik kekakuan elemen kemudian dirakit menjadi matrik kekakuan sistem struktur dengan cara menjumlahkan seluruh matrik kekakuan tiap elemen.

Matrik Kekakuan Sistem Struktur

| | 1 | 2 | 3 | 4 | 5 | 6 | 7 | 8 |
|---|----------|----------|----------|----------|----------|----------|----------|----------|
| 1 | 3914.699 | 3914.699 | -3914.7 | -3914.7 | 0 | 0 | 0 | 0 |
| 2 | 3914.699 | 10874.7 | -3914.7 | -3914.7 | 0 | -6960 | 0 | 0 |
| 3 | -3914.7 | -3914.7 | 12264.23 | 4434.834 | -3914.7 | 3914.699 | -4434.83 | -4434.83 |
| 4 | -3914.7 | -3914.7 | 4434.834 | 12264.23 | 3914.699 | -3914.7 | -4434.83 | -4434.83 |
| 5 | 0 | 0 | -3914.7 | 3914.699 | 7626.699 | -3914.7 | -3712 | 0 |
| 6 | 0 | -6960 | 3914.699 | -3914.7 | -3914.7 | 10874.7 | 0 | 0 |
| 7 | 0 | 0 | -4434.83 | -4434.83 | -3712 | 0 | 8146.834 | 4434.834 |
| 8 | 0 | 0 | -4434.83 | -4434.83 | 0 | 0 | 4434.834 | 4434.834 |

Untuk memudahkan hitungan dapat dilakukan dengan pemilahan matrik sistem struktur berdasarkan derajat

kebebasan yang terjadi pada titik buhul, seperti pada persamaan 3.33.

$$\begin{bmatrix} Q_k \\ Q_u \end{bmatrix} = \begin{bmatrix} K_{11} & K_{12} \\ K_{21} & K_{22} \end{bmatrix} \begin{bmatrix} D_u \\ D_k \end{bmatrix}$$

sehingga matrik kekakuan sistem struktur pada kondisi derajat kebebasan 1 atau tidak terkekang dapat ditulis

| | | | | | |
|---|----------|----------|----------|----------|----------|
| | 1 | 2 | 3 | 4 | 5 |
| 1 | 3914.699 | 3914.699 | -3914.7 | -3914.7 | 0 |
| 2 | 3914.699 | 10874.7 | -3914.7 | -3914.7 | 0 |
| 3 | -3914.7 | -3914.7 | 12264.23 | 4434.834 | -3914.7 |
| 4 | -3914.7 | -3914.7 | 4434.834 | 12264.23 | 3914.699 |
| 5 | 0 | 0 | -3914.7 | 3914.699 | 7626.699 |

Matrik kekakuan sistem struktur tersebut di-invers, kemudian dikalikan dengan vektor Q_k atau beban luar yang terjadi pada titik buhul seperti pada Tabel 4.3 yang tidak terkekang.

Tabel 4.3 Beban luar

| P-dof | P luar (Kip) | Wprofil (Kip) | P + Wprofil |
|-------|--------------|---------------|-------------|
| P1 | 15 | 0 | 15 |
| P2 | -5 | -0.03597 | -5.03597 |
| P3 | 15 | 0 | 15 |
| P4 | -5 | -0.04046 | -5.04046 |
| P5 | 0 | 0 | 0 |
| P6 | 0 | -0.03957 | -0.03957 |
| P7 | 0 | 0 | 0 |
| P8 | 0 | -0.01818 | -0.01818 |

$$Q_k = \begin{bmatrix} 15 \\ -5.03597 \\ 15 \\ -5.04046 \\ 0 \end{bmatrix}$$

Dari hasil perkalian tersebut diperoleh matrik defleksi tiap titik buhul D_u .

$$\begin{array}{c}
 \begin{array}{ccccc}
 & 1 & 2 & 3 & 4 & 5 \\
 \begin{array}{c} 1 \\ 2 \\ 3 \\ 4 \\ 5 \end{array} & \left| \begin{array}{ccccc}
 0.000625 & -0.00014 & 0.000113 & 0.000113 & 2.84E-20 \\
 -0.00014 & 0.000144 & 0 & 0 & 0 \\
 0.000113 & 0 & 0.000188 & -7.5E-05 & 0.000135 \\
 0.000113 & 0 & -7.5E-05 & 0.000188 & -0.00013 \\
 -1.5E-20 & 0 & 0.000135 & -0.00013 & 0.000269
 \end{array} \right. x & \left| \begin{array}{c} 15 \\ -5.0359 \\ 15 \\ -5.0404 \\ 0 \end{array} \right. = & \left| \begin{array}{c} 0.01121 \\ -0.0028 \\ 0.00488 \\ -0.0003 \\ 0.00269 \end{array} \right.
 \end{array}
 \end{array}$$

$$K^{-1}x Q_k = D_u$$

Kondisi derajat kebebasan pada titik buhul 4 panah nomor 7 dan 8, dan titik buhul 3 dengan panah nomer 6 tidak bergerak atau derajat kebebasan 0 terkekang. Seperti pada Vektor D_k dimana vektor defleksi pada titik buhul yang diketahui

$$D_k = \begin{bmatrix} 0 \\ 0 \\ 0 \end{bmatrix} \begin{matrix} 6 \\ 7 \\ 8 \end{matrix}$$

berdasarkan persamaan 3.39 $Q_k = K_{ij}D_k$ untuk mencari reaksi tumpuan terjadi, seperti pada matrik kekakuan sistem struktur, maka

$$\begin{array}{c}
 \begin{array}{ccccc}
 & 1 & 2 & 3 & 4 & 5 \\
 \begin{array}{c} 6 \\ 7 \\ 8 \end{array} & \left| \begin{array}{ccccc}
 0 & -6960 & 3914.699 & -3914.7 & -3914.7 \\
 0 & 0 & -4434.83 & -4434.83 & -3712 \\
 0 & 0 & -4434.83 & -4434.83 & 0
 \end{array} \right.
 \end{array}
 \end{array}$$

matrik kekakuan sistem struktur " K_{ij} " dikalikan dengan defleksi yang terjadi pada tiap titik buhul

Hitungan reaksi tumpuan

$$\begin{array}{c}
 6 \\
 7 \\
 8
 \end{array}
 \left| \begin{array}{ccccc}
 1 & 2 & 3 & 4 & 5 \\
 0 & -6960 & 3914.699 & -3914.7 & -3914.7 \\
 0 & 0 & -4434.83 & -4434.83 & -3712 \\
 0 & 0 & -4434.83 & -4434.83 & 0
 \end{array} \right|
 \times \left| \begin{array}{c}
 0.01122 \\
 -0.00288 \\
 0.00488 \\
 -0.00038 \\
 0.00270
 \end{array} \right|
 = \left| \begin{array}{c}
 30.1 \\
 -30 \\
 -19.979
 \end{array} \right|$$

Hasil reaksi tumpuan tersebut adalah :

$$Q_1 = 30,1 \text{ kips, } Q_2 = -30 \text{ kips dan } Q_3 = 19,979 \text{ kips}$$

Gaya-gaya pada pada tiap elemen

Dengan menggunakan persamaan 3.40 gaya-gaya yang terjadi pada tiap elemen adalah sebagai berikut ini

Elemen 1

$$q1 = \left| \begin{array}{cccc}
 1 & 2 & 3 & 4 \\
 5532.7765 & 5532.776 & -5532.77 & -5532.776
 \end{array} \right|
 \times \left| \begin{array}{c}
 0.011216 \\
 -0.00287 \\
 0.004882 \\
 -0.00037
 \end{array} \right|
 \begin{array}{c}
 1 \\
 2 \\
 3 \\
 4
 \end{array}
 = \begin{array}{c}
 21.2 \\
 \\
 \\
 \\
 \end{array}$$

Elemen 2

$$q2 = \left| \begin{array}{cccc}
 1 & 2 & 5 & 6 \\
 0 & 6960 & 0 & -6960
 \end{array} \right|
 \times \left| \begin{array}{c}
 0.011216 \\
 -0.00287 \\
 0.002699 \\
 0
 \end{array} \right|
 \begin{array}{c}
 1 \\
 2 \\
 5 \\
 6
 \end{array}
 = \begin{array}{c}
 -20.036 \\
 \\
 \\
 \\
 \end{array}$$

Elemen 3

$$q3 = \left| \begin{array}{cccc}
 3 & 4 & 5 & 6 \\
 -5532.776 & 5532.776 & 5532.776 & -5532.776
 \end{array} \right|
 \times \left| \begin{array}{c}
 0.004882 \\
 -0.00037 \\
 0.002699 \\
 0
 \end{array} \right|
 \begin{array}{c}
 3 \\
 4 \\
 5 \\
 6
 \end{array}
 = \begin{array}{c}
 -14.162 \\
 \\
 \\
 \\
 \end{array}$$

Elemen 4

$$q_4 = \begin{matrix} & 3 & 4 & 7 & 8 \\ \left| \begin{array}{cccc} 6267.9007 & 6267.900 & -6267.90 & -6267.901 \end{array} \right| \times \left| \begin{array}{c} 0.004882 \\ -0.00038 \\ 0 \\ 0 \end{array} \right| \begin{matrix} 3 \\ 4 \\ 7 \\ 8 \end{matrix} = 28.238$$

Elemen 5

$$q_5 = \begin{matrix} & 5 & 6 & 7 & 8 \\ \left| \begin{array}{cccc} 3712 & 0 & -3712 & 0 \end{array} \right| \times \left| \begin{array}{c} 0.002699 \\ 0 \\ 0 \\ 0 \end{array} \right| \begin{matrix} 5 \\ 6 \\ 7 \\ 8 \end{matrix} = 10.0202$$

Hasil perhitungan

Defleksi pada tiap titik buhul

Buhul 1 D1 0.011216 Feet
 D2 -0.002879 Feet
 Buhul 2 D3 0.004882 Feet
 D4 -0.000377 Feet < 9 / 360 = 0,025 Feet
 Buhul 4 D5 0.002699 Feet
 D6 0.0 Feet
 Buhul 3 D7 0.0 Feet
 D8 0.0 Feet

Gaya tiap elemen

Elemen 1 21.20001 Kips
 Elemen 2 -20.03597 Kips
 Elemen 3 -14.16193 Kips
 Elemen 4 28.23808 Kips
 Elemen 5 10.02023 Kips

Reaksi tumpuan

Q atau Ry 30.05620 Kips
 Q atau Rx -30.00000 Kips
 Q atau Ry -19.97977 Kips

4.3.2 Dengan menggunakan program SAP90

Masukan data struktur SAP90

Validasi

C This is file VALIDATION written by SAPIN on Wed Jan

C 26 09:50:14 2000

C Units are KIP FEET

SYSTEM

R=0 L=1 T=0.0001

JOINTS

| | | |
|---|--------|--------|
| 1 | X=7.5 | Y=7.5 |
| 2 | X=3.75 | Y=3.75 |
| 3 | X=7.5 | Y=0 |
| 4 | X=0 | Y=0 |

FRAME

| | | | | |
|------|--------|---------|---------|---------------------|
| NM=4 | | | | :Luas profil batang |
| 1 | A=0.96 | E=29000 | | :2L2X2X1/8 |
| 2 | A=1.62 | E=29000 | | :2L2X2.5X3/16 |
| 3 | A=1.8 | E=29000 | | :2L2X3X3/16 |
| 4 | A=1.43 | E=29000 | | :2L2X2X3/16 |
| 1 | 1 | 2 | M=4,4,1 | LP=0,0 |
| 2 | 1 | 3 | M=3,3,1 | LP=0,0 |
| 3 | 2 | 3 | M=4,4,1 | LP=0,0 |
| 4 | 2 | 4 | M=2,2,1 | LP=0,0 |
| 5 | 3 | 4 | M=1,1,1 | LP=0,0 |

RESTRAINTS

| | | | |
|---|---|---|---------------|
| 4 | 4 | 1 | R=1,1,1,1,1,0 |
| 3 | 3 | 1 | R=0,1,1,1,1,0 |

LOADS

| | | | |
|---|---|---|---------------------------|
| 1 | 1 | 1 | L=1 F=15,-5.03597,0,0,0,0 |
| 2 | 2 | 1 | L=1 F=15,-5.04046,0,0,0,0 |

Hasil keluran dari SAP90

File: Validasi.F3F

FRAME ELEMENT FORCES

| ELI LOAD ID COND | AXIAL FORCE | DIST ENDI | 1-2 PLANE SHEAR | 1-2 PLANE MOMENT | 1-3 PLANE SHEAR | 1-3 PLANE MOMENT | AXIAL TORQ |
|---------------------|----------------|--------------|--------------------|---------------------|--------------------|---------------------|---------------|
| ----- | | | | | | | |
| 1 | | | | | | | |
| 1 | 21.21 | | | | | | |
| | | .0 | .00 | .00 | | | |
| | | 5.3 | .00 | .00 | | | |
| ----- | | | | | | | |
| 2 | | | | | | | |
| 1 | -20.04 | | | | | | |
| | | .0 | .00 | .00 | | | |
| | | 7.5 | .00 | .00 | | | |
| ----- | | | | | | | |
| 3 | | | | | | | |
| 1 | -14.17 | | | | | | |
| | | .0 | .00 | .00 | | | |
| | | 5.3 | .00 | .00 | | | |
| ----- | | | | | | | |
| 4 | | | | | | | |
| 1 | 28.26 | | | | | | |
| | | .0 | .00 | .00 | | | |
| | | 5.3 | .00 | .00 | | | |
| ----- | | | | | | | |
| 5 | | | | | | | |
| 1 | 10.02 | | | | | | |
| | | .0 | .00 | .00 | | | |
| | | 7.5 | .00 | .00 | | | |

File: Validasi.SOL

JOINT DISPLACEMENTS

LOAD CONDITION 1 - DISPLACEMENTS "U" AND ROTATIONS "R"

| JOINT | U(X) | U(Y) | U(Z) | R(X) | R(Y) | R(Z) |
|-------|-----------|-----------|-----------|-----------|-----------|------------|
| 1 | .011226 | -.002879 | .000000 | .000000 | .000000 | -.001162 |
| 2 | .004887 | -.000376 | .000000 | .000000 | .000000 | -.000665 |
| 3 | .002699 | .000000 | .000000 | .000000 | .000000 | -.000395 |
| 4 | .0000E+00 | .0000E+00 | .0000E+00 | .0000E+00 | .0000E+00 | -.4110E-03 |

REACTIONS AND APPLIED FORCES

LOAD CONDITION 1 - FORCES "F" AND MOMENTS "M"

| JOINT | F(X) | F(Y) | M(Z) |
|-------|-----------|-----------|------------|
| 1 | 15.0000 | -5.0360 | .0000 |
| 2 | 15.0000 | -5.0405 | .0000 |
| 3 | .0000 | 30.0562 | .0000 |
| 4 | -30.0000 | -19.9798 | .0000 |
| TOTAL | .0000E+00 | .3553E-14 | -.3292E-25 |

4.3.3 Dengan menggunakan program aplikasi

Masukan data struktur program aplikasi

TRIDIM2D

Validasi Panjang =7.5 Tinggi =7.5 Chember =0 segment =1

PROPERTIES

4 5 5 2 2 36 0.5

JOINTS

1 7.5 7.5
2 3.75 3.75
3 7.5 0.0
4 0.0 0.0

MATERIAL DATA

1 29000

Elemen

1 1 2 1
2 1 3 2
3 2 3 3
4 2 4 4
5 3 4 5

RESTRAINT

4 1 1
3 0 1

JOINT LOAD

1 15 -5
2 15 -5

Hasil keluaran program aplikasi

JOINT DISPLACEMENTS

| JOINT | X-DISP | Y-DISP |
|-------|----------|-----------|
| 1 | 1.12E-02 | -2.88E-03 |
| 2 | 4.89E-03 | -3.76E-04 |
| 3 | 2.70E-03 | 0.00E+00 |
| 4 | 0.00E+00 | 0.00E+00 |

MEMBER FORCE (TENSION POSITIVE)

| MEMBER | FORCE | LENGTH | KL/r |
|--------|-----------|--------|----------|
| 1 1 | 21.2132 | 5.30 | 103.1436 |
| 2 2 | -20.03596 | 7.50 | 93.1677 |
| 3 3 | -14.17075 | 5.30 | 103.1436 |
| 4 4 | 28.25566 | 5.30 | 80.25172 |
| 5 5 | 10.02023 | 7.50 | 143.77 |

REACTIONS

| JOINT | RX | RY |
|-------|----------|----------|
| 3 | 0.0000 | 30.1045 |
| 4 | -30.0000 | -19.9528 |

Number Material :1 2L 2x2x3/16
 Number Material :2 2L 2x3x3/16
 Number Material :3 2L 2x2x3/16
 Number Material :4 2L 2x2.5x3/16
 Number Material :5 2L 2x2x1/8

Total weight compression : 71.93011 lb
 Total weight Tension : 79.79826 lb
 Total weight for all : 151.7284 lb

Tabel 4.4 Validasi Hitungan Program Aplikasi Komputer

| Parameter | Manual | SAP90 | Program Aplikasi | Selisih % | | |
|---------------------------------|--------|----------|------------------|-----------|---------|---------|
| | | | | Manual | SAP90 | |
| Defleksi pada tiap buhul (feet) | D1 = | 0.01121 | .011226 | 0.0112 | 1.00E-3 | 0.0126 |
| | D2 = | -0.0028 | -.002879 | -0.00288 | 8.00E-3 | 1.00E-4 |
| | D3 = | 0.00488 | .004887 | 0.00489 | 1.00E-3 | 3.00E-4 |
| | D4 = | -0.0004 | -.000376 | -0.00038 | 1.20E-3 | 4.00E-4 |
| | D5 = | 0.00269 | .002699 | 0.0027 | 1.00E-3 | 3.30E-3 |
| | D6 = | 0 | 0 | 0 | 0 | 0 |
| | D7 = | 0 | 0 | 0 | 0 | 0 |
| | D8 = | 0 | 0 | 0 | 0 | 0 |
| Gaya-gaya batang (Kip) | 1 = | 21.2000 | 21.21 | 21.2132 | 1.32 | 0.32 |
| | 2 = | -20.0359 | -20.04 | -20.0359 | 0 | 0.41 |
| | 3 = | -14.1619 | -14.17 | -14.1708 | 0.89 | 0.08 |
| | 4 = | 28.2381 | 28.26 | 28.2557 | 0.0176 | 0.43 |
| | 5 = | 10.02023 | 10.02 | 10.02023 | 0 | 0.023 |
| Reaksi pada tumpuan (Kip) | Rx1 = | 0 | 0 | 0 | 0 | 0 |
| | Ry1 = | 30.05620 | 30.0562 | 30.1045 | 2.85 | 4.93 |
| | Rx2 = | -30.0000 | -30.0000 | -30.0000 | 0 | 0 |
| | Ry2 = | -19.9797 | -19.9798 | -19.9520 | 4.59 | 4.59 |

4.4 Kontrol profil baja

4.4.1 Hitungan batang desak

Elemen 2

Dipakai 2L 2 x 3 x 3/16

$$A_{br} = 1,8 \text{ in}^2$$

$$F_y = 36 \text{ Ksi}$$

$$E = 29000 \text{ Ksi}$$

$$r = 0.966 \text{ in}$$

$$P_{\min} = -20,0359 \text{ Kips}$$

$$L = 7,5 \text{ Feet}$$

Kontrol angka kelangsingan batang

$$\frac{KL}{r} = \frac{7,5 \times 12}{0,966} = 93,1677 \leq 200$$

$$C_c = \sqrt{\frac{2\pi^2 \times E}{F_y}} = \sqrt{\frac{2\pi^2 \times 29000}{36}} = 126$$

kondisi tekuk yang terjadi adalah kondisi tekuk elastis dimana $C_c > KL/r$. Maka tegangan ijin yang terjadi pada luas bruto yang terjadi adalah

$$FS = \frac{5}{3} + \frac{3}{8} \times \frac{93,1677}{126} - \frac{1}{8} \times \frac{(93,1677)^3}{126^3} = 1,8933$$

$$F_a = \frac{F_y}{FS} \left[1 - \frac{(KL/r)^2}{2 \times C_c^2} \right] = \frac{36}{1,8933} \left[1 - \frac{(93,1677)^2}{2 \times 126^2} \right] = 13,829 \text{ Ksi}$$

$$F_a \times A = 13,829 \times 1,8 = 24,892 \quad Kips > 20,0359 \quad Kips \dots \dots \dots OK!$$

Elemen 3

Dipakai 2L 2 x 2 x 3/16

$$A_{br} = 1,43 \text{ in}^2$$

$$F_y = 36 \text{ Ksi}$$

$$E = 29000 \text{ Ksi}$$

$$r = 0,617 \text{ in}$$

$$P_{\min} = -14,1707 \text{ Kips}$$

$$L = 5,3 \text{ Feet}$$

Kontrol angka kelangsingan batang

$$\frac{KL}{r} = \frac{5,3 \times 12}{0,617} = 103,0794 \leq 200$$

$$C_c = \sqrt{\frac{2\pi^2 \times E}{F_y}} = \sqrt{\frac{2\pi^2 \times 29000}{36}} = 126$$

kondisi tekuk yang terjadi adalah kondisi tekuk elastis dimana $C_c > KL/r$. Maka tegangan ijin pada luas bruto yang adalah

$$FS = \frac{5}{3} + \frac{3}{8} \times \frac{103,3794}{126} - \frac{1}{8} \times \frac{(103,3794)^3}{126^3} = 1,905$$

$$F_a = \frac{F_y}{FS} \left[1 - \frac{(KL/r)^2}{2 \times C_c^2} \right] = \frac{36}{1,905} \left[1 - \frac{(103,3794)^2}{2 \times 126^2} \right] = 12,5896 \text{ Ksi}$$

$$F_a \times A = 12,5896 \times 1,43 = 18,003 \text{ Kips} > 14,1707 \text{ Kips} \dots \dots \text{OK!}$$

4.4.2 Hitungan Batang Tarik

Elemen 1

Dipakai 2L 2 x 2 x 3/16

$$A_{br} = 1,43 \text{ in}^2 \quad P_{maks} = 21,2132 \text{ Kips}$$

$$L = 5,3 \text{ Feet}$$

Kontrol angka kelangsingan batang

$$\frac{KL}{r} = \frac{5,3 \times 12}{0,617} = 103,3794 \leq 300$$

Tegangan ijin pada luasan netto adalah :

$$A_n = A_{br} - A_{lub} = 1,43 - \left(\frac{1}{2} + \frac{1}{8} \right) \times \frac{3}{16} \times 2 = 1,1956 \text{ in}^2$$

$$F_t1 = 0,6 \times F_y \times A_g$$

$$F_t1 = 0,6 \times 36 \times 1,43 = 30,8879 \text{ Kips}$$

$$F_t2 = 0,5 \times F_u \times A_n \times 0,85$$

$$F_t2 = 0,5 \times 50 \times 1,19563 \times 0,85 = 25,407 \text{ Kips}$$

$$\text{diambil } F_t = 25,407 \text{ Kips} > P_{maks} = 21,2132 \text{ Kips} \dots \dots \text{OK!!}$$

Elemen 4

Dipakai 2L 2 x 2.5 x 3/16

$$\begin{aligned} A_{br} &= 1,62 \text{ in}^2 & P \text{ maks} &= 28,256 \text{ Kips} \\ L & & &= 5,3 \text{ Feet} \end{aligned}$$

Kontrol angka kelangsingan batang

$$\frac{KL}{r} = \frac{5,3 \times 12}{0,793} = 80,20177 \leq 300$$

Tegangan ijin pada luasan netto adalah :

$$A_n = A_{br} - A_{lub} = 1,62 - \left(\frac{1}{2} + \frac{1}{8} \right) \times \frac{3}{16} \times 2 = 1,3856 \text{ in}^2$$

$$F_t 1 = 0,6 \times F_y \times A_g$$

$$F_t 1 = 0,6 \times 36 \times 1,62 = 34,992 \text{ Kips}$$

$$F_t 2 = 0,5 \times F_u \times A_n \times 0,85$$

$$F_t 2 = 0,5 \times 50 \times 1,3856 \times 0,85 = 29,445 \text{ Kips}$$

diambil $F_t = 29,445 \text{ Kips} > P \text{ maks} = 28,2556 \text{ Kips} \dots \text{OK!!}$

Elemen 5

Dipakai 2L 2 x 2 x 1/8

$$\begin{aligned} A_{br} &= 0,96 \text{ in}^2 & P \text{ maks} &= 10,0202 \text{ Kips} \\ L & & &= 7,5 \text{ Feet} \end{aligned}$$

Kontrol angka kelangsingan batang

$$\frac{KL}{r} = \frac{7,5 \times 12}{0,626} = 141,5094 \leq 300$$

Tegangan ijin pada luasan netto adalah :

$$A_n = A_{br} - A_{lub} = 0,96 - \left(\frac{1}{2} + \frac{1}{8} \right) \times \frac{1}{8} \times 2 = 0,8038 \text{ in}^2$$

$$F_t1 = 0,6 \times F_y \times A_g$$

$$F_t1 = 0,6 \times 36 \times 0,96 = 20,736 \text{ Kips}$$

$$F_t2 = 0,5 \times F_u \times A_n \times 0,85$$

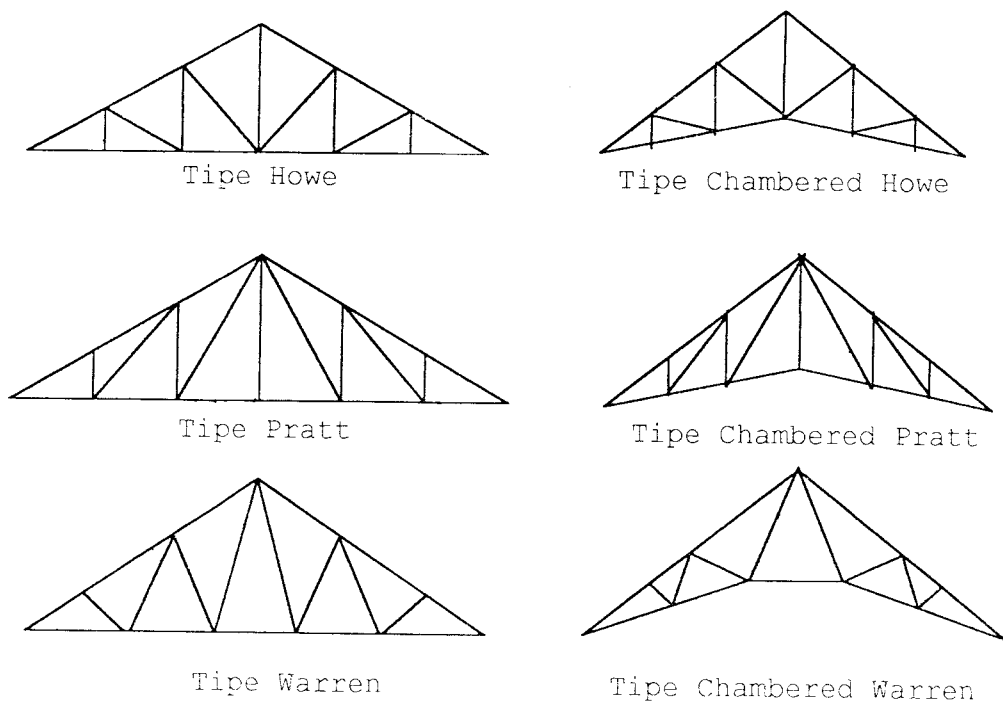
$$F_t2 = 0,5 \times 50 \times 0,8038 \times 0,85 = 17,0797 \text{ Kips}$$

diambil $F_t = 17,0797 \text{ Kips} > P_{maks} = 10,0202 \text{ Kips} \dots OK!!$

BAB V
ANALISA DAN PEMBAHASAN

5.1 Model Struktur Rangka batang Atap yang akan Digunakan

Pada Gambar 5.1 terlihat mode-model struktur rangka batang atap baja yang akan dicari profil-profilnya, kemudian dioptimasi model yang paling ringan pada panjang bentang yang sama.



Gambar 5.1 Model-model struktur rangka batang atap baja yang akan dioptimasi

5.2 Data-Data Struktur

1. Digunakan dua jenis atap yang berbeda dengan sudut kemiringan untuk Atap I = 15° , sedangkan untuk Atap II = 25° .
2. Sudut kemiringan dalam (chambered) = 5° .
3. Panjang bentang bervariasi dari 45 ft, 60 ft, 75 ft, 90 ft, 105 ft, 120 ft, 150 ft, dan 180 ft.
4. Jarak antar kuda-kuda = 4 meter = 13,32 feet.
5. Jarak antar gording dan panjang segmen untuk semua model struktur dijelaskan pada Tabel 5.1.

Tabel 5.1 Jarak antar gording dan panjang segmen

| Model Struktur | Atap I (15°) | | Atap II (25°) | |
|----------------------------------|-----------------------|---|------------------------|--|
| | Panjang Segmen | Jarak antar Gording | Panjang Segmen | Jarak antar Gording |
| Howe, C. Howe Pratt dan C. Pratt | 2,25 m = 7,50 ft | 2,35 m = 7,76 ft | 2,25 m = 7,50 ft | 2,48 m = 8,27 ft |
| Warren dan C. Warren | 2 m = 6,67ft | L1 = 1,04 m = 3,45 ft L2 = 2,07 m = 6,9 ft | 2 m = 6,67ft | L1 = 1,1 m = 3,68 ft L2 = 2,2 m = 7,36 ft |

6. Asumsi beban yang bekerja pada atap (sesuai PPPRG 1987) terdiri dari:
 - a. Untuk Atap I digunakan atap asbes = 11 kg/m^2 ,
dan untuk Atap II digunakan genteng = 50 kg/m^2
 - b. Digunakan gording profil C18, dengan beban tiap gording = 22 kg/m ,
 - c. Diasumsikan beban pekerja = 100 kg ,

- d. Beban air hujan pada masing-masing jenis atap :
- pada Atap I = $40 - 0,8 \cdot 15^\circ = 28 \text{ kg/m}^2$, dan
- pada Atap II = $40 - 0,8 \cdot 25^\circ = 20 \text{ kg/m}^2$.
- e. Beban plafond dan penggantung = $11 + 7 = 18 \text{ kg/m}^2$,
- f. Khusus untuk Atap II, dimana beban angin hanya terjadi bila sudut kemiringan atap lebih besar dari 20° , kemudian diasumsikan beban angin bekerja pada daerah bertekanan angin = 40 kg/m^2 , maka :
- angin datang $P_a = (0,02 \cdot \alpha - 0,4) \cdot 40 \cdot \text{jarak gording}$,
- angin meninggalkan $P_a = -0,4 \cdot 40 \cdot \text{jarak gording}$.
- Kemudian dari tiap arah angin diurai menjadi :
- $P_{\text{vertikal}} = P_a \cdot \sin \alpha \cdot \text{jarak kuda-kuda}$ dan
- $P_{\text{horisontal}} = P_a \cdot \cos \alpha \cdot \text{jarak kuda-kuda}$.
- Untuk lebih jelasnya asumsi beban angin dimasukkan dalam Tabel 5.2.

Tabel 5.2 Beban angin

| Model Struktur Atap II (25°) | Jarak antar Gording | Angin datang (kip) | | Angin meninggalkan (kip) | |
|------------------------------------|--|--------------------|-----------------|--------------------------|------------------|
| | | Vertikal (V1) | Horisontal (H1) | Vertikal (V2) | Horisontal (H2) |
| Howe, Pratt, C. Howe, dan C. Pratt | 2,48 m = 8,27 ft | 0,04 | 0,08 | - 0,147 | - 0,316 |
| Warren dan C. Warren | L1 = 1,1m = 3,68ft L2 = 2,2m = 7,36ft | 0,016 0,033 | 0,035 0,07 | - 0,065 - 0,131 | - 0,14 - 0,28 |

g. Beban mati dan beban hidup yang bekerja pada tiap model struktur rangka batang atap baja adalah sebagai berikut :

1. Atap I (Howe, C.Howe, Pratt, dan C. Pratt).

a) Beban asbes = $11 \cdot 2,35 \cdot 4 = 103,4 \text{ kg} = 0,23 \text{ kip}$

b) Beban gording = $22 \cdot 4 = 88 \text{ kg} = \underline{0,19 \text{ kip}}$

Beban akibat asbes dan gording = $0,42 \text{ kip}$

c) Beban air hujan = $28 \cdot 2,35 \cdot 4 = 263,2 \text{ kg} = 0,58 \text{ kip}$

d) Beban pekerja = $100 \text{ kg} = \underline{0,22 \text{ kip}}$

Beban hidup = $0,80 \text{ kip}$

e) Beban plafond = $18 \cdot 2,25 \cdot 4 = 162 \text{ kg} = 0,36 \text{ kip}$

2. Atap I (Warren & Chambered Warren)

a) Beban asbes = $11 \cdot 2,07 \cdot 4 = 91,08 \text{ kg} = 0,20 \text{ kip}$

b) Beban gording = $22 \cdot 4 = 88 \text{ kg} = \underline{0,19 \text{ kip}}$

Beban akibat genteng dan gording = $0,39 \text{ kip}$

c) Beban air hujan = $28 \cdot 2,07 \cdot 4 = 231,84 \text{ kg} = 0,51 \text{ kip}$

d) Beban pekerja = $100 \text{ kg} = \underline{0,22 \text{ kip}}$

Beban hidup = $0,73 \text{ kip}$

e) Beban plafond = $18 \cdot 2 \cdot 4 = 144 \text{ kg} = 0,32 \text{ kip}$

3. Atap II (Howe, C. Howe, Pratt, dan C. Pratt)

a) Beban genteng = $50 \cdot 2,48 \cdot 4 = 496 \text{ kg} = 1,09 \text{ kip}$

b) Beban gording = $22 \cdot 4 = 88 \text{ kg} = \underline{0,19 \text{ kip}}$

Beban akibat genteng dan gording = $1,28 \text{ kip}$

c) Beban air hujan = $20 \cdot 2,48 \cdot 4 = 198,4 \text{ kg} = 0,44 \text{ kip}$

d) Beban pekerja = $100 \text{ kg} = \underline{0,22 \text{ kip}}$

Beban Hidup = $0,66 \text{ kip}$

e) Beban plafond = $18 \cdot 2,25 \cdot 4 = 162 \text{ kg} = 0,36 \text{ kip}$

4. Atap II (Warren & Chambered Warren)

a) Beban genteng = $50 \cdot 2,2 \cdot 4 = 440 \text{ kg} = 0,97 \text{ kip}$

b) Beban gording = $22 \cdot 4 = 88 \text{ kg} = \underline{0,19 \text{ kip}}$

Beban akibat genteng dan gording = $1,16 \text{ kip}$

c) Beban air hujan = $20 \cdot 2,2 \cdot 4 = 176 \text{ kg} = 0,37 \text{ kip}$

d) Beban pekerja = $100 \text{ kg} = \underline{0,22 \text{ kip}}$

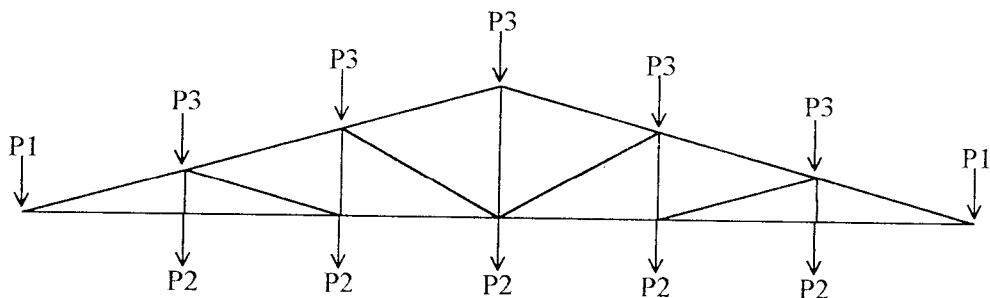
Beban hidup = $0,59 \text{ kip}$

e) Beban plafond = $18 \cdot 2 \cdot 4 = 144 \text{ kg} = 0,32 \text{ kip}$

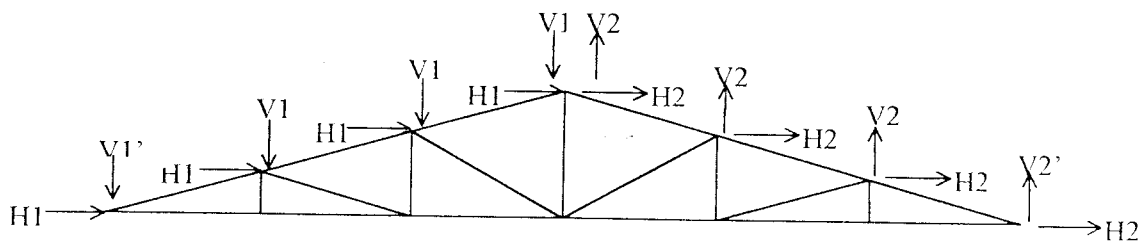
Pada Tabel 5.3 menjelaskan beban total yang bekerja pada tiap titik buhul, dimana beban-beban tersebut merupakan penjumlahan dari beban mati dan beban hidup.

Tabel 5.3 Beban total pada tiap titik buhul

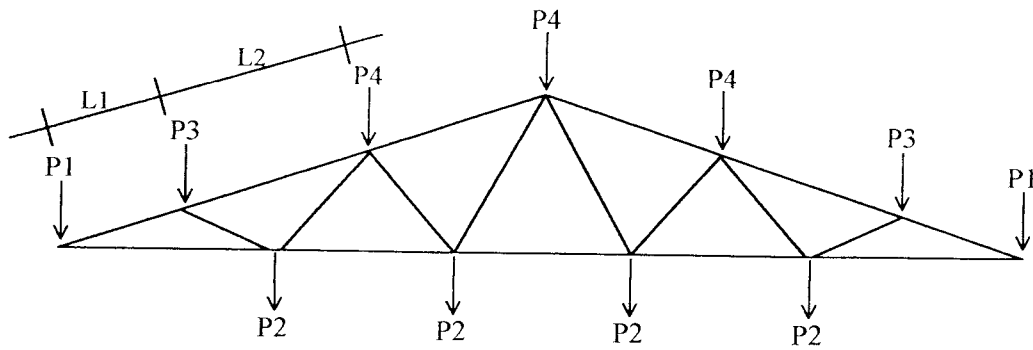
| Model Struktur Atap I (15°) | indeks | Beban Mati (Kips) | Beban Hidup (Kips) | Total Beban (Kips) |
|---------------------------------|--------|-------------------|--------------------|--------------------|
| - Howe | P1 | 0,39 | 0,40 | 0,79 |
| - C. Howe | P2 | 0,36 | - | 0,36 |
| - Pratt | P3 | 0,42 | 0,80 | 1,22 |
| - C. Pratt | | | | |
| - Warren | P1 | 0,40 | 0,37 | 0,77 |
| - C. Warren | P2 | 0,32 | - | 0,32 |
| | P3 | 0,34 | 0,73 | 1,07 |
| | P4 | 0,39 | 0,73 | 1,12 |
| Model Struktur Atap II (25 °) | indeks | Beban Mati (Kips) | Beban Hidup (Kips) | Total Beban (Kips) |
| - Howe | P1 | 0,82 | 0,33 | 1,15 |
| - C. Howe | P2 | 0,36 | - | 0,36 |
| - Pratt | P3 | 1,28 | 0,66 | 1,94 |
| - C. Pratt | | | | |
| - Warren | P1 | 0,59 | 0,30 | 0,89 |
| - C. Warren | P2 | 0,32 | - | 0,32 |
| | P3 | 0,92 | 0,59 | 1,51 |
| | P4 | 1,16 | 0,59 | 1,75 |



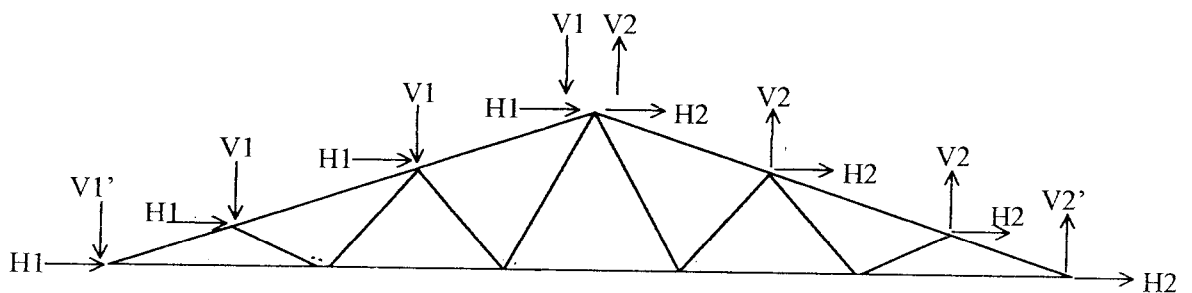
Gambar 5.2 Pembebanan pada beban tetap (mati + hidup) untuk model Howe, Chambered Howe, Pratt, dan Chambered Pratt



Gambar 5.3 Pembebanan pada beban angin untuk model Howe, Chambered Howe, Pratt, dan Chambered Pratt



Gambar 5.4 Pembebanan pada beban tetap (mati + hidup)
untuk model Warren & Chambered Warren



Gambar 5.5 Pembebanan pada beban angin untuk model
Warren dan Chambered Warren

5.3 Hasil Perhitungan dengan Menggunakan Program Aplikasi

5.3.1 Atap I (15°)

Tabel 5.4, hasil perhitungan pada Atap I

| Model 15° | L (ft) | H (ft) | h (ft) | S | Wtotal (lb) | Defleksi (ft) |
|---------------|--------|--------|--------|----|-----------------|---------------|
| 1 | 2 | 3 | 4 | 5 | 6 | 7 |
| Howe I | 45 | 8.04 | 0 | 8 | 571.8098 | -6.99E-02 |
| Howe II | 60 | 12.06 | 0 | 12 | 951.2525 | -9.70E-02 |
| Howe III | 75 | 16.08 | 0 | 16 | 1489.968 | -1.27E-01 |
| Howe IV | 90 | 20.1 | 0 | 20 | 2304.972 | -1.59E-01 |
| Howe V | 105 | 24.12 | 0 | 24 | 3141.299 | -1.94E-01 |
| Howe VI | 120 | 28.14 | 0 | 28 | 4629.733 | -2.26E-01 |
| Howe VII | 150 | 32.15 | 0 | 32 | 8473.145 | -2.81E-01 |
| Howe VII mod | 150 | 32.15 | 0 | 32 | 7281.004 | -2.95E-01 |
| Howe VIII | 180 | 36.17 | 0 | 36 | 12649.63 | -3.55E-01 |
| Howe VIII mod | 180 | 36.17 | 0 | 36 | 10539.57 | -3.73E-01 |

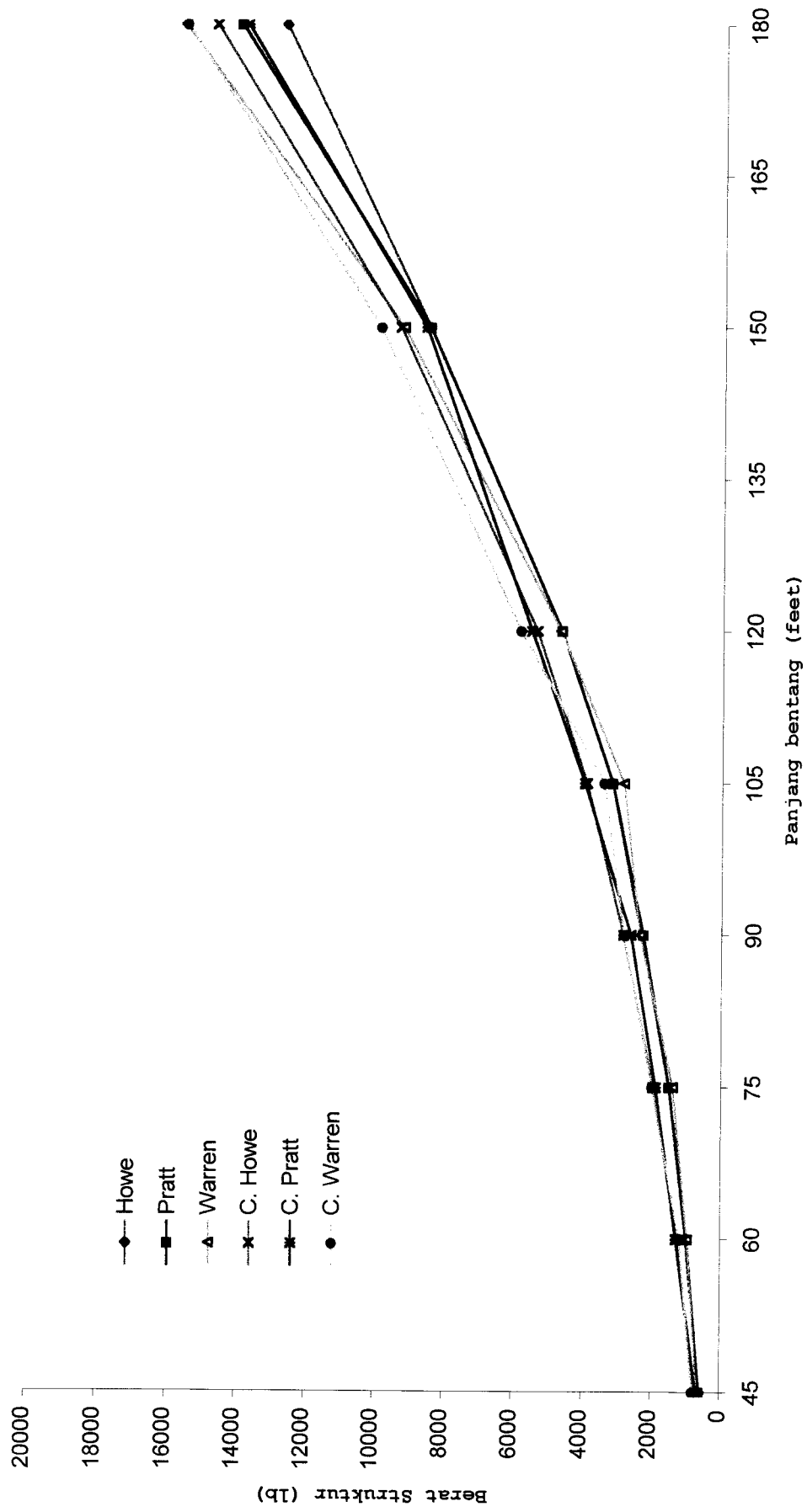
| 1 | 2 | 3 | 4 | 5 | 6 | 7 |
|----------------|-----|-------|-------|----|-----------------|-----------|
| Pratt I | 45 | 8.04 | 0 | 8 | 584.0712 | -6.72E-02 |
| Pratt II | 60 | 12.06 | 0 | 12 | 972.5731 | -9.58E-02 |
| Pratt III | 75 | 16.08 | 0 | 16 | 1489.968 | -1.54E-01 |
| Pratt IV | 90 | 20.1 | 0 | 20 | 2244.283 | -1.27E-01 |
| Pratt V | 105 | 24.12 | 0 | 24 | 3141.299 | -1.94E-01 |
| Pratt VI | 120 | 28.14 | 0 | 28 | 4629.733 | -2.26E-01 |
| Pratt VII | 150 | 32.15 | 0 | 32 | 8473.145 | -2.81E-01 |
| Pratt VIII | 180 | 36.17 | 0 | 36 | 13936.01 | -3.54E-01 |
| Warren I | 45 | 8.04 | 0 | 9 | 639.3724 | -1.13E-01 |
| Warren II | 60 | 12.06 | 0 | 15 | 938.2317 | -1.49E-01 |
| Warren III | 75 | 16.08 | 0 | 19 | 1376.654 | -1.98E-01 |
| Warren IV | 90 | 20.1 | 0 | 23 | 2343.244 | -2.46E-01 |
| Warren V | 105 | 24.12 | 0 | 27 | 2818.397 | -2.92E-01 |
| Warren VI | 120 | 28.14 | 0 | 33 | 4657.299 | -3.30E-01 |
| Warren VII | 150 | 32.15 | 0 | 37 | 9225.769 | -4.96E-01 |
| Warren VIII | 180 | 36.17 | 0 | 41 | 15556.12 | -4.12E-01 |
| CHowe I | 45 | 8.04 | 2.62 | 8 | 677.0572 | -1.11E-01 |
| CHowe II | 60 | 12.06 | 3.94 | 12 | 1243.456 | -1.45E-01 |
| CHowe III | 75 | 16.08 | 5.25 | 16 | 1944.278 | -1.95E-01 |
| CHowe IV | 90 | 20.1 | 6.6 | 20 | 2811.433 | -2.46E-01 |
| CHowe V | 105 | 24.12 | 7.9 | 24 | 3884.136 | -2.88E-01 |
| CHowe VI | 120 | 28.14 | 9.2 | 28 | 5337.843 | -3.28E-01 |
| CHowe VII | 150 | 32.15 | 10.5 | 32 | 9325.365 | -4.16E-01 |
| CHowe VII mod | 150 | 32.15 | 10.5 | 32 | 9337.363 | -4.10E-01 |
| CHowe VIII | 180 | 36.17 | 11.81 | 36 | 14640.64 | -4.97E-01 |
| CHowe VIII mod | 180 | 36.17 | 11.81 | 36 | 14605.57 | -4.97E-01 |
| CPratt I | 45 | 8.04 | 2.62 | 8 | 688.7475 | -6.47E-02 |
| CPratt II | 60 | 12.06 | 3.94 | 12 | 1264.482 | -1.05E-01 |
| CPratt III | 75 | 16.08 | 5.25 | 16 | 1873.854 | -1.38E-01 |
| CPratt IV | 90 | 20.1 | 6.6 | 20 | 2596.055 | -1.70E-01 |
| CPratt V | 105 | 24.12 | 7.9 | 24 | 3945.306 | -1.94E-01 |
| CPratt VI | 120 | 28.14 | 9.2 | 28 | 5492.373 | -2.41E-01 |
| CPratt VII | 150 | 32.15 | 10.5 | 32 | 8579.51 | -2.99E-01 |
| CPratt VIII | 180 | 36.17 | 11.81 | 36 | 13761.85 | -3.72E-01 |
| CWarren I | 45 | 8.04 | 2.34 | 9 | 774.7122 | -1.21E-01 |
| CWarren II | 60 | 12.06 | 3.7 | 15 | 1168.927 | -1.63E-01 |
| CWarren III | 75 | 16.08 | 4.97 | 19 | 1980.422 | -2.07E-01 |
| CWarren IV | 90 | 20.1 | 6.3 | 23 | 2807.632 | -2.45E-01 |
| CWarren V | 105 | 24.12 | 7.61 | 27 | 3397.808 | -2.89E-01 |
| CWarren VI | 120 | 28.14 | 8.92 | 33 | 5799.768 | -3.31E-01 |
| CWarren VII | 150 | 32.15 | 10.22 | 37 | 9871.403 | -4.16E-01 |
| CWarren VIII | 180 | 36.17 | 11.5 | 41 | 15509.51 | -4.95E-01 |

5.3.2 Atap II (25°)

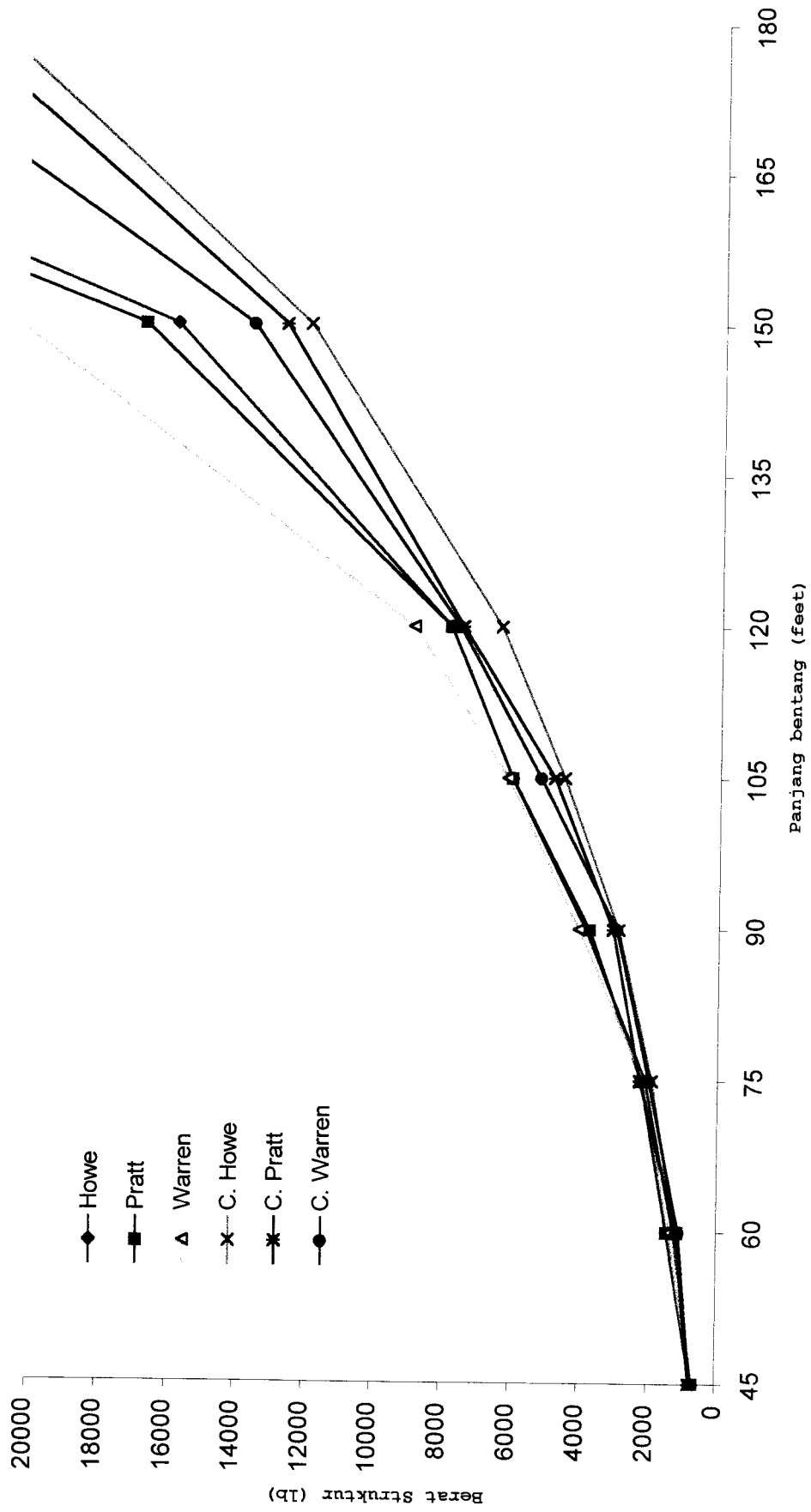
Tabel 5.5, hasil perhitungan pada Atap II

| Model 25° | L (ft) | H (ft) | h (ft) | s | Wtotal (lb) | Defleksi (ft) |
|----------------|--------|--------|--------|----|-----------------|---------------|
| 1 | 2 | 3 | 4 | 5 | 6 | 7 |
| Howe I | 45 | 10.49 | 0 | 6 | 647.7614 | -3.78E-02 |
| Howe II | 60 | 13.99 | 0 | 8 | 1229.648 | -5.44E-02 |
| Howe III | 75 | 17.49 | 0 | 10 | 2088.235 | -7.44E-02 |
| Howe IV | 90 | 20.98 | 0 | 12 | 3837.643 | -9.48E-02 |
| Howe V | 105 | 24.25 | 0 | 14 | 6015.16 | -1.17E-01 |
| Howe VI | 120 | 27.98 | 0 | 16 | 7824.676 | -1.37E-01 |
| Howe VII | 150 | 34.97 | 0 | 20 | 15876.33 | -1.82E-01 |
| Howe VII mod | 150 | 34.97 | 0 | 20 | 13640.31 | -1.95E-01 |
| Howe VIII | 180 | 41.97 | 0 | 24 | 36535.08 | -2.26E-01 |
| Howe VIII mod | 180 | 41.97 | 0 | 24 | 26086.63 | -2.29E-01 |
| Pratt I | 45 | 10.49 | 0 | 6 | 678.265 | -3.72E-02 |
| Pratt II | 60 | 13.99 | 0 | 8 | 1436.326 | -5.32E-02 |
| Pratt III | 75 | 17.49 | 0 | 10 | 2201.911 | -7.34E-02 |
| Pratt IV | 90 | 20.98 | 0 | 12 | 3746.177 | -9.13E-02 |
| Pratt V | 105 | 24.25 | 0 | 14 | 6015.16 | -1.17E-01 |
| Pratt VI | 120 | 27.98 | 0 | 16 | 7824.676 | -1.73E-01 |
| Pratt VII | 150 | 34.97 | 0 | 20 | 16789.02 | -1.37E-01 |
| Pratt VIII | 180 | 41.97 | 0 | 24 | 38831.74 | -2.23E-01 |
| Warren I | 45 | 10.49 | 0 | 7 | 667.2371 | -4.47E-02 |
| Warren II | 60 | 13.99 | 0 | 9 | 1377.005 | -7.85E-02 |
| Warren III | 75 | 17.49 | 0 | 19 | 2136.017 | -1.00E-01 |
| Warren IV | 90 | 20.98 | 0 | 23 | 4051.938 | -1.25E-01 |
| Warren V | 105 | 24.25 | 0 | 27 | 6144.93 | -1.53E-01 |
| Warren VI | 120 | 27.98 | 0 | 31 | 8893.633 | -1.74E-01 |
| Warren VII | 150 | 34.97 | 0 | 37 | 20496.8 | -2.27E-01 |
| Warren VIII | 180 | 41.97 | 0 | 41 | 53571.07 | -2.29E-01 |
| CHowe I | 45 | 10.49 | 1.968 | 6 | 720.8383 | -4.46E-02 |
| CHowe II | 60 | 13.99 | 2.625 | 8 | 1196.914 | -7.70E-02 |
| CHowe III | 75 | 17.49 | 3.281 | 10 | 1890.021 | -9.20E-02 |
| CHowe IV | 90 | 20.98 | 3.937 | 12 | 2897.07 | -1.21E-01 |
| CHowe V | 105 | 24.25 | 4.593 | 14 | 4492.288 | -1.49E-01 |
| CHowe VI | 120 | 27.98 | 5.249 | 16 | 6367.702 | -1.71E-01 |
| CHowe VII | 150 | 34.97 | 6.562 | 20 | 11986.84 | -2.26E-01 |
| CHowe VII mod | 150 | 34.97 | 6.562 | 20 | 12374.63 | -2.30E-01 |
| CHowe VIII | 180 | 41.97 | 7.874 | 24 | 21353.74 | -2.32E-01 |
| CHowe VIII mod | 180 | 41.97 | 7.874 | 24 | 19413.37 | -2.99E-01 |
| CPratt I | 45 | 10.49 | 1.968 | 6 | 752.7397 | -4.11E-02 |
| CPratt II | 60 | 13.99 | 2.625 | 8 | 1128.668 | -5.93E-02 |
| CPratt III | 75 | 17.49 | 3.281 | 10 | 2241.241 | -8.24E-02 |
| CPratt IV | 90 | 20.98 | 3.937 | 12 | 3060.408 | -1.05E-01 |
| CPratt V | 105 | 24.25 | 4.593 | 14 | 4778.188 | -1.26E-01 |
| CPratt VI | 120 | 27.98 | 5.249 | 16 | 7473.581 | -1.40E-01 |
| CPratt VII | 150 | 34.97 | 6.562 | 20 | 12702.99 | -1.92E-01 |
| CPratt VIII | 180 | 41.97 | 7.874 | 24 | 22643.4 | -2.28E-01 |

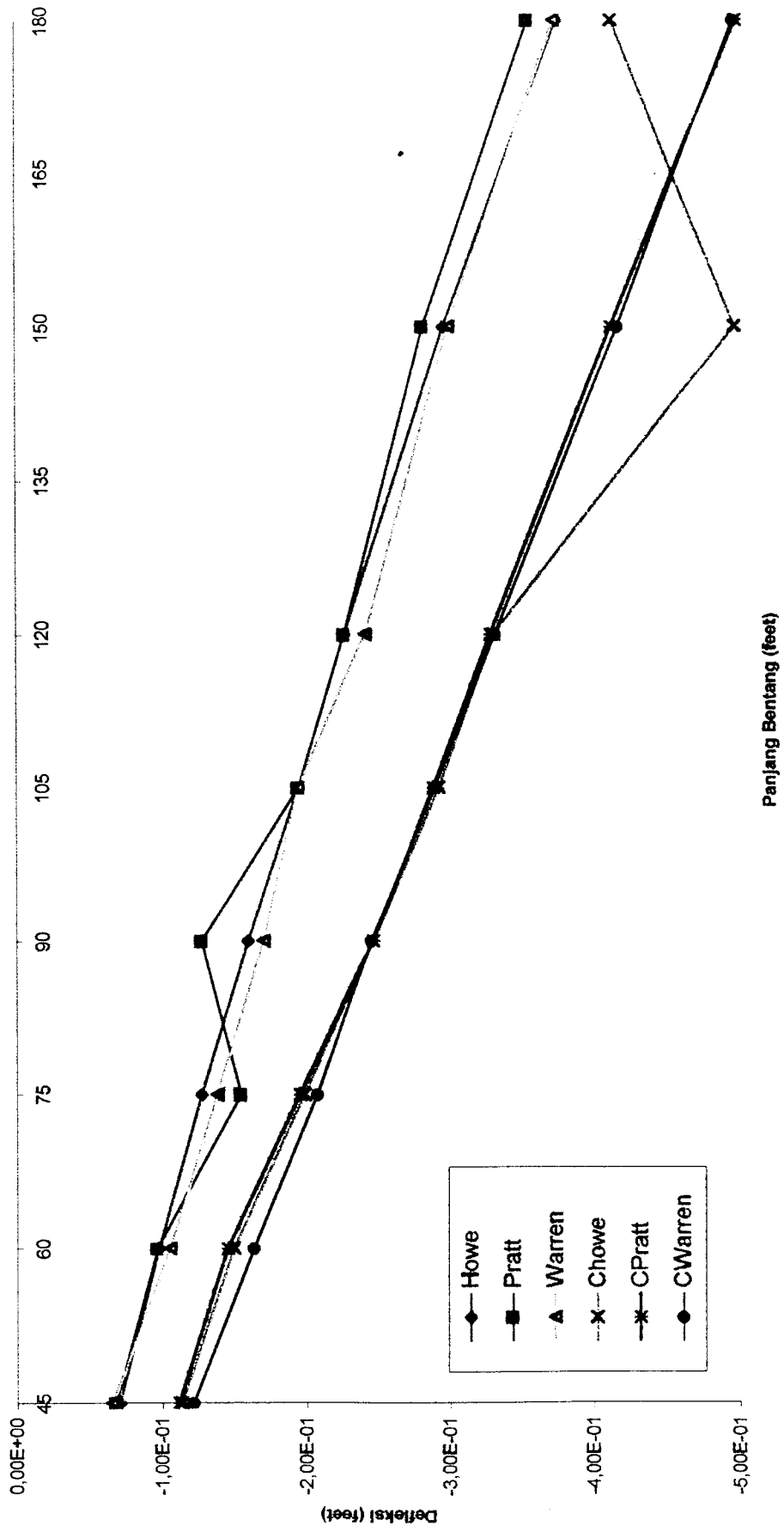
| 1 | 2 | 3 | 4 | 5 | 6 | 7 |
|--------------|-----|-------|-------|----|-----------------|-----------|
| CWarren I | 45 | 10.49 | 1.687 | 9 | 701.7566 | -5.19E-02 |
| CWarren II | 60 | 13.99 | 2.333 | 13 | 1083.772 | -7.99E-02 |
| CWarren III | 75 | 17.49 | 2.983 | 19 | 1978.563 | -1.06E-01 |
| CWarren IV | 90 | 20.98 | 3.634 | 23 | 2947.982 | -1.30E-01 |
| CWarren V | 105 | 24.25 | 4.287 | 27 | 5178.393 | -1.53E-01 |
| CWarren VI | 120 | 27.98 | 4.94 | 31 | 7576.984 | -1.74E-01 |
| CWarren VII | 150 | 34.97 | 6.277 | 37 | 13648.2 | -2.40E-01 |
| CWarren VIII | 180 | 41.97 | 7.584 | 41 | 25968.21 | -2.33E-01 |



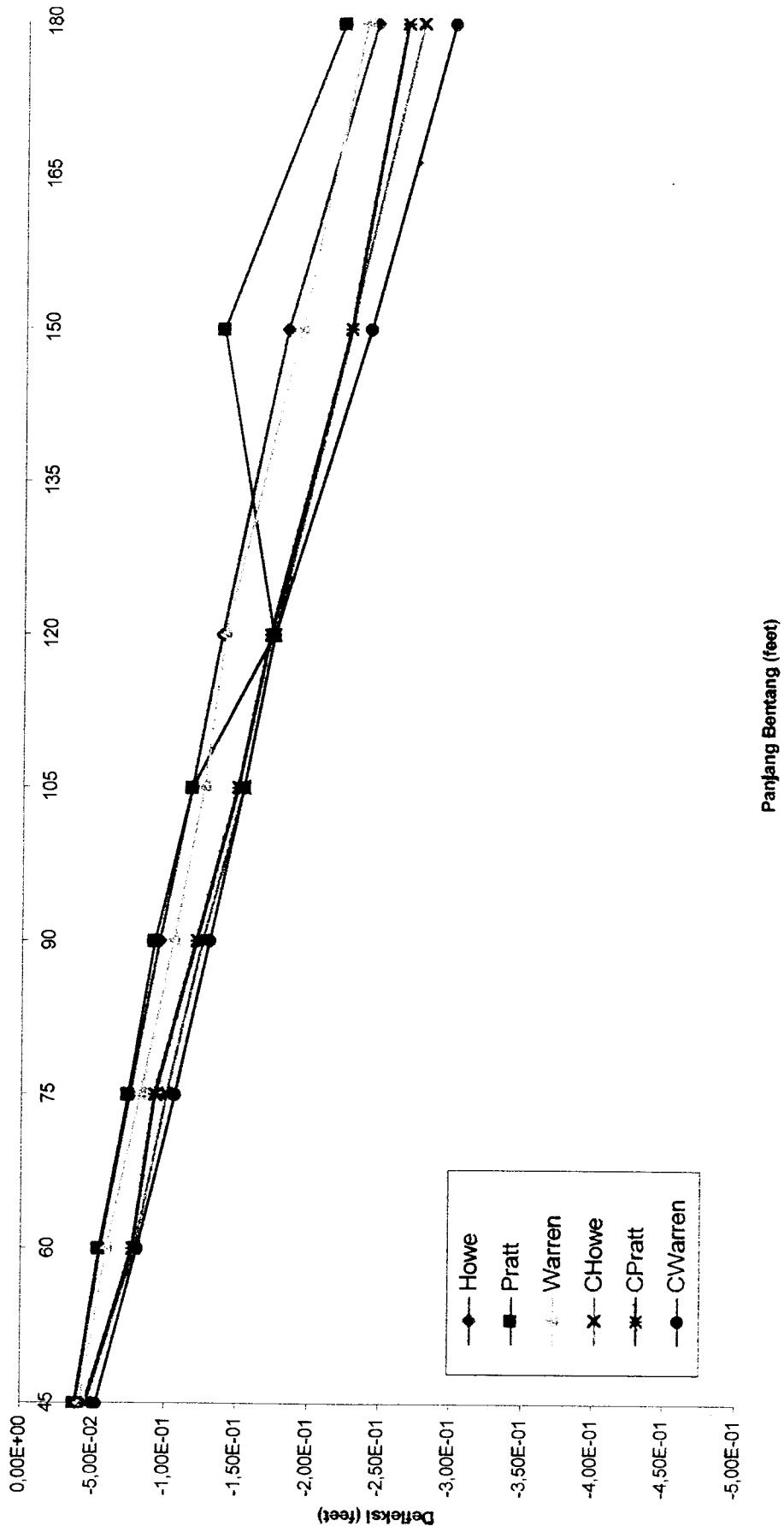
Gambar 5.6 Grafik Optimasi Model Struktur Atap I (15 °)



Gambar 5.7 Grafik Optimasi Model Struktur Atap II (25 °)



Gambar 5.8 Grafik Defleksi Model Struktur Atap I (15 °)



Gambar 5.9 Grafik Defleksi Model Struktur Atap II (25 °)

BAB VI

KESIMPULAN DAN SARAN

6.1 Kesimpulan

Dari hasil komparasi beberapa model struktur rangka batang atap baja, dengan mengabaikan berat pelat buhul dan berat sambungan baut, dapat ditarik kesimpulan sebagai berikut :

1. Pada Atap I (15°), dengan memperhatikan Tabel 5.4, Gambar 5.6 dan Gambar 5.8 menunjukkan bahwa :
 - a. Struktur rangka batang atap baja non chambered (Howe, Pratt, dan Warren) cocok digunakan pada kondisi Atap I. Hal ini terlihat dari hasil perhitungan dengan menggunakan program aplikasi komputer dimana model Howe, Pratt, dan Warren memiliki berat yang paling optimum.
 - b. Gaya-gaya batang yang terjadi pada struktur rangka batang atap baja non chambered relatif lebih kecil, sehingga profil-profil batang yang diperoleh lebih

kecil dari pada struktur chambered (chambered Howe, chambered Pratt, dan chambered Warren).

- c. Pada bentang di atas 120 feet (150 ft dan 180 ft) khususnya untuk model Howe dan model Chambered Howe, batang diagonal yang menerima gaya desak dipengaruhi kelangsingan sehingga penampang profil yang terpilih relatif besar. Maka model-model tersebut dimodifikasi menjadi model Howe VII mod dan model C.HoweVII mod (bentangan 150 ft) serta model Howe VIII mod dan model C.HoweVIII mod (bentangan 180 ft) seperti pada Tabel 5.4, agar berat model-model tersebut menjadi lebih ringan.
- d. Hasil komparasi selengkapnya diterangkan dibawah ini
- 1) Pada bentang 45 ft model yang paling optimum adalah model Howe.
 - 2) Pada bentang 60 ft dan 75 ft model yang paling optimum adalah model Warren.
 - 3) Pada bentang 90 ft model yang paling optimum adalah model Pratt.
 - 4) Pada bentang 105 ft model yang paling optimum adalah model Warren.

- 5) Pada bentang 120 ft model yang paling optimum adalah model Howe dan model Pratt.
 - 6) Pada bentang 150 ft model yang paling optimum adalah model Howe modifikasi.
 - 7) Pada bentang 180 ft model yang paling optimum adalah model Howe modifikasi.
2. Pada Atap II (25°), dengan memperhatikan Tabel 5.5, Gambar 5.7 dan Gambar 5.9 menunjukkan bahwa :
- a. Pada kondisi kondisi Atap II khususnya pada bentang 45 ft model Howe merupakan model yang paling ringan.
 - b. Pada bentang di atas 45 ft struktur rangka batang atap baja chambered (Chambered Howe, Chambered Pratt, dan Chambered Warren) cocok digunakan pada kondisi Atap II. Hal ini terlihat dari hasil perhitungan dengan menggunakan program aplikasi komputer dimana model Chambered Howe, Chambered Pratt, dan Chambered Warren memiliki berat paling yang optimum.
 - c. Gaya-gaya batang yang terjadi pada struktur rangka batang atap baja chambered lebih besar, tetapi berat total strukturnya masih lebih ringan jika

dibandingkan dengan struktur rangka batang atap baja non chambered (Howe, Pratt, dan Warren).

- d. Pada bentang di atas 120 feet (150 ft dan 180 ft) khususnya untuk model Howe dan model Chambered Howe, batang diagonal yang menerima gaya desak dipengaruhi kelangsingan sehingga penampang profil yang terpilih relatif besar. Maka model-model tersebut dimodifikasi menjadi model Howe VII mod dan model C.HoweVII mod (bentangan 150 ft) serta model Howe VIII mod dan model C.HoweVIII mod (bentangan 180 ft) seperti pada Tabel 5.5, agar berat model-model tersebut menjadi lebih ringan.
- e. Hasil komparasi selengkapnya diterangkan dibawah ini
- 1) Pada bentang 45 ft model yang paling optimum adalah model Howe.
 - 2) Pada bentang 60 ft model yang paling optimum adalah model Chambered Warren.
 - 3) Pada bentang 75 ft, 90 ft, 105 ft, 120 ft, dan 150 ft model yang paling optimum adalah model Chambered Howe.
 - 4) Pada bentang 180 ft model yang paling optimum adalah model Chambered Howe modifikasi.

3. Jika dibandingkan kondisi Atap I dan Atap II diperoleh bahwa gaya-gaya batang yang terjadi pada Atap II relatif lebih kecil dibandingkan pada Atap I.
4. Jika memperhatikan Gambar 5.8 dan Gambar 5.9 (defleksi struktur yang didapat pada Atap I dan Atap II) defleksi yang terjadi pada kondisi Atap I lebih besar dari pada pada kondisi Atap II.
5. Berdasarkan Gambar 5.8 dan Gambar 5.9 (defleksi struktur yang didapat pada Atap I dan Atap II) defleksi yang terjadi untuk model struktur non chambered lebih kecil daripada model struktur chambered.

6.2 Saran

Dengan memperhatikan kesimpulan seperti diatas dapat diberikan saran-saran sebagai berikut :

1. Dalam tugas akhir ini kemiringan struktur hanya ditinjau pada sudut 15° dan 25° , sehingga studi lebih lanjut dapat meninjau pada sudut kemiringan struktur yang lebih besar.

2. Model struktur rangka batang atap yang dikomparasi dalam tugas akhir ini hanya terbatas enam model, sehingga studi lebih lanjut dapat dikembangkan dengan menggunakan model struktur rangka batang atap yang lain.
3. Dalam tugas akhir ini beban gempa tidak diperhitungkan sebagai beban lateral, sehingga studi lebih lanjut beban gempa dapat menjadi masukan beban lateral.
4. Sambungan yang digunakan pada tiap titik buhul hanya menggunakan sambungan baut, perlu kiranya studi lebih lanjut dikembangkan dengan menggunakan sambungan las.

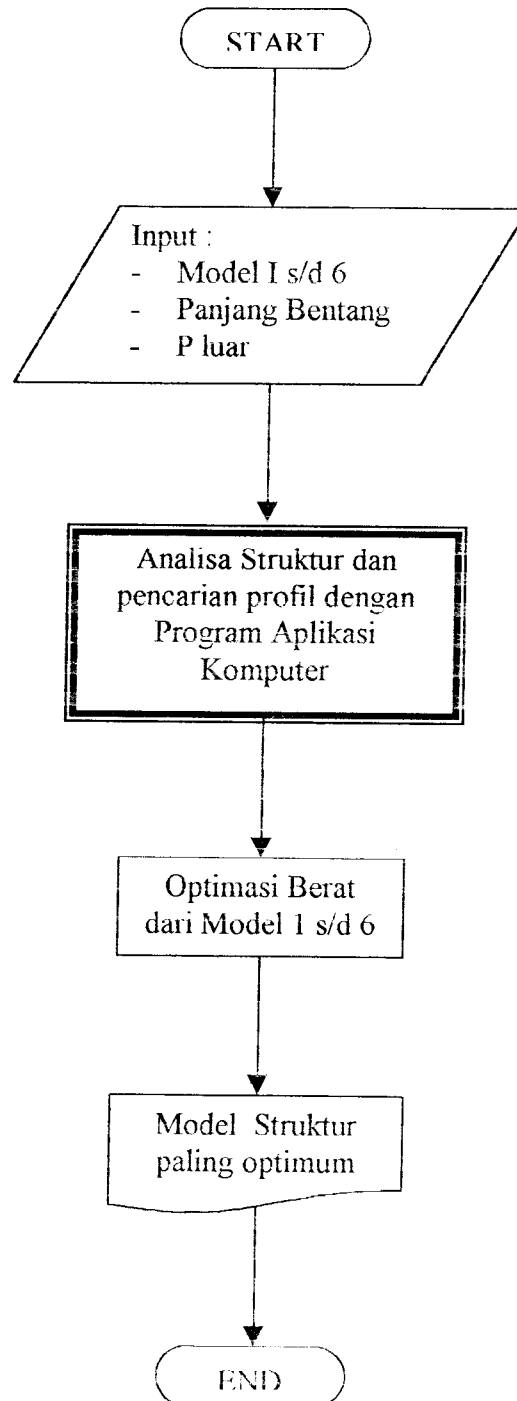
DAFTAR PUSTAKA

- Craig, Jhon Clark C., 1997, **MICROSOFT VISUAL BASIC 4.0 DEVELOPER'S WORKSHOP**, Dinastindo, Jakarta.
- Fleming, Jhon F. F., 1989, **COMPUTER ANALYSIS OF STRUCTURAL SYSTEM**, Mc Graw Hill, New York.
- Hibbeler, R.C., 1995, **STRUCTURAL ANALYSIS**, Prentice-Hall, Upper Saddle River, New Jersey.
- Mc Cormac, J., 1981, **STRUCTURAL STEEL DESIGN**, Harper & Row Publisher, New York.
- Salmon, C.G dan Johnson, J.E., 1989, **STRUKTUR BAJA DESAIN DAN PERILAKU**, Jilid 1 dan 2, Erlangga, Jakarta.
- Supartono, F.X, 1984, **ANALISA STRUKTUR DENGAN METODE MATRIX**, UI Press, Jakarta.
- Susastrawan, Msc., 1991, **ANALISIS STRUKTUR DENGAN CARA MATRIK**, Andi Offset, Yogyakarta.
- Wahana Putra Semarang, 1999, **PEMROGRAMAN VISUAL BASIC 5.0 FOR WINDOWS 95**, Andi Offset, Yogyakarta.
- Weaver, W., Jr., dan Gere, James M., 1986, **ANALISA MATRIK UNTUK STRUKTUR RANGKA**, Erlangga, Jakarta.
- West, H. H., 1993, **FUNDAMENTAL OF STRUCTURAL ANALYSIS**, Jhon Willey and Sons, Inc., New York.
- Yuan, Yu Hsieh, 1985, **TEORI DASAR STRUKTUR**, Erlangga, Jakarta.

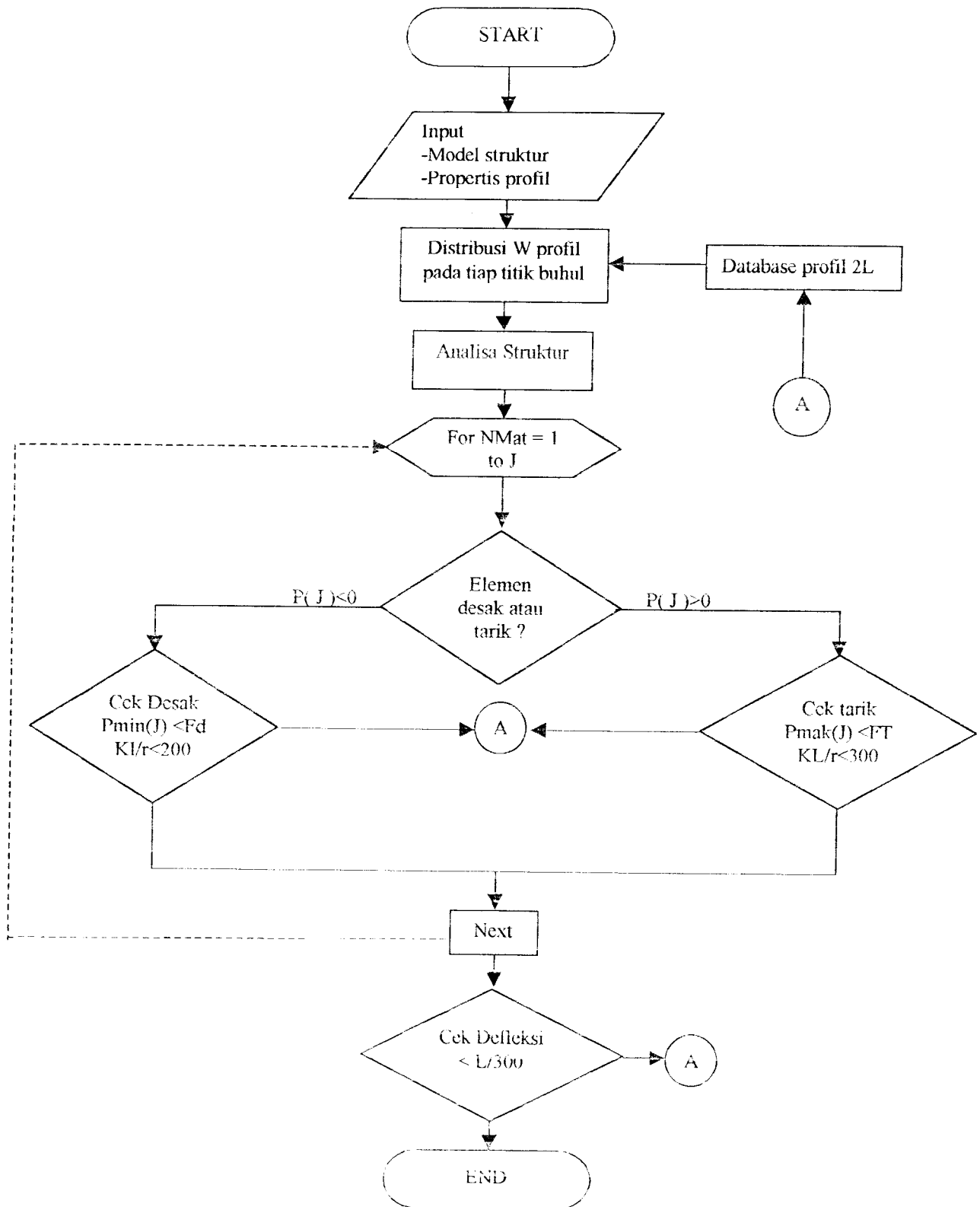
_____, 1989, **MANUAL OF STEEL CONSTRUCTION - ALLOWABLE STRESS DESIGN**, American Institute of Steel Construction, Chicago, Illionis.

_____, 1987, **PEDOMAN PERENCANAAN PEMBEBEANAN UNTUK RUMAH DAN GEDUNG 1987**, Yayasan Badan Penerbit PU, Departemen Pekerjaan Umum, Bandung.

Lampiran flow chart optimasi model struktur rangka atap baja



Lampiran flow chart program aplikasi komputer



Lampiran input data Atap I berdasarkan berat optimum

| | | | |
|--|--|--|--|
| TRIDIM2D Howe45-15 Panjang =45 Tinggi =6.028 Chember =0 segment =6 | Howe60-15 Panjang =60 Tinggi =8.04 Chember =0 segment =8 | 5 0 -0.36 6 0 -0.36 7 0 -0.36 8 0 -0.36 9 0 -0.79 10 0 -1.22 11 0 -1.22 12 0 -1.22 13 0 -1.22 14 0 -1.22 15 0 -1.22 16 0 -1.22 | 19 19 20 2 20 20 21 2 21 21 22 2 22 22 23 2 23 23 12 2 24 13 2 3 25 14 3 3 26 15 4 3 27 16 5 3 28 17 6 3 29 18 7 3 30 19 8 3 31 20 9 3 32 21 10 3 |
| PROPERTIES 12 21 4 2 12 36 0.5 | PROPERTIES 16 29 4 2 16 36 0.5 | | 33 22 11 3 34 2 14 4 35 3 15 4 36 4 16 4 37 5 17 4 38 6 18 4 39 7 19 4 40 8 20 4 41 9 21 4 42 10 22 4 43 11 23 4 |
| JOINTS 1 0.0 0.0 2 7.5 0.0 3 15.0 0.0 4 22.5 0.0 5 30.0 0.0 6 37.5 0.0 7 45.0 0.0 8 7.5 2.009 9 15.0 4.019 10 22.5 6.028 11 30.0 4.019 12 37.5 2.009 | JOINTS 1 0.0 0.0 2 7.5 0.0 3 15.0 0.0 4 22.5 0.0 5 30.0 0.0 6 37.5 0.0 7 45.0 0.0 8 52.5 0.0 9 60.0 0.0 10 7.5 2.01 11 15.0 4.02 12 22.5 6.03 13 30.0 8.04 14 37.5 6.03 15 45.0 4.02 16 52.5 2.01 | TRIDIM2D Warren75-15 Panjang =75 Tinggi =10.048 Chember =0 segment =11 | |
| MATERIAL DATA 1 29000 | MATERIAL DATA 1 29000 | PROPERTIES 23 43 4 2 23 36 0.5 | |
| Elemen 1 1 2 1 2 2 3 1 3 3 4 1 4 4 5 1 5 5 6 1 6 6 7 1 7 1 8 2 8 8 9 2 9 9 10 2 10 10 11 2 11 11 12 2 12 12 7 2 13 2 8 3 14 3 9 3 15 4 10 3 16 5 11 3 17 6 12 3 18 3 8 4 19 4 9 4 20 4 11 4 21 5 12 4 | Elemen 1 1 2 1 2 2 3 1 3 3 4 1 4 4 5 1 5 5 6 1 6 6 7 1 7 7 8 1 8 8 9 1 9 1 10 2 10 10 11 2 11 11 12 2 12 12 13 2 13 13 14 2 14 14 15 2 15 15 16 2 16 16 9 2 17 2 10 3 18 3 11 3 19 4 12 3 20 5 13 3 21 6 14 3 22 7 15 3 23 8 16 3 24 3 10 4 25 4 11 4 26 5 12 4 27 5 14 4 28 6 15 4 29 7 16 4 | JOINTS 1 0.0 0.0 2 6.818 0.0 3 13.636 0.0 4 20.455 0.0 5 27.273 0.0 6 34.091 0.0 7 40.909 0.0 8 47.727 0.0 9 54.545 0.0 10 61.364 0.0 11 68.182 0.0 12 75.0 0.0 13 3.409 0.913 14 10.227 2.74 15 17.045 4.567 16 23.864 6.394 17 30.682 8.221 18 37.5 10.048 19 44.318 8.221 20 51.136 6.394 21 57.955 4.567 22 64.773 2.74 23 71.591 0.913 | |
| RESTRAINT 1 1 1 7 0 1 | RESTRAINT 1 1 1 9 0 1 | MATERIAL DATA 1 29000 | RESTRAINT 1 1 1 12 0 1 |
| JOINT LOAD 1 0 -0.79 2 0 -0.36 3 0 -0.36 4 0 -0.36 5 0 -0.36 6 0 -0.36 7 0 -0.79 8 0 -1.22 9 0 -1.22 10 0 -1.22 11 0 -1.22 12 0 -1.22 | JOINT LOAD 1 0 -0.79 2 0 -0.36 3 0 -0.36 4 0 -0.36 | | JOINT LOAD 10 0 -0.32 11 0 -0.32 12 0 -0.32 13 0 -0.32 14 0 -0.32 15 0 -0.32 16 0 -0.32 17 0 -0.32 18 0 -0.32 19 0 -0.32 20 0 -0.32 21 0 -0.77 22 0 -1.07 23 0 -1.12 15 0 -1.12 16 0 -1.12 17 0 -1.12 18 0 -1.12 19 0 -1.12 20 0 -1.12 21 0 -1.12 22 0 -1.12 23 0 -1.07 |
| TRIDIM2D | | TRIDIM2D Pratt90-15 Panjang =90 Tinggi =12.06 Chember =0 segment =12 | TRIDIM2D Pratt90-15 Panjang =90 Tinggi =12.06 Chember =0 segment =12 |
| | | PROPERTIES 24 45 4 2 24 36 0.5 | PROPERTIES 24 45 4 2 24 36 0.5 |
| | | JOINTS 1 0.0 0.0 2 7.5 0.0 3 15.0 0.0 4 22.5 0.0 | JOINTS 1 0.0 0.0 2 7.5 0.0 3 15.0 0.0 4 22.5 0.0 |

Lampiran input data Atap I berdasarkan berat optimum

| | | | |
|---------------|---------------------------|------------------|--------------------------|
| 5 30.0 0.0 | 44 11 22 4 | 27 100.962 1.082 | 6 0 -0.32 |
| 6 37.5 0.0 | 45 12 23 4 | | 7 0 -0.32 |
| 7 45.0 0.0 | | MATERIAL DATA | 8 0 -0.32 |
| 8 52.5 0.0 | RESTRAINT | 1 29000 | 9 0 -0.32 |
| 9 60.0 0.0 | 1 1 1 | | 10 0 -0.32 |
| 10 67.5 0.0 | 13 0 1 | Elemen | 11 0 -0.32 |
| 11 75.0 0.0 | | 1 1 2 1 | 12 0 -0.32 |
| 12 82.5 0.0 | JOINT LOAD | 2 2 3 1 | 13 0 -0.32 |
| 13 90.0 0.0 | 1 0 -0.79 | 3 3 4 1 | 14 0 -0.77 |
| 14 7.5 2.01 | 2 0 -0.36 | 4 4 5 1 | 15 0 -1.07 |
| 15 15.0 4.02 | 3 0 -0.36 | 5 5 6 1 | 16 0 -1.12 |
| 16 22.5 6.03 | 4 0 -0.36 | 6 6 7 1 | 17 0 -1.12 |
| 17 30.0 8.04 | 5 0 -0.36 | 7 7 8 1 | 18 0 -1.12 |
| 18 37.5 10.05 | 6 0 -0.36 | 8 8 9 1 | 19 0 -1.12 |
| 19 45.0 12.06 | 7 0 -0.36 | 9 9 10 1 | 20 0 -1.12 |
| 20 52.5 10.05 | 8 0 -0.36 | 10 10 11 1 | 21 0 -1.12 |
| 21 60.0 8.04 | 9 0 -0.36 | 11 11 12 1 | 22 0 -1.12 |
| 22 67.5 6.03 | 10 0 -0.36 | 12 12 13 1 | 23 0 -1.12 |
| 23 75.0 4.02 | 11 0 -0.36 | 13 13 14 1 | 24 0 -1.12 |
| 24 82.5 2.01 | 12 0 -0.36 | 14 1 15 2 | 25 0 -1.12 |
| | 13 0 -0.79 | 15 15 16 2 | 26 0 -1.12 |
| MATERIAL DATA | 14 0 -1.22 | 16 16 17 2 | 27 0 -1.07 |
| 1 29000 | 15 0 -1.22 | 17 17 18 2 | |
| | 16 0 -1.22 | 18 18 19 2 | TRIDIM2D |
| Elemen | 17 0 -1.22 | 19 19 20 2 | Howe120-15 Panjang =120 |
| 1 1 2 1 | 18 0 -1.22 | 20 20 21 2 | Tinggi =16.08 Chember =0 |
| 2 2 3 1 | 19 0 -1.22 | 21 21 22 2 | segment =16 |
| 3 3 4 1 | 20 0 -1.22 | 22 22 23 2 | |
| 4 4 5 1 | 21 0 -1.22 | 23 23 24 2 | PROPERTIES |
| 5 5 6 1 | 22 0 -1.22 | 24 24 25 2 | 32 61 4 2 32 36 0.5 |
| 6 6 7 1 | 23 0 -1.22 | 25 25 26 2 | |
| 7 7 8 1 | 24 0 -1.22 | 26 26 27 2 | JOINTS |
| 8 8 9 1 | | 27 27 14 2 | 1 0.0 0.0 |
| 9 9 10 1 | TRIDIM2D | 28 15 2 3 | 2 7.5 0.0 |
| 10 10 11 1 | Warren105-15 Panjang =105 | 29 16 3 3 | 3 15.0 0.0 |
| 11 11 12 1 | Tinggi =14.067 | 30 17 4 3 | 4 22.5 0.0 |
| 12 12 13 1 | Chember =0 segment =13 | 31 18 5 3 | 5 30.0 0.0 |
| 13 1 14 2 | | 32 19 6 3 | 6 37.5 0.0 |
| 14 14 15 2 | PROPERTIES | 33 20 7 3 | 7 45.0 0.0 |
| 15 15 16 2 | 27 51 4 2 27 36 0.5 | 34 21 8 3 | 8 52.5 0.0 |
| 16 16 17 2 | | 35 22 9 3 | 9 60.0 0.0 |
| 17 17 18 2 | JOINTS | 36 23 10 3 | 10 67.5 0.0 |
| 18 18 19 2 | 1 0.0 0.0 | 37 24 11 3 | 11 75.0 0.0 |
| 19 19 20 2 | 2 8.077 0.0 | 38 25 12 3 | 12 82.5 0.0 |
| 20 20 21 2 | 3 16.154 0.0 | 39 26 13 3 | 13 90.0 0.0 |
| 21 21 22 2 | 4 24.231 0.0 | 40 2 16 4 | 14 97.5 0.0 |
| 22 22 23 2 | 5 32.308 0.0 | 41 3 17 4 | 15 105.0 0.0 |
| 23 23 24 2 | 6 40.385 0.0 | 42 4 18 4 | 16 112.5 0.0 |
| 24 24 13 2 | 7 48.462 0.0 | 43 5 19 4 | 17 120.0 0.0 |
| 25 2 14 3 | 8 56.538 0.0 | 44 6 20 4 | 18 7.5 2.01 |
| 26 3 15 3 | 9 64.615 0.0 | 45 7 21 4 | 19 15.0 4.02 |
| 27 4 16 3 | 10 72.692 0.0 | 46 8 22 4 | 20 22.5 6.03 |
| 28 5 17 3 | 11 80.769 0.0 | 47 9 23 4 | 21 30.0 8.04 |
| 29 6 18 3 | 12 88.846 0.0 | 48 10 24 4 | 22 37.5 10.05 |
| 30 7 19 3 | 13 96.923 0.0 | 49 11 25 4 | 23 45.0 12.06 |
| 31 8 20 3 | 14 105.0 0.0 | 50 12 26 4 | 24 52.5 14.07 |
| 32 9 21 3 | 15 4.038 1.082 | 51 13 27 4 | 25 60.0 16.08 |
| 33 10 22 3 | 16 12.115 3.246 | | 26 67.5 14.07 |
| 34 11 23 3 | 17 20.192 5.41 | RESTRAINT | 27 75.0 12.06 |
| 35 12 24 3 | 18 28.269 7.575 | 1 1 1 | 28 82.5 10.05 |
| 36 2 15 4 | 19 36.346 9.739 | 14 0 1 | 29 90.0 8.04 |
| 37 3 16 4 | 20 44.423 11.903 | | 30 97.5 6.03 |
| 38 4 17 4 | 21 52.5 14.067 | JOINT LOAD | 31 105.0 4.02 |
| 39 5 18 4 | 22 60.577 11.903 | 1 0 -0.77 | 32 112.5 2.01 |
| 40 6 19 4 | 23 68.654 9.739 | 2 0 -0.32 | |
| 41 8 19 4 | 24 76.731 7.575 | 3 0 -0.32 | MATERIAL DATA |
| 42 9 20 4 | 25 84.808 5.41 | 4 0 -0.32 | 1 29000 |
| 43 10 21 4 | 26 92.885 3.246 | 5 0 -0.32 | |

Lampiran input data Atap I berdasarkan berat optimum

```

Elemen
1 1 2 1
2 2 3 1
3 3 4 1
4 4 5 1
5 5 6 1
6 6 7 1
7 7 8 1
8 8 9 1
9 9 10 1
10 10 11 1
11 11 12 1
12 12 13 1
13 13 14 1
14 14 15 1
15 15 16 1
16 16 17 1
17 1 18 2
18 18 19 2
19 19 20 2
20 20 21 2
21 21 22 2
22 22 23 2
23 23 24 2
24 24 25 2
25 25 26 2
26 26 27 2
27 27 28 2
28 28 29 2
29 29 30 2
30 30 31 2
31 31 32 2
32 32 17 2
33 2 18 3
34 3 19 3
35 4 20 3
36 5 21 3
37 6 22 3
38 7 23 3
39 8 24 3
40 9 25 3
41 10 26 3
42 11 27 3
43 12 28 3
44 13 29 3
45 14 30 3
46 15 31 3
47 16 32 3
48 3 18 4
49 4 19 4
50 5 20 4
51 6 21 4
52 7 22 4
53 8 23 4
54 9 24 4
55 9 26 4
56 10 27 4
57 11 28 4
58 12 29 4
59 13 30 4
60 14 31 4
61 15 32 4

RESTRAINT
1 1 1
17 0 1

JOINT LOAD
1 0 -0.79
2 0 -0.36
3 0 -0.36
4 0 -0.36
5 0 -0.36
6 0 -0.36
7 0 -0.36
8 0 -0.36
9 0 -0.36
10 0 -0.36
11 0 -0.36
12 0 -0.36
13 0 -0.36
14 0 -0.36
15 0 -0.36
16 0 -0.36
17 0 -0.79
18 0 -1.22
19 0 -1.22
20 0 -1.22
21 0 -1.22
22 0 -1.22
23 0 -1.22
24 0 -1.22
25 0 -1.22
26 0 -1.22
27 0 -1.22
28 0 -1.22
29 0 -1.22
30 0 -1.22
31 0 -1.22
32 0 -1.22

TRIDIM2D
Howe150-15 Panjang =150
Tinggi =20.1 Chember =0
segment =20

PROPERTIES
40 77 4 2 40 36 0.5

JOINTS
1 0.0 0.0
2 7.5 0.0
3 15.0 0.0
4 22.5 0.0
5 30.0 0.0
6 37.5 0.0
7 45.0 0.0
8 52.5 0.0
9 60.0 0.0
10 67.5 0.0
11 75.0 0.0
12 82.5 0.0
13 90.0 0.0
14 97.5 0.0
15 105.0 0.0
16 112.5 0.0
17 120.0 0.0
18 127.5 0.0
19 135.0 0.0
20 142.5 0.0
21 150.0 0.0
22 7.5 2.01
23 15.0 4.02
24 22.5 6.03
25 30.0 8.04
26 37.5 10.05

27 45.0 12.06
28 52.5 14.07
29 60.0 16.08
30 67.5 18.09
31 75.0 20.1
32 82.5 18.09
33 90.0 16.08
34 97.5 14.07
35 105.0 12.06
36 112.5 10.05
37 120.0 8.04
38 127.5 6.03
39 135.0 4.02
40 142.5 2.01

MATERIAL DATA
1 29000

Elemen
1 1 2 1
2 2 3 1
3 3 4 1
4 4 5 1
5 5 6 1
6 6 7 1
7 7 8 1
8 8 9 1
9 9 10 1
10 10 11 1
11 11 12 1
12 12 13 1
13 13 14 1
14 14 15 1
15 15 16 1
16 16 17 1
17 17 18 1
18 18 19 1
19 19 20 1
20 20 21 1
21 1 22 2
22 22 23 2
23 23 24 2
24 24 25 2
25 25 26 2
26 26 27 2
27 27 28 2
28 28 29 2
29 29 30 2
30 30 31 2
31 31 32 2
32 32 33 2
33 33 34 2
34 34 35 2
35 35 36 2
36 36 37 2
37 37 38 2
38 38 39 2
39 39 40 2
40 40 21 2
41 2 22 3
42 3 23 3
43 4 24 3
44 5 25 3
45 6 26 3
46 7 27 3
47 8 28 3
48 9 29 3
49 10 30 3

50 11 31 3
51 12 32 3
52 13 33 3
53 14 34 3
54 15 35 3
55 16 36 3
56 17 37 3
57 18 38 3
58 19 39 3
59 20 40 3
60 3 22 4
61 4 23 4
62 5 24 4
63 6 25 4
64 7 26 4
65 8 27 4
66 9 28 4
67 10 29 4
68 11 30 4
69 11 32 4
70 12 33 4
71 13 34 4
72 14 35 4
73 15 36 4
74 16 37 4
75 17 38 4
76 18 39 4
77 19 40 4

RESTRAINT
1 1 1
21 0 1

JOINT LOAD
1 0 -0.79
2 0 -0.36
3 0 -0.36
4 0 -0.36
5 0 -0.36
6 0 -0.36
7 0 -0.36
8 0 -0.36
9 0 -0.36
10 0 -0.36
11 0 -0.36
12 0 -0.36
13 0 -0.36
14 0 -0.36
15 0 -0.36
16 0 -0.36
17 0 -0.36
18 0 -0.36
19 0 -0.36
20 0 -0.36
21 0 -0.79
22 0 -1.22
23 0 -1.22
24 0 -1.22
25 0 -1.22
26 0 -1.22
27 0 -1.22
28 0 -1.22
29 0 -1.22
30 0 -1.22
31 0 -1.22
32 0 -1.22
33 0 -1.22
34 0 -1.22

```


Lampiran input data Atap II berdasarkan berat optimum

| | | | |
|--|--|---|---|
| TRIDIM2D Howe45-25 Panjang =45 Tinggi =10.492 Chember =0 segment =6 | TRIDIM2D CWarren60-25 Panjang =60 Tinggi =13.989 Chember =2.625 segment =9 | 35 9 19 4 | 7 7 8 1 8 8 9 1 9 9 10 1 10 10 11 1 11 1 12 2 12 12 13 2 13 13 14 2 14 14 15 2 15 15 16 2 16 16 17 2 17 17 18 2 18 18 19 2 19 19 20 2 20 20 11 2 21 2 12 3 22 3 13 3 23 4 14 3 24 5 15 3 25 6 16 3 26 7 17 3 27 8 18 3 28 9 19 3 29 10 20 3 30 3 12 4 31 4 13 4 32 5 14 4 33 6 15 4 34 6 17 4 35 7 18 4 36 8 19 4 37 9 20 4 |
| PROPERTIES 12 21 4 2 12 36 0.5 | PROPERTIES 19 35 4 2 19 36 0.5 | RESTRAINT 1 1 1 10 0 1 | |
| JOINTS 1 0.0 0.0 2 7.5 0.0 3 15.0 0.0 4 22.5 0.0 5 30.0 0.0 6 37.5 0.0 7 45.0 0.0 8 7.5 3.497 9 15.0 6.995 10 22.5 10.492 11 30.0 6.995 12 37.5 3.497 | JOINTS 1 0.0 0.0 2 6.667 0.583 3 13.333 1.167 4 20.0 1.75 5 26.667 2.333 6 33.333 2.333 7 40.0 1.75 8 46.667 1.167 9 53.333 0.583 10 60.0 0.0 11 3.333 1.554 12 10.0 4.663 13 16.667 7.772 14 23.333 10.88 15 30.0 13.989 16 36.667 10.88 17 43.333 7.772 18 50.0 4.663 19 56.667 1.554 | JOINT LOAD 1 0.035 -0.906 2 0 -0.32 3 0 -0.32 4 0 -0.32 5 0 -0.32 6 0 -0.32 7 0 -0.32 8 0 -0.32 9 0 -0.32 10 0.14 -0.759 11 0.035 -1.526 12 0.07 -1.783 13 0.07 -1.783 14 0.07 -1.783 15 0.35 -1.652 16 0.028 -1.619 17 0.028 -1.619 18 0.028 -1.619 19 0.14 -1.379 | |
| MATERIAL DATA 1 29000 | MATERIAL DATA 1 29000 | TRIDIM2D CHowe75-25 Panjang =75 Tinggi =17.486 Chember =3.281 segment =10 | |
| Elemen 1 1 2 1 2 2 3 1 3 3 4 1 4 4 5 1 5 5 6 1 6 6 7 1 7 1 8 2 8 8 9 2 9 9 10 2 10 10 11 2 11 11 12 2 12 12 7 2 13 2 8 3 14 3 9 3 15 4 10 3 16 5 11 3 17 6 12 3 18 3 8 4 19 4 9 4 20 4 11 4 21 5 12 4 | Elemen 1 1 2 1 2 2 3 1 3 3 4 1 4 4 5 1 5 5 6 1 6 6 7 1 7 7 8 1 8 8 9 1 9 9 10 1 10 1 11 2 11 11 12 2 12 12 13 2 13 13 14 2 14 14 15 2 15 15 16 2 16 16 17 2 17 17 18 2 18 18 19 2 19 19 10 2 20 11 2 3 21 12 3 3 22 13 4 3 23 14 5 3 24 15 6 3 25 16 7 3 26 17 8 3 27 18 9 3 28 2 12 4 29 3 13 4 30 4 14 4 31 5 15 4 32 6 16 4 33 7 17 4 34 8 18 4 | PROPERTIES 20 37 4 2 20 36 0.5 | RESTRAINT 1 1 1 11 0 1 |
| RESTRAINT 1 1 1 7 0 1 | | JOINTS 1 0.0 0.0 2 7.5 0.656 3 15.0 1.312 4 22.5 1.969 5 30.0 2.625 6 37.5 3.281 7 45.0 2.625 8 52.5 1.969 9 60.0 1.312 10 67.5 0.656 11 75.0 0.0 12 7.5 3.497 13 15.0 6.994 14 22.5 10.492 15 30.0 13.989 16 37.5 17.486 17 45.0 13.989 18 52.5 10.492 19 60.0 6.994 20 67.5 3.497 | JOINT LOAD 1 0.08 -1.19 2 0 -0.36 3 0 -0.36 4 0 -0.36 5 0 -0.36 6 0 -0.36 7 0.316 -1.003 8 0.08 -1.98 9 0.08 -1.98 10 0.396 -1.833 11 0.316 -1.793 12 0.316 -1.793 |
| JOINT LOAD 1 0.08 -1.19 2 0 -0.36 3 0 -0.36 4 0 -0.36 5 0 -0.36 6 0 -0.36 7 0.316 -1.003 8 0.08 -1.98 9 0.08 -1.98 10 0.396 -1.833 11 0.316 -1.793 12 0.316 -1.793 | | MATERIAL DATA 1 29000 | |
| | | Elemen 1 1 2 1 2 2 3 1 3 3 4 1 4 4 5 1 5 5 6 1 6 6 7 1 | TRIDIM2D CHowe90-25 Panjang =90 Tinggi =20.984 Chember =3.937 segment =12 |
| | | | PROPERTIES 24 45 4 2 24 36 0.5 |
| | | | JOINTS |

Lampiran input data Atap II berdasarkan berat optimum

```

1 0.0 0.0
2 7.5 0.656
3 15.0 1.312
4 22.5 1.969
5 30.0 2.625
6 37.5 3.281
7 45.0 3.937
8 52.5 3.281
9 60.0 2.625
10 67.5 1.969
11 75.0 1.312
12 82.5 0.656
13 90.0 0.0
14 7.5 3.497
15 15.0 6.995
16 22.5 10.492
17 30.0 13.989
18 37.5 17.487
19 45.0 20.984
20 52.5 17.487
21 60.0 13.989
22 67.5 10.492
23 75.0 6.995
24 82.5 3.497

MATERIAL DATA
1 29000

Elemen
1 1 2 1
2 2 3 1
3 3 4 1
4 4 5 1
5 5 6 1
6 6 7 1
7 7 8 1
8 8 9 1
9 9 10 1
10 10 11 1
11 11 12 1
12 12 13 1
13 1 14 2
14 14 15 2
15 15 16 2
16 16 17 2
17 17 18 2
18 18 19 2
19 19 20 2
20 20 21 2
21 21 22 2
22 22 23 2
23 23 24 2
24 24 13 2
25 2 14 3
26 3 15 3
27 4 16 3
28 5 17 3
29 6 18 3
30 7 19 3
31 8 20 3
32 9 21 3
33 10 22 3
34 11 23 3
35 12 24 3
36 3 14 4
37 4 15 4
38 5 16 4
39 6 17 4

40 7 18 4
41 7 20 4
42 8 21 4
43 9 22 4
44 10 23 4
45 11 24 4

RESTRAINT
1 1 1
13 0 1

JOINT LOAD
1 0.08 -1.19
2 0 -0.36
3 0 -0.36
4 0 -0.36
5 0 -0.36
6 0 -0.36
7 0 -0.36
8 0 -0.36
9 0 -0.36
10 0 -0.36
11 0 -0.36
12 0 -0.36
13 0.316 -1.003
14 0.08 -1.98
15 0.08 -1.98
16 0.08 -1.98
17 0.08 -1.98
18 0.08 -1.98
19 0.396 -1.833
20 0.316 -1.793
21 0.316 -1.793
22 0.316 -1.793
23 0.316 -1.793
24 0.316 -1.793

TRIDIM2D
CHowe105-25 Panjang
=105 Tinggi =24.248
Chember =4.593
segment =14

PROPERTIES
28 53 4 2 28 36 0.5

JOINTS
1 0.0 0.0
2 7.5 0.656
3 15.0 1.312
4 22.5 1.968
5 30.0 2.625
6 37.5 3.281
7 45.0 3.937
8 52.5 4.593
9 60.0 3.937
10 67.5 3.281
11 75.0 2.625
12 82.5 1.968
13 90.0 1.312
14 97.5 0.656
15 105.0 0.0
16 7.5 3.464
17 15.0 6.928
18 22.5 10.392
19 30.0 13.856
20 37.5 17.32
21 45.0 20.784

22 52.5 24.248
23 60.0 20.784
24 67.5 17.32
25 75.0 13.856
26 82.5 10.392
27 90.0 6.928
28 97.5 3.464

MATERIAL DATA
1 29000

Elemen
1 1 2 1
2 2 3 1
3 3 4 1
4 4 5 1
5 5 6 1
6 6 7 1
7 7 8 1
8 8 9 1
9 9 10 1
10 10 11 1
11 11 12 1
12 12 13 1
13 13 14 1
14 14 15 1
15 1 16 2
16 16 17 2
17 17 18 2
18 18 19 2
19 19 20 2
20 20 21 2
21 21 22 2
22 22 23 2
23 23 24 2
24 24 25 2
25 25 26 2
26 26 27 2
27 27 28 2
28 28 15 2
29 2 16 3
30 3 17 3
31 4 18 3
32 5 19 3
33 6 20 3
34 7 21 3
35 8 22 3
36 9 23 3
37 10 24 3
38 11 25 3
39 12 26 3
40 13 27 3
41 14 28 3
42 3 16 4
43 4 17 4
44 5 18 4
45 6 19 4
46 7 20 4
47 8 21 4
48 8 23 4
49 9 24 4
50 10 25 4
51 11 26 4
52 12 27 4
53 13 28 4

RESTRAINT
1 1 1

15 0 1

JOINT LOAD
1 0.08 -1.19
2 0 -0.36
3 0 -0.36
4 0 -0.36
5 0 -0.36
6 0 -0.36
7 0 -0.36
8 0 -0.36
9 0 -0.36
10 0 -0.36
11 0 -0.36
12 0 -0.36
13 0 -0.36
14 0 -0.36
15 0.316 -1.003
16 0.08 -1.98
17 0.08 -1.98
18 0.08 -1.98
19 0.08 -1.98
20 0.08 -1.98
21 0.08 -1.98
22 0.396 -1.833
23 0.316 -1.793
24 0.316 -1.793
25 0.316 -1.793
26 0.316 -1.793
27 0.316 -1.793
28 0.316 -1.793

TRIDIM2D
CHowe120-25 Panjang
=120 Tinggi =27.978
Chember =5.249
segment =16

PROPERTIES
32 61 4 2 32 36 0.5

JOINTS
1 0.0 0.0
2 7.5 0.656
3 15.0 1.312
4 22.5 1.968
5 30.0 2.625
6 37.5 3.281
7 45.0 3.937
8 52.5 4.593
9 60.0 5.249
10 67.5 4.593
11 75.0 3.937
12 82.5 3.281
13 90.0 2.625
14 97.5 1.968
15 105.0 1.312
16 112.5 0.656
17 120.0 0.0
18 7.5 3.497
19 15.0 6.995
20 22.5 10.492
21 30.0 13.989
22 37.5 17.486
23 45.0 20.984
24 52.5 24.481
25 60.0 27.978
26 67.5 24.481

```

Lampiran input data Atap II berdasarkan berat optimum

| | | | |
|----------------|---------------------|-----------------|-----------------|
| 27 75.0 20.984 | 58 12 29 4 | 16 112.5 3.281 | 39 39 40 2 |
| 28 82.5 17.486 | 59 13 30 4 | 17 120.0 2.625 | 40 40 21 2 |
| 29 90.0 13.989 | 60 14 31 4 | 18 127.5 1.969 | 41 2 22 3 |
| 30 97.5 10.492 | 61 15 32 4 | 19 135.0 1.312 | 42 3 23 3 |
| 31 105.0 6.995 | | 20 142.5 0.656 | 43 4 24 3 |
| 32 112.5 3.497 | RESTRAINT | 21 150.0 0.0 | 44 5 25 3 |
| | 1 1 1 | 22 7.5 3.497 | 45 6 26 3 |
| MATERIAL DATA | 17 0 1 | 23 15.0 6.995 | 46 7 27 3 |
| 1 29000 | | 24 22.5 10.492 | 47 8 28 3 |
| | JOINT LOAD | 25 30.0 13.989 | 48 9 29 3 |
| Elemen | 1 0.08 -1.19 | 26 37.5 17.486 | 49 10 30 3 |
| 1 1 2 1 | 2 0 -0.36 | 27 45.0 20.984 | 50 11 31 3 |
| 2 2 3 1 | 3 0 -0.36 | 28 52.5 24.481 | 51 12 32 3 |
| 3 3 4 1 | 4 0 -0.36 | 29 60.0 27.978 | 52 13 33 3 |
| 4 4 5 1 | 5 0 -0.36 | 30 67.5 31.476 | 53 14 34 3 |
| 5 5 6 1 | 6 0 -0.36 | 31 75.0 34.973 | 54 15 35 3 |
| 6 6 7 1 | 7 0 -0.36 | 32 82.5 31.476 | 55 16 36 3 |
| 7 7 8 1 | 8 0 -0.36 | 33 90.0 27.978 | 56 17 37 3 |
| 8 8 9 1 | 9 0 -0.36 | 34 97.5 24.481 | 57 18 38 3 |
| 9 9 10 1 | 10 0 -0.36 | 35 105.0 20.984 | 58 19 39 3 |
| 10 10 11 1 | 11 0 -0.36 | 36 112.5 17.486 | 59 20 40 3 |
| 11 11 12 1 | 12 0 -0.36 | 37 120.0 13.989 | 60 3 22 4 |
| 12 12 13 1 | 13 0 -0.36 | 38 127.5 10.492 | 61 4 23 4 |
| 13 13 14 1 | 14 0 -0.36 | 39 135.0 6.995 | 62 5 24 4 |
| 14 14 15 1 | 15 0 -0.36 | 40 142.5 3.497 | 63 6 25 4 |
| 15 15 16 1 | 16 0 -0.36 | | 64 7 26 4 |
| 16 16 17 1 | 17 0.316 -1.003 | MATERIAL DATA | 65 8 27 4 |
| 17 1 18 2 | 18 0.08 -1.98 | 1 29000 | 66 9 28 4 |
| 18 18 19 2 | 19 0.08 -1.98 | | 67 10 29 4 |
| 19 19 20 2 | 20 0.08 -1.98 | Elemen | 68 11 30 4 |
| 20 20 21 2 | 21 0.08 -1.98 | 1 1 2 1 | 69 11 32 4 |
| 21 21 22 2 | 22 0.08 -1.98 | 2 2 3 1 | 70 12 33 4 |
| 22 22 23 2 | 23 0.08 -1.98 | 3 3 4 1 | 71 13 34 4 |
| 23 23 24 2 | 24 0.08 -1.98 | 4 4 5 1 | 72 14 35 4 |
| 24 24 25 2 | 25 0.396 -1.833 | 5 5 6 1 | 73 15 36 4 |
| 25 25 26 2 | 26 0.316 -1.793 | 6 6 7 1 | 74 16 37 4 |
| 26 26 27 2 | 27 0.316 -1.793 | 7 7 8 1 | 75 17 38 4 |
| 27 27 28 2 | 28 0.316 -1.793 | 8 8 9 1 | 76 18 39 4 |
| 28 28 29 2 | 29 0.316 -1.793 | 9 9 10 1 | 77 19 40 4 |
| 29 29 30 2 | 30 0.316 -1.793 | 10 10 11 1 | |
| 30 30 31 2 | 31 0.316 -1.793 | 11 11 12 1 | RESTRAINT |
| 31 31 32 2 | 32 0.316 -1.793 | 12 12 13 1 | 1 1 1 |
| 32 32 17 2 | | 13 13 14 1 | 21 0 1 |
| 33 2 18 3 | TRIDIM2D | 14 14 15 1 | |
| 34 3 19 3 | CHowe150-25 Panjang | 15 15 16 1 | JOINT LOAD |
| 35 4 20 3 | =150 Tinggi =34.973 | 16 16 17 1 | 1 0.08 -1.19 |
| 36 5 21 3 | Chember =6.562 | 17 17 18 1 | 2 0 -0.36 |
| 37 6 22 3 | segment =20 | 18 18 19 1 | 3 0 -0.36 |
| 38 7 23 3 | | 19 19 20 1 | 4 0 -0.36 |
| 39 8 24 3 | PROPERTIES | 20 20 21 1 | 5 0 -0.36 |
| 40 9 25 3 | 40 77 4 2 40 36 0.5 | 21 1 22 2 | 6 0 -0.36 |
| 41 10 26 3 | | 22 22 23 2 | 7 0 -0.36 |
| 42 11 27 3 | JOINTS | 23 23 24 2 | 8 0 -0.36 |
| 43 12 28 3 | 1 0.0 0.0 | 24 24 25 2 | 9 0 -0.36 |
| 44 13 29 3 | 2 7.5 0.656 | 25 25 26 2 | 10 0 -0.36 |
| 45 14 30 3 | 3 15.0 1.312 | 26 26 27 2 | 11 0 -0.36 |
| 46 15 31 3 | 4 22.5 1.969 | 27 27 28 2 | 12 0 -0.36 |
| 47 16 32 3 | 5 30.0 2.625 | 28 28 29 2 | 13 0 -0.36 |
| 48 3 18 4 | 6 37.5 3.281 | 29 29 30 2 | 14 0 -0.36 |
| 49 4 19 4 | 7 45.0 3.937 | 30 30 31 2 | 15 0 -0.36 |
| 50 5 20 4 | 8 52.5 4.593 | 31 31 32 2 | 16 0 -0.36 |
| 51 6 21 4 | 9 60.0 5.25 | 32 32 33 2 | 17 0 -0.36 |
| 52 7 22 4 | 10 67.5 5.906 | 33 33 34 2 | 18 0 -0.36 |
| 53 8 23 4 | 11 75.0 6.562 | 34 34 35 2 | 19 0 -0.36 |
| 54 9 24 4 | 12 82.5 5.906 | 35 35 36 2 | 20 0 -0.36 |
| 55 9 26 4 | 13 90.0 5.25 | 36 36 37 2 | 21 0.316 -1.003 |
| 56 10 27 4 | 14 97.5 4.593 | 37 37 38 2 | 22 0.08 -1.98 |
| 57 11 28 4 | 15 105.0 3.937 | 38 38 39 2 | 23 0.08 -1.98 |

Lampiran input data Atap II berdasarkan berat optimum

24 0.08 -1.98
25 0.08 -1.98
26 0.08 -1.98
27 0.08 -1.98
28 0.08 -1.98
29 0.08 -1.98
30 0.08 -1.98
31 0.396 -1.833
32 0.316 -1.793
33 0.316 -1.793
34 0.316 -1.793
35 0.316 -1.793
36 0.316 -1.793
37 0.316 -1.793
38 0.316 -1.793
39 0.316 -1.793
40 0.316 -1.793

Lampiran output data Atap I berdasarkan berat optimum

TRIDIM2D
Howe45-15

JOINT DISPLACEMENTS

| JOINT | X-DISP | Y-DISP |
|-------|----------|-----------|
| 1 | 0.00E+00 | 0.00E+00 |
| 2 | 4.23E-03 | -5.74E-02 |
| 3 | 8.45E-03 | -6.93E-02 |
| 4 | 1.18E-02 | -6.99E-02 |
| 5 | 1.52E-02 | -6.93E-02 |
| 6 | 1.95E-02 | -5.74E-02 |
| 7 | 2.37E-02 | 0.00E+00 |
| 8 | 1.26E-02 | -5.74E-02 |
| 9 | 1.35E-02 | -6.91E-02 |
| 10 | 1.18E-02 | -6.91E-02 |
| 11 | 1.02E-02 | -6.91E-02 |
| 12 | 1.11E-02 | -5.74E-02 |

MEMBER FORCE (TENSION POSITIVE)

| MEMBER | FORCE | LENGTH | KL/r |
|--------|-----------|--------|----------|
| 1 1 | 15.6876 | 7.50 | 143.77 |
| 2 1 | 15.6876 | 7.50 | 143.77 |
| 3 1 | 12.57304 | 7.50 | 143.77 |
| 4 1 | 12.57307 | 7.50 | 143.77 |
| 5 1 | 15.68774 | 7.50 | 143.77 |
| 6 1 | 15.68773 | 7.50 | 143.77 |
| 7 2 | -16.24067 | 7.76 | 117.4942 |
| 8 2 | -13.01674 | 7.76 | 117.4982 |
| 9 2 | -9.7702 | 7.76 | 117.4942 |
| 10 2 | -9.7702 | 7.76 | 117.4942 |
| 11 2 | -13.01679 | 7.76 | 117.4982 |
| 12 2 | -16.24081 | 7.76 | 117.4942 |
| 13 3 | 0.38806 | 2.01 | 38.51118 |
| 14 3 | 1.23845 | 4.02 | 77.04153 |
| 15 3 | 3.78332 | 6.03 | 115.5527 |
| 16 3 | 1.23856 | 4.02 | 77.04153 |
| 17 3 | 0.38806 | 2.01 | 38.51118 |
| 18 4 | -3.22437 | 7.76 | 148.8385 |
| 19 4 | -3.55738 | 8.51 | 163.111 |
| 20 4 | -3.55744 | 8.51 | 163.111 |
| 21 4 | -3.22447 | 7.76 | 148.8385 |

REACTIONS

| JOINT | RX | RY |
|-------|--------|--------|
| 1 | 0.0000 | 5.0259 |
| 7 | 0.0000 | 5.0260 |

Number Material : 1 2L 2x2x1/8
 Number Material : 2 2L 2x2.5x3/16
 Number Material : 3 2L 2x2x1/8
 Number Material : 4 2L 2x2x1/8

Total weight compression : 363.6326 lb
 Total weight Tension : 298.1772 lb
 Total weight for all : 571.8098 lb

TRIDIM2D
Howe60-15

JOINT DISPLACEMENTS

| JOINT | X-DISP | Y-DISP |
|-------|----------|-----------|
| 1 | 0.00E+00 | 0.00E+00 |
| 2 | 4.02E-03 | -6.78E-02 |
| 3 | 8.05E-03 | -8.88E-02 |
| 4 | 1.15E-02 | -9.68E-02 |
| 5 | 1.44E-02 | -9.70E-02 |
| 6 | 1.73E-02 | -9.68E-02 |
| 7 | 2.07E-02 | -8.88E-02 |

| | | |
|----|----------|-----------|
| 8 | 2.48E-02 | -6.78E-02 |
| 9 | 2.88E-02 | 0.00E+00 |
| 10 | 1.46E-02 | -6.78E-02 |
| 11 | 1.72E-02 | -8.86E-02 |
| 12 | 1.67E-02 | -9.64E-02 |
| 13 | 1.44E-02 | -9.54E-02 |
| 14 | 1.21E-02 | -9.64E-02 |
| 15 | 1.16E-02 | -8.86E-02 |
| 16 | 1.42E-02 | -6.78E-02 |

MEMBER FORCE (TENSION POSITIVE)

| MEMBER | FORCE | LENGTH | KL/r |
|--------|-----------|--------|----------|
| 1 1 | 22.25188 | 7.50 | 145.8671 |
| 2 1 | 22.25188 | 7.50 | 145.8671 |
| 3 1 | 19.11646 | 7.50 | 145.8671 |
| 4 1 | 15.94342 | 7.50 | 145.8671 |
| 5 1 | 15.94332 | 7.50 | 145.8671 |
| 6 1 | 19.11015 | 7.50 | 145.8671 |
| 7 1 | 22.25146 | 7.50 | 145.8671 |
| 8 1 | 22.25154 | 7.50 | 145.8671 |
| 9 2 | -23.03708 | 7.76 | 96.45552 |
| 10 2 | -19.78485 | 7.76 | 96.45552 |
| 11 2 | -16.5061 | 7.76 | 96.45552 |
| 12 2 | -13.21131 | 7.76 | 96.45552 |
| 13 2 | -13.2113 | 7.76 | 96.45552 |
| 14 2 | -16.50592 | 7.76 | 96.45552 |
| 15 2 | -19.78452 | 7.76 | 96.45552 |
| 16 2 | -23.03677 | 7.76 | 96.45552 |
| 17 3 | 0.39988 | 2.01 | 38.53035 |
| 18 3 | 1.25796 | 4.02 | 77.0607 |
| 19 3 | 2.11813 | 6.03 | 115.5911 |
| 20 3 | 5.55897 | 8.04 | 154.1214 |
| 21 3 | 2.11803 | 6.03 | 115.5911 |
| 22 3 | 1.25786 | 4.02 | 77.0607 |
| 23 3 | 0.39988 | 2.01 | 38.53035 |
| 24 4 | -3.25226 | 7.76 | 148.8435 |
| 25 4 | -3.59328 | 8.51 | 163.1201 |
| 26 4 | -4.08348 | 9.62 | 184.4752 |
| 27 4 | -4.08337 | 9.62 | 184.4752 |
| 28 4 | -3.59307 | 8.51 | 163.1201 |
| 29 4 | -3.25226 | 7.76 | 148.8435 |

REACTIONS

| JOINT | RX | RY |
|-------|--------|--------|
| 1 | 0.0000 | 6.7956 |
| 9 | 0.0000 | 6.7955 |

Number Material : 1 2L 2x2x3/16
 Number Material : 2 2L 2x3x3/16
 Number Material : 3 2L 2x2x1/8
 Number Material : 4 2L 2x2x1/8

Total weight compression : 552.3245 lb
 Total weight Tension : 398.928 lb
 Total weight for all : 951.2525 lb

TRIDIM2D
Warren75-15

JOINT DISPLACEMENTS

| JOINT | X-DISP | Y-DISP |
|-------|----------|-----------|
| 1 | 0.00E+00 | 0.00E+00 |
| 2 | 4.98E-03 | -7.80E-02 |
| 3 | 7.74E-03 | -1.11E-01 |
| 4 | 1.10E-02 | -1.28E-01 |
| 5 | 1.39E-02 | -1.37E-01 |
| 6 | 1.64E-02 | -1.38E-01 |
| 7 | 1.85E-02 | -1.38E-01 |
| 8 | 2.10E-02 | -1.37E-01 |

| | | |
|----|----------|-----------|
| 9 | 2.39E-02 | -1.28E-01 |
| 10 | 2.72E-02 | -1.11E-01 |
| 11 | 3.08E-02 | -7.80E-02 |
| 12 | 3.49E-02 | 0.00E+00 |
| 13 | 1.15E-02 | -5.13E-02 |
| 14 | 1.94E-02 | -9.66E-02 |
| 15 | 2.20E-02 | -1.21E-01 |
| 16 | 2.20E-02 | -1.33E-01 |
| 17 | 2.03E-02 | -1.38E-01 |
| 18 | 1.75E-02 | -1.37E-01 |
| 19 | 1.46E-02 | -1.38E-01 |
| 20 | 1.29E-02 | -1.33E-01 |
| 21 | 1.29E-02 | -1.21E-01 |
| 22 | 1.55E-02 | -9.66E-02 |
| 23 | 2.34E-02 | -5.13E-02 |

MEMBER FORCE (TENSION POSITIVE)

| MEMBER | FORCE | LENGTH | KL/r |
|--------|-----------|--------|----------|
| 1 1 | 31.23799 | 6.82 | 105.162 |
| 2 1 | 28.00233 | 6.82 | 105.162 |
| 3 1 | 25.03499 | 6.82 | 105.1774 |
| 4 1 | 22.09743 | 6.82 | 105.162 |
| 5 1 | 19.16059 | 6.82 | 105.1619 |
| 6 1 | 16.21697 | 6.82 | 105.162 |
| 7 1 | 19.16065 | 6.82 | 105.162 |
| 8 1 | 22.09771 | 6.82 | 105.1619 |
| 9 1 | 25.03537 | 6.82 | 105.1774 |
| 10 1 | 28.00309 | 6.82 | 105.162 |
| 11 1 | 31.23869 | 6.82 | 105.162 |
| 12 2 | -32.33922 | 3.53 | 43.84029 |
| 13 2 | -30.19001 | 7.06 | 87.68379 |
| 14 2 | -27.25322 | 7.06 | 87.68378 |
| 15 2 | -24.26725 | 7.06 | 87.69579 |
| 16 2 | -21.26061 | 7.06 | 87.68378 |
| 17 2 | -18.23655 | 7.06 | 87.68379 |
| 18 2 | -18.23663 | 7.06 | 87.68379 |
| 19 2 | -21.26074 | 7.06 | 87.68379 |
| 20 2 | -24.26744 | 7.06 | 87.69579 |
| 21 2 | -27.2535 | 7.06 | 87.68379 |
| 22 2 | -30.19027 | 7.06 | 87.68379 |
| 23 2 | -32.33961 | 3.53 | 43.84024 |
| 24 3 | -2.1503 | 3.53 | 67.65131 |
| 25 3 | -2.15291 | 4.37 | 83.84007 |
| 26 3 | -2.66533 | 5.70 | 109.2578 |
| 27 3 | -3.31881 | 7.25 | 138.901 |
| 28 3 | -4.03475 | 8.90 | 170.6029 |
| 29 3 | 4.35188 | 10.61 | 203.397 |
| 30 3 | 3.59109 | 8.90 | 170.6029 |
| 31 3 | 2.85464 | 7.25 | 138.9009 |
| 32 3 | 2.15548 | 5.70 | 109.2462 |
| 33 3 | 1.48637 | 4.37 | 83.84003 |
| 34 4 | 1.48639 | 4.37 | 83.84009 |
| 35 4 | 2.15532 | 5.70 | 109.2463 |
| 36 4 | 2.85449 | 7.25 | 138.901 |
| 37 4 | 3.59086 | 8.90 | 170.6028 |
| 38 4 | 4.3518 | 10.61 | 203.397 |
| 39 4 | -4.03488 | 8.90 | 170.6029 |
| 40 4 | -3.31907 | 7.25 | 138.901 |
| 41 4 | -2.6654 | 5.70 | 109.2578 |
| 42 4 | -2.15307 | 4.37 | 83.84015 |
| 43 4 | -2.15027 | 3.53 | 67.65138 |

REACTIONS

| JOINT | RX | RY |
|-------|--------|--------|
| 1 | 0.0003 | 9.1680 |
| 12 | 0.0000 | 9.1681 |

Number Material : 1 2L 2.5x2.5x3/16

Lampiran output data Atap I berdasarkan berat optimum

Number Material : 2 2L 2x3x3/16
 Number Material : 3 2L 2x2x1/8
 Number Material : 4 2L 2x2x1/8
 Total weight compression : 673.0825 lb
 Total weight Tension : 703.5713 lb
 Total weight for all : 1376.654 lb

TRIDIM2D

Pratt90-15

JOINT DISPLACEMENTS

| JOINT | X-DISP | Y-DISP |
|-------|----------|-----------|
| 1 | 0.00E+00 | 0.00E+00 |
| 2 | 4.73E-03 | -8.53E-02 |
| 3 | 9.04E-03 | -1.21E-01 |
| 4 | 1.29E-02 | -1.41E-01 |
| 5 | 1.64E-02 | -1.51E-01 |
| 6 | 1.94E-02 | -1.53E-01 |
| 7 | 2.20E-02 | -1.51E-01 |
| 8 | 2.46E-02 | -1.53E-01 |
| 9 | 2.76E-02 | -1.51E-01 |
| 10 | 3.11E-02 | -1.41E-01 |
| 11 | 3.50E-02 | -1.21E-01 |
| 12 | 3.93E-02 | -8.53E-02 |
| 13 | 4.40E-02 | 0.00E+00 |
| 14 | 1.93E-02 | -8.54E-02 |
| 15 | 2.52E-02 | -1.21E-01 |
| 16 | 2.74E-02 | -1.42E-01 |
| 17 | 2.71E-02 | -1.52E-01 |
| 18 | 2.52E-02 | -1.54E-01 |
| 19 | 2.20E-02 | -1.51E-01 |
| 20 | 1.88E-02 | -1.54E-01 |
| 21 | 1.69E-02 | -1.52E-01 |
| 22 | 1.66E-02 | -1.42E-01 |
| 23 | 1.88E-02 | -1.21E-01 |
| 24 | 2.47E-02 | -8.54E-02 |

MEMBER FORCE (TENSION POSITIVE)

| MEMBER | FORCE | LENGTH | KL/r |
|--------|-----------|--------|----------|
| 1 | 36.3766 | 7.50 | 94.33962 |
| 2 | 33.14763 | 7.50 | 94.33962 |
| 3 | 29.88675 | 7.50 | 94.33962 |
| 4 | 26.60485 | 7.50 | 94.33962 |
| 5 | 23.30362 | 7.50 | 94.33962 |
| 6 | 19.98332 | 7.50 | 94.33962 |
| 7 | 19.98335 | 7.50 | 94.33962 |
| 8 | 23.30359 | 7.50 | 94.33962 |
| 9 | 26.60475 | 7.50 | 94.33962 |
| 10 | 29.88648 | 7.50 | 94.33962 |
| 11 | 33.1473 | 7.50 | 94.33962 |
| 12 | 36.37617 | 7.50 | 94.33962 |
| 13 | -37.66063 | 7.76 | 83.19289 |
| 14 | -37.66064 | 7.76 | 83.19289 |
| 15 | -34.31762 | 7.76 | 83.19289 |
| 16 | -30.94129 | 7.76 | 83.19289 |
| 17 | -27.54356 | 7.76 | 83.19289 |
| 18 | -24.12576 | 7.76 | 83.19289 |
| 19 | -24.12562 | 7.76 | 83.19289 |
| 20 | -27.54326 | 7.76 | 83.19289 |
| 21 | -30.94088 | 7.76 | 83.19289 |
| 22 | -34.31691 | 7.76 | 83.19289 |
| 23 | -37.6599 | 7.76 | 83.19289 |
| 24 | -37.65992 | 7.76 | 83.19289 |
| 25 | -1.30108 | 2.01 | 39.09238 |
| 26 | -2.18535 | 4.02 | 78.18477 |
| 27 | -3.07459 | 6.03 | 117.2772 |
| 28 | -3.97257 | 8.04 | 156.3695 |
| 29 | -4.88015 | 10.05 | 195.4619 |

| | | | | |
|----|---|----------|-------|----------|
| 30 | 3 | 0.4402 | 12.06 | 234.5543 |
| 31 | 3 | -4.88015 | 10.05 | 195.4619 |
| 32 | 3 | -3.97241 | 8.04 | 156.3695 |
| 33 | 3 | -3.07438 | 6.03 | 117.2772 |
| 34 | 3 | -2.1852 | 4.02 | 78.18477 |
| 35 | 3 | -1.30093 | 2.01 | 39.09238 |
| 36 | 4 | 3.66356 | 8.51 | 163.1201 |
| 37 | 4 | 4.18414 | 9.62 | 184.4752 |
| 38 | 4 | 4.81124 | 11.00 | 210.7682 |
| 39 | 4 | 5.51968 | 12.54 | 240.3841 |
| 40 | 4 | 6.28722 | 14.20 | 272.2407 |
| 41 | 4 | 6.28715 | 14.20 | 272.2407 |
| 42 | 4 | 5.51951 | 12.54 | 240.3841 |
| 43 | 4 | 4.81113 | 11.00 | 210.7682 |
| 44 | 4 | 4.18402 | 9.62 | 184.4752 |
| 45 | 4 | 3.6635 | 8.51 | 163.1201 |

REACTIONS

| JOINT | RX | RY |
|-------|--------|---------|
| 1 | 0.0003 | 10.6024 |
| 13 | 0.0000 | 10.6023 |

Number Material : 1 2L 2.5x3x3/16
 Number Material : 2 2L 2.5x3.5x1/4
 Number Material : 3 2L 2x2x3/16
 Number Material : 4 2L 2x2x1/8
 Total weight compression : 1207.389 lb
 Total weight Tension : 1036.894 lb
 Total weight for all : 2244.283 lb

TRIDIM2D

Warren105-15

JOINT DISPLACEMENTS

| JOINT | X-DISP | Y-DISP |
|-------|----------|-----------|
| 1 | 0.00E+00 | 0.00E+00 |
| 2 | 5.13E-03 | -9.80E-02 |
| 3 | 9.83E-03 | -1.43E-01 |
| 4 | 1.41E-02 | -1.69E-01 |
| 5 | 1.89E-02 | -1.85E-01 |
| 6 | 2.15E-02 | -1.92E-01 |
| 7 | 2.46E-02 | -1.94E-01 |
| 8 | 2.72E-02 | -1.94E-01 |
| 9 | 3.03E-02 | -1.92E-01 |
| 10 | 3.38E-02 | -1.85E-01 |
| 11 | 3.77E-02 | -1.69E-01 |
| 12 | 4.20E-02 | -1.43E-01 |
| 13 | 4.67E-02 | -9.80E-02 |
| 14 | 5.18E-02 | 0.00E+00 |
| 15 | 1.45E-02 | -6.37E-02 |
| 16 | 2.57E-02 | -1.23E-01 |
| 17 | 3.04E-02 | -1.58E-01 |
| 18 | 3.19E-02 | -1.78E-01 |
| 19 | 3.12E-02 | -1.89E-01 |
| 20 | 2.91E-02 | -1.94E-01 |
| 21 | 2.59E-02 | -1.92E-01 |
| 22 | 2.27E-02 | -1.94E-01 |
| 23 | 2.06E-02 | -1.89E-01 |
| 24 | 2.00E-02 | -1.78E-01 |
| 25 | 2.14E-02 | -1.58E-01 |
| 26 | 2.62E-02 | -1.23E-01 |
| 27 | 3.73E-02 | -6.37E-02 |

MEMBER FORCE (TENSION POSITIVE)

| MEMBER | FORCE | LENGTH | KL/r |
|--------|----------|--------|---------|
| 1 | 39.23392 | 8.08 | 163.723 |
| 2 | 35.91513 | 8.08 | 163.723 |
| 3 | 32.8256 | 8.08 | 163.723 |

| | | | | |
|----|---|-----------|-------|----------|
| 4 | 1 | 29.74692 | 8.08 | 163.7229 |
| 5 | 1 | 26.66172 | 8.08 | 163.723 |
| 6 | 1 | 23.55617 | 8.08 | 163.7231 |
| 7 | 1 | 20.42715 | 8.08 | 163.7026 |
| 8 | 1 | 23.55671 | 8.08 | 163.723 |
| 9 | 1 | 26.66235 | 8.08 | 163.7231 |
| 10 | 1 | 29.74772 | 8.08 | 163.7229 |
| 11 | 1 | 32.82632 | 8.08 | 163.7231 |
| 12 | 1 | 35.91577 | 8.08 | 163.7229 |
| 13 | 1 | 39.23455 | 8.08 | 163.7231 |
| 14 | 2 | -40.61808 | 4.18 | 52.41945 |
| 15 | 2 | -38.4313 | 8.36 | 104.851 |
| 16 | 2 | -35.38141 | 8.36 | 104.851 |
| 17 | 2 | -32.26041 | 8.36 | 104.8542 |
| 18 | 2 | -29.10327 | 8.36 | 104.851 |
| 19 | 2 | -25.91908 | 8.36 | 104.851 |
| 20 | 2 | -22.70511 | 8.36 | 104.851 |
| 21 | 2 | -22.70554 | 8.36 | 104.851 |
| 22 | 2 | -25.91972 | 8.36 | 104.851 |
| 23 | 2 | -29.10404 | 8.36 | 104.851 |
| 24 | 2 | -32.26104 | 8.36 | 104.8542 |
| 25 | 2 | -35.38202 | 8.36 | 104.851 |
| 26 | 2 | -38.4318 | 8.36 | 104.851 |
| 27 | 2 | -40.61871 | 4.18 | 52.41947 |
| 28 | 3 | -2.18654 | 4.18 | 63.2749 |
| 29 | 3 | -2.23122 | 5.18 | 78.41163 |
| 30 | 3 | -2.78375 | 6.75 | 102.1652 |
| 31 | 3 | -3.4752 | 8.58 | 129.9046 |
| 32 | 3 | -4.24374 | 10.54 | 159.5459 |
| 33 | 3 | -5.05576 | 12.57 | 190.2084 |
| 34 | 3 | 5.45348 | 14.64 | 221.4642 |
| 35 | 3 | 4.60653 | 12.57 | 190.2035 |
| 36 | 3 | 3.78639 | 10.54 | 159.5401 |
| 37 | 3 | 3.00444 | 8.58 | 129.8974 |
| 38 | 3 | 2.25729 | 6.75 | 102.1562 |
| 39 | 3 | 1.54823 | 5.18 | 78.39977 |
| 40 | 4 | 1.54826 | 5.18 | 78.39984 |
| 41 | 4 | 2.25751 | 6.75 | 102.1561 |
| 42 | 4 | 3.00459 | 8.58 | 129.8975 |
| 43 | 4 | 3.78635 | 10.54 | 159.5401 |
| 44 | 4 | 4.60615 | 12.57 | 190.2035 |
| 45 | 4 | 5.45258 | 14.64 | 221.4642 |
| 46 | 4 | -5.05664 | 12.57 | 190.2084 |
| 47 | 4 | -4.24389 | 10.54 | 159.5459 |
| 48 | 4 | -3.47527 | 8.58 | 129.9046 |
| 49 | 4 | -2.78369 | 6.75 | 102.1652 |
| 50 | 4 | -2.2312 | 5.18 | 78.41165 |
| 51 | 4 | -2.18648 | 4.18 | 63.27493 |

REACTIONS

| JOINT | RX | RY |
|-------|--------|---------|
| 1 | 0.0001 | 11.3293 |
| 14 | 0.0000 | 11.3295 |

Number Material : 1 2L 2.5x2x1/4
 Number Material : 2 2L 2x3x1/4
 Number Material : 3 2L 2x2.5x3/16
 Number Material : 4 2L 2x2.5x3/16

Total weight compression : 1417.303 lb
 Total weight Tension : 1401.094 lb
 Total weight for all : 2818.397 lb

TRIDIM2D

Howe120-15

JOINT DISPLACEMENTS

| JOINT | X-DISP | Y-DISP |
|-------|----------|----------|
| 1 | 0.00E+00 | 0.00E+00 |

Lampiran output data Atap I berdasarkan berat optimum

| | | | | | | | | | | |
|----|----------|-----------|----|---|----------|-------|----------|----|----------|-----------|
| 2 | 4.72E-03 | -1.02E-01 | 35 | 3 | 2.30206 | 6.03 | 91.24843 | 23 | 3.56E-02 | -1.64E-01 |
| 3 | 9.44E-03 | -1.50E-01 | 36 | 3 | 3.24629 | 8.04 | 121.6646 | 24 | 4.22E-02 | -2.03E-01 |
| 4 | 1.39E-02 | -1.82E-01 | 37 | 3 | 4.20535 | 10.05 | 152.0807 | 25 | 4.61E-02 | -2.31E-01 |
| 5 | 1.80E-02 | -2.03E-01 | 38 | 3 | 5.18036 | 12.06 | 182.4969 | 26 | 4.81E-02 | -2.51E-01 |
| 6 | 2.18E-02 | -2.16E-01 | 39 | 3 | 6.17199 | 14.07 | 212.913 | 27 | 4.87E-02 | -2.65E-01 |
| 7 | 2.53E-02 | -2.24E-01 | 40 | 3 | 13.88371 | 16.08 | 243.3291 | 28 | 4.80E-02 | -2.74E-01 |
| 8 | 2.85E-02 | -2.26E-01 | 41 | 3 | 6.17085 | 14.07 | 212.913 | 29 | 4.63E-02 | -2.78E-01 |
| 9 | 3.13E-02 | -2.25E-01 | 42 | 3 | 5.17897 | 12.06 | 182.4969 | 30 | 4.37E-02 | -2.78E-01 |
| 10 | 3.42E-02 | -2.26E-01 | 43 | 3 | 4.20417 | 10.05 | 152.0807 | 31 | 3.94E-02 | -2.70E-01 |
| 11 | 3.74E-02 | -2.24E-01 | 44 | 3 | 3.24577 | 8.04 | 121.6646 | 32 | 3.50E-02 | -2.78E-01 |
| 12 | 4.09E-02 | -2.16E-01 | 45 | 3 | 2.30171 | 6.03 | 91.24843 | 33 | 3.24E-02 | -2.78E-01 |
| 13 | 4.47E-02 | -2.03E-01 | 46 | 3 | 1.36929 | 4.02 | 60.83228 | 34 | 3.07E-02 | -2.74E-01 |
| 14 | 4.88E-02 | -1.82E-01 | 47 | 3 | 0.43902 | 2.01 | 30.41614 | 35 | 3.00E-02 | -2.65E-01 |
| 15 | 5.32E-02 | -1.50E-01 | 48 | 4 | -3.45032 | 7.76 | 97.36263 | 36 | 3.06E-02 | -2.51E-01 |
| 16 | 5.80E-02 | -1.02E-01 | 49 | 4 | -3.84623 | 8.51 | 106.7013 | 37 | 3.26E-02 | -2.31E-01 |
| 17 | 6.27E-02 | 0.00E+00 | 50 | 4 | -4.39084 | 9.62 | 120.6703 | 38 | 3.65E-02 | -2.03E-01 |
| 18 | 2.28E-02 | -1.02E-01 | 51 | 4 | -5.05861 | 11.00 | 137.8692 | 39 | 4.31E-02 | -1.64E-01 |
| 19 | 3.15E-02 | -1.50E-01 | 52 | 4 | -5.81731 | 12.54 | 157.2418 | 40 | 5.39E-02 | -1.08E-01 |
| 20 | 3.61E-02 | -1.81E-01 | 53 | 4 | -6.64354 | 14.20 | 178.0801 | | | |
| 21 | 3.81E-02 | -2.02E-01 | 54 | 4 | -7.52243 | 15.94 | 199.9262 | | | |
| 22 | 3.83E-02 | -2.16E-01 | 55 | 4 | -7.5211 | 15.94 | 199.9262 | | | |
| 23 | 3.72E-02 | -2.23E-01 | 56 | 4 | -6.64212 | 14.20 | 178.0801 | | | |
| 24 | 3.50E-02 | -2.25E-01 | 57 | 4 | -5.81579 | 12.54 | 157.2418 | | | |
| 25 | 3.13E-02 | -2.20E-01 | 58 | 4 | -5.05735 | 11.00 | 137.8692 | | | |
| 26 | 2.76E-02 | -2.25E-01 | 59 | 4 | -4.38981 | 9.62 | 120.6703 | | | |
| 27 | 2.55E-02 | -2.23E-01 | 60 | 4 | -3.84557 | 8.51 | 106.7013 | | | |
| 28 | 2.43E-02 | -2.16E-01 | 61 | 4 | -3.45014 | 7.76 | 97.36263 | | | |
| 29 | 2.46E-02 | -2.02E-01 | | | | | | | | |
| 30 | 2.66E-02 | -1.81E-01 | | | | | | | | |
| 31 | 3.12E-02 | -1.50E-01 | | | | | | | | |
| 32 | 3.99E-02 | -1.02E-01 | | | | | | | | |

MEMBER FORCE (TENSION POSITIVE)

| MEMBER | FORCE | LENGTH | KL/r |
|--------|-----------|--------|----------|
| 1 | 71.39215 | 7.50 | 96.98276 |
| 2 | 71.39215 | 7.50 | 96.98276 |
| 3 | 67.91529 | 7.50 | 96.98276 |
| 4 | 64.36153 | 7.50 | 96.98276 |
| 5 | 60.76709 | 7.50 | 96.98276 |
| 6 | 57.13684 | 7.50 | 96.98276 |
| 7 | 53.46972 | 7.50 | 96.98276 |
| 8 | 49.76521 | 7.50 | 96.98276 |
| 9 | 46.02239 | 7.50 | 96.98276 |
| 10 | 42.24063 | 7.50 | 96.98276 |
| 11 | 42.24063 | 7.50 | 96.98276 |
| 12 | 46.02217 | 7.50 | 96.98276 |
| 13 | 49.76476 | 7.50 | 96.98276 |
| 14 | 53.46969 | 7.50 | 96.98276 |
| 15 | 57.13667 | 7.50 | 96.98276 |
| 16 | 60.76759 | 7.50 | 96.98276 |
| 17 | 64.36234 | 7.50 | 96.98276 |
| 18 | 67.91543 | 7.50 | 96.98276 |
| 19 | 71.39219 | 7.50 | 96.98276 |
| 20 | 71.3923 | 7.50 | 96.98276 |
| 21 | -73.91179 | 7.76 | 75.14197 |
| 22 | -70.31212 | 7.76 | 75.14197 |
| 23 | -66.63313 | 7.76 | 75.14197 |
| 24 | -62.91069 | 7.76 | 75.14197 |
| 25 | -59.15173 | 7.76 | 75.14197 |
| 26 | -55.35503 | 7.76 | 75.14197 |
| 27 | -51.5201 | 7.76 | 75.14197 |
| 28 | -47.64643 | 7.76 | 75.14197 |
| 29 | -43.73076 | 7.76 | 75.14197 |
| 30 | -39.77322 | 7.76 | 75.14197 |
| 31 | -39.77334 | 7.76 | 75.14197 |
| 32 | -43.72979 | 7.76 | 75.14197 |
| 33 | -47.64421 | 7.76 | 75.14197 |
| 34 | -51.51963 | 7.76 | 75.14197 |
| 35 | -55.35523 | 7.76 | 75.14197 |
| 36 | -59.15201 | 7.76 | 75.14197 |
| 37 | -62.91164 | 7.76 | 75.14197 |
| 38 | -66.63232 | 7.76 | 75.14197 |
| 39 | -70.31208 | 7.76 | 75.14197 |
| 40 | -73.91179 | 7.76 | 75.14197 |
| 41 | 0.46516 | 2.01 | 24.96894 |
| 42 | 1.4481 | 4.02 | 49.93789 |
| 43 | 2.43169 | 6.03 | 74.90683 |
| 44 | 3.42956 | 8.04 | 99.87577 |
| 45 | 4.44522 | 10.05 | 124.8447 |
| 46 | 5.48268 | 12.06 | 149.8137 |
| 47 | 6.54127 | 14.07 | 174.7826 |

REACTIONS

| JOINT | RX | RY |
|-------|---------|---------|
| 1 | -0.0003 | 14.9554 |
| 17 | 0.0000 | 14.9543 |

Number Material : 1 2L 2.5x3.5x1/4
 Number Material : 2 2L 3x4x1/4
 Number Material : 3 2L 2x2.5x3/16
 Number Material : 4 2L 2x3x1/4
 Total weight compression : 2746.213 lb
 Total weight Tension : 1883.52 lb
 Total weight for all : 4629.733 lb

TRIDIM2D
 Howe150-15

JOINT DISPLACEMENTS

| JOINT | X-DISP | Y-DISP |
|-------|----------|-----------|
| 1 | 0.00E+00 | 0.00E+00 |
| 2 | 4.81E-03 | -1.09E-01 |
| 3 | 9.62E-03 | -1.64E-01 |
| 4 | 1.42E-02 | -2.03E-01 |
| 5 | 1.85E-02 | -2.32E-01 |
| 6 | 2.26E-02 | -2.52E-01 |
| 7 | 2.65E-02 | -2.67E-01 |
| 8 | 3.01E-02 | -2.76E-01 |
| 9 | 3.34E-02 | -2.80E-01 |
| 10 | 3.65E-02 | -2.81E-01 |
| 11 | 3.94E-02 | -2.77E-01 |
| 12 | 4.22E-02 | -2.81E-01 |
| 13 | 4.53E-02 | -2.80E-01 |
| 14 | 4.87E-02 | -2.76E-01 |
| 15 | 5.23E-02 | -2.67E-01 |
| 16 | 5.61E-02 | -2.52E-01 |
| 17 | 6.02E-02 | -2.32E-01 |
| 18 | 6.45E-02 | -2.03E-01 |
| 19 | 6.91E-02 | -1.64E-01 |
| 20 | 7.39E-02 | -1.09E-01 |
| 21 | 7.87E-02 | 0.00E+00 |
| 22 | 2.48E-02 | -1.08E-01 |

MEMBER FORCE (TENSION POSITIVE)

| MEMBER | FORCE | LENGTH | KL/r |
|--------|-----------|--------|----------|
| 1 | 52.55111 | 7.50 | 80.35715 |
| 2 | 52.55111 | 7.50 | 80.35715 |
| 3 | 49.2184 | 7.50 | 80.35715 |
| 4 | 45.8285 | 7.50 | 80.35715 |
| 5 | 42.40646 | 7.50 | 80.35715 |
| 6 | 38.95583 | 7.50 | 80.35715 |
| 7 | 35.47659 | 7.50 | 80.35715 |
| 8 | 31.96811 | 7.50 | 80.35715 |
| 9 | 31.96763 | 7.50 | 80.35715 |
| 10 | 35.47551 | 7.50 | 80.35715 |
| 11 | 38.95368 | 7.50 | 80.35715 |
| 12 | 42.40376 | 7.50 | 80.35715 |
| 13 | 45.82489 | 7.50 | 80.35715 |
| 14 | 49.21437 | 7.50 | 80.35715 |
| 15 | 52.54668 | 7.50 | 80.35715 |
| 16 | 52.54668 | 7.50 | 80.35715 |
| 17 | -54.40524 | 7.76 | 72.79378 |
| 18 | -50.95482 | 7.76 | 72.79378 |
| 19 | -47.44493 | 7.76 | 72.79378 |
| 20 | -43.9022 | 7.76 | 72.79378 |
| 21 | -40.32949 | 7.76 | 72.79378 |
| 22 | -36.72789 | 7.76 | 72.79378 |
| 23 | -33.09557 | 7.76 | 72.79378 |
| 24 | -29.4326 | 7.76 | 72.79378 |
| 25 | -29.43261 | 7.76 | 72.79378 |
| 26 | -33.09558 | 7.76 | 72.79378 |
| 27 | -36.72694 | 7.76 | 72.79378 |
| 28 | -40.32816 | 7.76 | 72.79378 |
| 29 | -43.89957 | 7.76 | 72.79378 |
| 30 | -47.44182 | 7.76 | 72.79378 |
| 31 | -50.95078 | 7.76 | 72.79378 |
| 32 | -54.40103 | 7.76 | 72.79378 |
| 33 | 0.43902 | 2.01 | 30.41614 |
| 34 | 1.36981 | 4.02 | 60.83228 |

Lampiran output data Atap I berdasarkan berat optimum

| | | | | | | | | | | | | |
|----|---|----------|-------|----------|----|----------|-----------|----|---|-----------|-------|----------|
| 48 | 3 | 7.62235 | 16.08 | 199.7515 | 20 | 7.21E-02 | -2.98E-01 | 37 | 2 | -50.51479 | 7.76 | 57.87331 |
| 49 | 3 | 8.72549 | 18.09 | 224.7205 | 21 | 7.64E-02 | -2.70E-01 | 38 | 2 | -54.70127 | 7.76 | 57.87139 |
| 50 | 3 | 19.18287 | 20.10 | 249.6894 | 22 | 8.09E-02 | -2.33E-01 | 39 | 2 | -58.8427 | 7.76 | 57.87331 |
| 51 | 3 | 8.72549 | 18.09 | 224.7205 | 23 | 8.56E-02 | -1.85E-01 | 40 | 2 | -62.93837 | 7.76 | 57.87139 |
| 52 | 3 | 7.62226 | 16.08 | 199.7515 | 24 | 9.05E-02 | -1.20E-01 | 41 | 2 | -66.98981 | 7.76 | 57.87331 |
| 53 | 3 | 6.54149 | 14.07 | 174.7826 | 25 | 9.54E-02 | 0.00E+00 | 42 | 2 | -70.99702 | 7.76 | 57.87331 |
| 54 | 3 | 5.48281 | 12.06 | 149.8137 | 26 | 2.75E-02 | -1.20E-01 | 43 | 2 | -74.95926 | 7.76 | 57.87139 |
| 55 | 3 | 4.44584 | 10.05 | 124.8447 | 27 | 4.06E-02 | -1.85E-01 | 44 | 2 | -78.87948 | 7.76 | 57.87331 |
| 56 | 3 | 3.42946 | 8.04 | 99.87577 | 28 | 4.92E-02 | -2.33E-01 | 45 | 2 | -82.76163 | 7.76 | 57.87139 |
| 57 | 3 | 2.43156 | 6.03 | 74.90683 | 29 | 5.50E-02 | -2.69E-01 | 46 | 2 | -86.59783 | 7.76 | 57.87331 |
| 58 | 3 | 1.44829 | 4.02 | 49.93789 | 30 | 5.86E-02 | -2.97E-01 | 47 | 2 | -90.39706 | 7.76 | 57.87139 |
| 59 | 3 | 0.46516 | 2.01 | 24.96894 | 31 | 6.06E-02 | -3.18E-01 | 48 | 2 | -94.08366 | 7.76 | 57.87331 |
| 60 | 4 | -3.59954 | 7.76 | 72.79378 | 32 | 6.13E-02 | -3.33E-01 | 49 | 3 | 0.48915 | 2.01 | 24.96894 |
| 61 | 4 | -4.03206 | 8.51 | 79.77591 | 33 | 6.08E-02 | -3.44E-01 | 50 | 3 | 1.50014 | 4.02 | 49.92546 |
| 62 | 4 | -4.61208 | 9.62 | 90.2199 | 34 | 5.93E-02 | -3.49E-01 | 51 | 3 | 2.52563 | 6.03 | 74.89441 |
| 63 | 4 | -5.32178 | 11.00 | 103.0788 | 35 | 5.68E-02 | -3.51E-01 | 52 | 3 | 3.54799 | 8.04 | 99.85092 |
| 64 | 4 | -6.13147 | 12.54 | 117.5628 | 36 | 5.34E-02 | -3.48E-01 | 53 | 3 | 4.60867 | 10.05 | 124.8199 |
| 65 | 4 | -7.01473 | 14.20 | 133.1427 | 37 | 4.77E-02 | -3.36E-01 | 54 | 3 | 5.67307 | 12.06 | 149.7764 |
| 66 | 4 | -7.95686 | 15.94 | 149.4761 | 38 | 4.20E-02 | -3.48E-01 | 55 | 3 | 6.77889 | 14.07 | 174.7453 |
| 67 | 4 | -8.94658 | 17.74 | 166.3413 | 39 | 3.68E-02 | -3.51E-01 | 56 | 3 | 7.90004 | 16.08 | 199.7143 |
| 68 | 4 | -9.97801 | 19.58 | 183.5916 | 40 | 3.61E-02 | -3.49E-01 | 57 | 3 | 9.03716 | 18.09 | 224.6708 |
| 69 | 4 | -9.9784 | 19.58 | 183.5916 | 41 | 3.46E-02 | -3.44E-01 | 58 | 3 | 10.21465 | 20.10 | 249.6397 |
| 70 | 4 | -8.94676 | 17.74 | 166.3413 | 42 | 3.41E-02 | -3.33E-01 | 59 | 3 | 11.40422 | 22.10 | 274.5963 |
| 71 | 4 | -7.95664 | 15.94 | 149.4761 | 43 | 3.47E-02 | -3.18E-01 | 60 | 3 | 24.70653 | 24.11 | 299.5652 |
| 72 | 4 | -7.01493 | 14.20 | 133.1427 | 44 | 3.68E-02 | -2.97E-01 | 61 | 3 | 11.40373 | 22.10 | 274.5963 |
| 73 | 4 | -6.13159 | 12.54 | 117.5628 | 45 | 4.04E-02 | -2.69E-01 | 62 | 3 | 10.21434 | 20.10 | 249.6397 |
| 74 | 4 | -5.32275 | 11.00 | 103.0788 | 46 | 4.62E-02 | -2.33E-01 | 63 | 3 | 9.03656 | 18.09 | 224.6708 |
| 75 | 4 | -4.61185 | 9.62 | 90.2199 | 47 | 5.48E-02 | -1.85E-01 | 64 | 3 | 7.8982 | 16.08 | 199.7143 |
| 76 | 4 | -4.03242 | 8.51 | 79.77591 | 48 | 6.78E-02 | -1.20E-01 | 65 | 3 | 6.77767 | 14.07 | 174.7453 |
| 77 | 4 | -3.59939 | 7.76 | 72.79378 | | | | 66 | 3 | 5.6732 | 12.06 | 149.7764 |

REACTIONS

| JOINT | RX | RY |
|-------|--------|---------|
| 1 | 0.0003 | 20.0363 |
| 21 | 0.0000 | 20.0363 |

Number Material : 1 2L 2.5x3x3/8
 Number Material : 2 2L 4x4x5/16
 Number Material : 3 2L 2x3x3/16
 Number Material : 4 2L 3x4x1/4

Total weight compression : 5259.004 lb
 Total weight Tension : 3214.14 lb
 Total weight for all : 8473.145 lb

TRIDIM2D

Howc180-15

JOINT DISPLACEMENTS

| JOINT | X-DISP | Y-DISP |
|-------|----------|-----------|
| 1 | 0.00E+00 | 0.00E+00 |
| 2 | 4.90E-03 | -1.20E-01 |
| 3 | 9.79E-03 | -1.85E-01 |
| 4 | 1.45E-02 | -2.33E-01 |
| 5 | 1.90E-02 | -2.70E-01 |
| 6 | 2.33E-02 | -2.98E-01 |
| 7 | 2.74E-02 | -3.19E-01 |
| 8 | 3.13E-02 | -3.35E-01 |
| 9 | 3.50E-02 | -3.46E-01 |
| 10 | 3.85E-02 | -3.52E-01 |
| 11 | 4.18E-02 | -3.55E-01 |
| 12 | 4.48E-02 | -3.53E-01 |
| 13 | 4.77E-02 | -3.47E-01 |
| 14 | 5.05E-02 | -3.53E-01 |
| 15 | 5.36E-02 | -3.55E-01 |
| 16 | 5.69E-02 | -3.52E-01 |
| 17 | 6.01E-02 | -3.46E-01 |
| 18 | 6.41E-02 | -3.35E-01 |
| 19 | 6.80E-02 | -3.19E-01 |

MEMBER FORCE (TENSION POSITIVE)

| MEMBER | FORCE | LENGTH | KL/r |
|--------|-----------|--------|----------|
| 1 | 90.88093 | 7.50 | 105.51 |
| 2 | 90.88093 | 7.50 | 105.51 |
| 3 | 87.3226 | 7.50 | 105.51 |
| 4 | 83.65005 | 7.50 | 105.51 |
| 5 | 79.94677 | 7.50 | 105.51 |
| 6 | 76.1935 | 7.50 | 105.51 |
| 7 | 72.4087 | 7.50 | 105.51 |
| 8 | 68.57747 | 7.50 | 105.51 |
| 9 | 64.70548 | 7.50 | 105.51 |
| 10 | 60.79547 | 7.50 | 105.51 |
| 11 | 56.83892 | 7.50 | 105.51 |
| 12 | 52.8413 | 7.50 | 105.51 |
| 13 | 52.84103 | 7.50 | 105.51 |
| 14 | 56.83844 | 7.50 | 105.51 |
| 15 | 60.79478 | 7.50 | 105.51 |
| 16 | 64.7041 | 7.50 | 105.51 |
| 17 | 68.57526 | 7.50 | 105.51 |
| 18 | 72.40569 | 7.50 | 105.51 |
| 19 | 76.19104 | 7.50 | 105.51 |
| 20 | 79.94376 | 7.50 | 105.51 |
| 21 | 83.64642 | 7.50 | 105.51 |
| 22 | 87.31879 | 7.50 | 105.51 |
| 23 | 90.87695 | 7.50 | 105.51 |
| 24 | 90.87653 | 7.50 | 105.51 |
| 25 | -94.07968 | 7.76 | 57.87331 |
| 26 | -90.39306 | 7.76 | 57.87139 |
| 27 | -86.59318 | 7.76 | 57.87331 |
| 28 | -82.75802 | 7.76 | 57.87139 |
| 29 | -78.87541 | 7.76 | 57.87331 |
| 30 | -74.95587 | 7.76 | 57.87139 |
| 31 | -70.99265 | 7.76 | 57.87331 |
| 32 | -66.98409 | 7.76 | 57.87331 |
| 33 | -62.93407 | 7.76 | 57.87139 |
| 34 | -58.83927 | 7.76 | 57.87331 |
| 35 | -54.69959 | 7.76 | 57.87139 |
| 36 | -50.51497 | 7.76 | 57.87331 |

REACTIONS

| JOINT | RX | RY |
|-------|---------|---------|
| 1 | -0.0081 | 25.2815 |
| 25 | 0.0000 | 25.2825 |

Number Material : 1 2L 5x3x5/16
 Number Material : 2 2L 3x5x3/8
 Number Material : 3 2L 2x3x3/16
 Number Material : 4 2L 3x5x1/4

Lampiran output data Atap I berdasarkan berat optimum

Total weight compression : 7920.846 lb
Total weight Tension : 4728.788 lb
Total weight for all : 12649.63 lb

Lampiran output data Atap II berdasarkan berat optimum

TRIDIM2D
Howe45-25
JOINT DISPLACEMENTS

| JOINT | X-DISP | Y-DISP |
|-------|----------|-----------|
| 1 | 0.00E+00 | 0.00E+00 |
| 2 | 3.75E-03 | -3.09E-02 |
| 3 | 7.50E-03 | -3.78E-02 |
| 4 | 1.05E-02 | -3.78E-02 |
| 5 | 1.35E-02 | -3.73E-02 |
| 6 | 1.70E-02 | -3.01E-02 |
| 7 | 2.05E-02 | 0.00E+00 |
| 8 | 1.17E-02 | -3.08E-02 |
| 9 | 1.27E-02 | -3.74E-02 |
| 10 | 1.04E-02 | -3.58E-02 |
| 11 | 8.23E-03 | -3.70E-02 |
| 12 | 9.25E-03 | -3.01E-02 |

MEMBER FORCE (TENSION POSITIVE)

| MEMBER | FORCE | LENGTH | KL/r |
|--------|-----------|--------|----------|
| 1 1 | 13.9157 | 7.50 | 143.77 |
| 2 1 | 13.9157 | 7.50 | 143.77 |
| 3 1 | 11.26257 | 7.50 | 143.77 |
| 4 1 | 10.86405 | 7.50 | 143.77 |
| 5 1 | 13.11863 | 7.50 | 143.77 |
| 6 1 | 13.11862 | 7.50 | 143.77 |
| 7 2 | -13.69447 | 8.28 | 125.2238 |
| 8 2 | -10.856 | 8.28 | 125.2302 |
| 9 2 | -7.9963 | 8.28 | 125.2238 |
| 10 2 | -8.43325 | 8.28 | 125.2238 |
| 11 2 | -11.29018 | 8.28 | 125.2302 |
| 12 2 | -14.12591 | 8.28 | 125.2238 |
| 13 3 | 0.39051 | 3.50 | 67.03515 |
| 14 3 | 1.64701 | 6.99 | 134.0895 |
| 15 3 | 5.0471 | 10.49 | 201.1246 |
| 16 3 | 1.46121 | 6.99 | 134.0895 |
| 17 3 | 0.39051 | 3.50 | 67.03515 |
| 18 4 | -2.92735 | 8.28 | 158.6301 |
| 19 4 | -3.65283 | 10.26 | 196.5955 |
| 20 4 | -3.10787 | 10.26 | 196.5955 |
| 21 4 | -2.48764 | 8.28 | 158.6301 |

REACTIONS

| JOINT | RX | RY |
|-------|---------|--------|
| 1 | -1.5841 | 7.0122 |
| 7 | 0.0000 | 7.0076 |

Number Material : 1 2L 2x2x1/8
 Number Material : 2 2L 2x2.5x3/16
 Number Material : 3 2L 2x2x1/8
 Number Material : 4 2L 2x2x1/8

Total weight compression : 395.3905 lb
 Total weight Tension : 252.3708 lb
 Total weight for all : 647.7614 lb

TRIDIM2D
CWarren60-25
JOINT DISPLACEMENTS

| JOINT | X-DISP | Y-DISP |
|-------|----------|-----------|
| 1 | 0.00E+00 | 0.00E+00 |
| 2 | 8.10E-03 | -5.08E-02 |
| 3 | 1.30E-02 | -7.01E-02 |
| 4 | 1.66E-02 | -7.86E-02 |
| 5 | 1.90E-02 | -7.99E-02 |
| 6 | 2.09E-02 | -7.95E-02 |
| 7 | 2.34E-02 | -7.78E-02 |
| 8 | 2.68E-02 | -6.90E-02 |
| 9 | 3.16E-02 | -4.97E-02 |

| | | |
|----|----------|-----------|
| 10 | 3.95E-02 | 0.00E+00 |
| 11 | 1.34E-02 | -3.37E-02 |
| 12 | 2.22E-02 | -6.19E-02 |
| 13 | 2.46E-02 | -7.51E-02 |
| 14 | 2.35E-02 | -7.97E-02 |
| 15 | 1.97E-02 | -7.73E-02 |
| 16 | 1.61E-02 | -7.91E-02 |
| 17 | 1.52E-02 | -7.41E-02 |
| 18 | 1.77E-02 | -6.07E-02 |
| 19 | 2.65E-02 | -3.28E-02 |

MEMBER FORCE (TENSION POSITIVE)

| MEMBER | FORCE | LENGTH | KL/r |
|--------|-----------|--------|----------|
| 1 1 | 25.63201 | 6.69 | 101.2728 |
| 2 1 | 22.51603 | 6.69 | 101.259 |
| 3 1 | 19.51058 | 6.69 | 101.2728 |
| 4 1 | 16.5117 | 6.69 | 101.2728 |
| 5 1 | 13.11703 | 6.67 | 100.8726 |
| 6 1 | 16.22781 | 6.69 | 101.2728 |
| 7 1 | 18.93807 | 6.69 | 101.2728 |
| 8 1 | 21.64031 | 6.69 | 101.259 |
| 9 1 | 24.35261 | 6.69 | 101.2728 |
| 10 2 | -27.11577 | 3.68 | 55.64902 |
| 11 2 | -24.85349 | 7.36 | 111.3181 |
| 12 2 | -21.88135 | 7.36 | 111.3181 |
| 13 2 | -18.75083 | 7.35 | 111.298 |
| 14 2 | -15.57369 | 7.36 | 111.3181 |
| 15 2 | -15.82335 | 7.36 | 111.3181 |
| 16 2 | -18.80075 | 7.35 | 111.298 |
| 17 2 | -21.72918 | 7.36 | 111.3181 |
| 18 2 | -24.49044 | 7.36 | 111.3181 |
| 19 2 | -26.61287 | 3.68 | 55.64902 |
| 20 3 | -2.17273 | 3.47 | 66.56588 |
| 21 3 | -2.52936 | 4.83 | 92.59184 |
| 22 3 | -3.42425 | 6.88 | 131.9393 |
| 23 3 | -4.45939 | 9.17 | 175.8641 |
| 24 3 | -5.77464 | 12.12 | 232.393 |
| 25 3 | -3.52704 | 9.72 | 186.3134 |
| 26 3 | 2.51888 | 7.40 | 141.8292 |
| 27 3 | 1.45099 | 5.27 | 100.9903 |
| 28 4 | 1.60968 | 5.27 | 100.9903 |
| 29 4 | 2.77037 | 7.40 | 141.8292 |
| 30 4 | 3.8765 | 9.72 | 186.3134 |
| 31 4 | 6.22462 | 12.12 | 232.393 |
| 32 4 | -4.02156 | 9.17 | 175.8641 |
| 33 4 | -3.07778 | 6.88 | 131.9393 |
| 34 4 | -2.25584 | 4.83 | 92.59184 |
| 35 4 | -1.85845 | 3.47 | 66.56587 |

REACTIONS

| JOINT | RX | RY |
|-------|---------|---------|
| 1 | -0.9938 | 10.1600 |
| 10 | 0.0000 | 9.9120 |

Number Material : 1 2L 2x2.5x3/16
 Number Material : 2 2L 2x2.5x3/16
 Number Material : 3 2L 2x2x1/8
 Number Material : 4 2L 2x2x1/8

Total weight compression : 524.8883 lb
 Total weight Tension : 558.8839 lb
 Total weight for all : 1083.772 lb

TRIDIM2D
CHowe75-25
JOINT DISPLACEMENTS

| JOINT | X-DISP | Y-DISP |
|-------|----------|----------|
| 1 | 0.00E+00 | 0.00E+00 |

| | | |
|----|----------|-----------|
| 2 | 9.78E-03 | -5.94E-02 |
| 3 | 1.64E-02 | -8.27E-02 |
| 4 | 2.16E-02 | -9.51E-02 |
| 5 | 2.56E-02 | -1.00E-01 |
| 6 | 2.87E-02 | -9.95E-02 |
| 7 | 3.18E-02 | -9.93E-02 |
| 8 | 3.57E-02 | -9.35E-02 |
| 9 | 4.07E-02 | -8.08E-02 |
| 10 | 4.71E-02 | -5.76E-02 |
| 11 | 5.64E-02 | 0.00E+00 |
| 12 | 2.38E-02 | -5.93E-02 |
| 13 | 3.11E-02 | -8.23E-02 |
| 14 | 3.36E-02 | -9.42E-02 |
| 15 | 3.31E-02 | -9.85E-02 |
| 16 | 2.83E-02 | -9.27E-02 |
| 17 | 2.38E-02 | -9.78E-02 |
| 18 | 2.35E-02 | -9.27E-02 |
| 19 | 2.62E-02 | -8.05E-02 |
| 20 | 3.34E-02 | -5.75E-02 |

MEMBER FORCE (TENSION POSITIVE)

| MEMBER | FORCE | LENGTH | KL/r |
|--------|-----------|--------|----------|
| 1 1 | 31.66175 | 7.53 | 116.1229 |
| 2 1 | 31.66174 | 7.53 | 116.1229 |
| 3 1 | 28.31128 | 7.53 | 116.1242 |
| 4 1 | 24.93022 | 7.53 | 116.1229 |
| 5 1 | 21.52981 | 7.53 | 116.1229 |
| 6 1 | 21.03723 | 7.53 | 116.1229 |
| 7 1 | 23.94499 | 7.53 | 116.1229 |
| 8 1 | 26.83356 | 7.53 | 116.1242 |
| 9 1 | 29.69147 | 7.53 | 116.1229 |
| 10 1 | 29.69159 | 7.53 | 116.1229 |
| 11 2 | -32.26801 | 8.28 | 105.082 |
| 12 2 | -28.67319 | 8.28 | 105.082 |
| 13 2 | -25.04697 | 8.28 | 105.0873 |
| 14 2 | -21.39634 | 8.28 | 105.082 |
| 15 2 | -17.72652 | 8.28 | 105.082 |
| 16 2 | -18.16343 | 8.28 | 105.082 |
| 17 2 | -21.72863 | 8.28 | 105.082 |
| 18 2 | -25.27472 | 8.28 | 105.0873 |
| 19 2 | -28.79687 | 8.28 | 105.082 |
| 20 2 | -32.28724 | 8.28 | 105.082 |
| 21 3 | 0.41091 | 2.84 | 54.46006 |
| 22 3 | 1.6978 | 5.68 | 108.9201 |
| 23 3 | 3.0 | 8.52 | 163.3802 |
| 24 3 | 4.30442 | 11.36 | 217.8403 |
| 25 3 | 13.23559 | 14.20 | 272.3003 |
| 26 3 | 3.74667 | 11.36 | 217.8403 |
| 27 3 | 2.62813 | 8.52 | 163.3802 |
| 28 3 | 1.51213 | 5.68 | 108.9201 |
| 29 3 | 0.41091 | 2.84 | 54.46006 |
| 30 4 | -3.47679 | 7.81 | 118.2114 |
| 31 4 | -4.05396 | 9.03 | 136.6119 |
| 32 4 | -4.90927 | 10.87 | 164.4773 |
| 33 4 | -5.937 | 13.07 | 197.8306 |
| 34 4 | -5.08165 | 13.07 | 197.8306 |
| 35 4 | -4.19801 | 10.87 | 164.4773 |
| 36 4 | -3.46346 | 9.03 | 136.6119 |
| 37 4 | -2.96586 | 7.81 | 118.2114 |

REACTIONS

| JOINT | RX | RY |
|-------|---------|---------|
| 1 | -2.3761 | 12.1276 |
| 11 | 0.0000 | 12.1204 |

Number Material : 1 2L 2.5x2.5x3/16
 Number Material : 2 2L 2.5x3x1/4
 Number Material : 3 2L 2x2x1/8

Lampiran output data Atap II berdasarkan berat optimum

Number Material : 4 2L 2x2.5x3/16

Total weight compression : 1193.379 lb
 Total weight Tension : 696.6419 lb
 Total weight for all : 1890.021 lb

TRIDIM2D

CHowe90-25

JOINT DISPLACEMENTS

| JOINT | X-DISP | Y-DISP |
|-------|----------|-----------|
| 1 | 0.00E+00 | 0.00E+00 |
| 2 | 1.06E-02 | -6.68E-02 |
| 3 | 1.78E-02 | -9.56E-02 |
| 4 | 2.36E-02 | -1.13E-01 |
| 5 | 2.83E-02 | -1.22E-01 |
| 6 | 3.21E-02 | -1.25E-01 |
| 7 | 3.50E-02 | -1.24E-01 |
| 8 | 3.80E-02 | -1.24E-01 |
| 9 | 4.17E-02 | -1.20E-01 |
| 10 | 4.63E-02 | -1.11E-01 |
| 11 | 5.19E-02 | -9.33E-02 |
| 12 | 5.88E-02 | -6.48E-02 |
| 13 | 6.89E-02 | 0.00E+00 |
| 14 | 2.67E-02 | -6.68E-02 |
| 15 | 3.60E-02 | -9.53E-02 |
| 16 | 4.02E-02 | -1.12E-01 |
| 17 | 4.12E-02 | -1.21E-01 |
| 18 | 3.97E-02 | -1.24E-01 |
| 19 | 3.45E-02 | -1.18E-01 |
| 20 | 2.96E-02 | -1.23E-01 |
| 21 | 2.85E-02 | -1.19E-01 |
| 22 | 2.96E-02 | -1.10E-01 |
| 23 | 3.39E-02 | -9.31E-02 |
| 24 | 4.31E-02 | -6.47E-02 |

MEMBER FORCE (TENSION POSITIVE)

| MEMBER | FORCE | LENGTH | KL/r |
|--------|-----------|--------|----------|
| 1 | 39.41886 | 7.53 | 96.21259 |
| 2 | 39.41885 | 7.53 | 96.21259 |
| 3 | 36.02952 | 7.53 | 96.2137 |
| 4 | 32.61322 | 7.53 | 96.21259 |
| 5 | 29.1649 | 7.53 | 96.21259 |
| 6 | 25.68945 | 7.53 | 96.21259 |
| 7 | 25.19719 | 7.53 | 96.21259 |
| 8 | 28.18016 | 7.53 | 96.21259 |
| 9 | 31.13619 | 7.53 | 96.21259 |
| 10 | 34.06029 | 7.53 | 96.2137 |
| 11 | 36.95747 | 7.53 | 96.21259 |
| 12 | 36.9575 | 7.53 | 96.21259 |
| 13 | -40.35728 | 8.28 | 88.6629 |
| 14 | -36.7217 | 8.28 | 88.66743 |
| 15 | -33.05355 | 8.28 | 88.6629 |
| 16 | -29.35137 | 8.28 | 88.6629 |
| 17 | -25.62099 | 8.28 | 88.66743 |
| 18 | -21.86186 | 8.28 | 88.6629 |
| 19 | -22.29877 | 8.28 | 88.6629 |
| 20 | -25.95394 | 8.28 | 88.66743 |
| 21 | -29.58031 | 8.28 | 88.6629 |
| 22 | -33.17797 | 8.28 | 88.6629 |
| 23 | -36.74212 | 8.28 | 88.66743 |
| 24 | -40.27363 | 8.28 | 88.6629 |
| 25 | 0.42371 | 2.84 | 42.99118 |
| 26 | 1.72982 | 5.68 | 85.99747 |
| 27 | 3.04984 | 8.52 | 128.9735 |
| 28 | 4.38435 | 11.36 | 171.9647 |
| 29 | 5.74085 | 14.21 | 214.971 |
| 30 | 16.70083 | 17.05 | 257.9622 |
| 31 | 4.99767 | 14.21 | 214.971 |

| | | | | |
|----|---|----------|-------|----------|
| 32 | 3 | 3.82693 | 11.36 | 171.9647 |
| 33 | 3 | 2.67821 | 8.52 | 128.9735 |
| 34 | 3 | 1.5443 | 5.68 | 85.99747 |
| 35 | 3 | 0.42383 | 2.84 | 42.99118 |
| 36 | 4 | -3.51728 | 7.81 | 97.041 |
| 37 | 4 | -4.09633 | 9.03 | 112.1531 |
| 38 | 4 | -4.97845 | 10.87 | 135.0212 |
| 39 | 4 | -6.03487 | 13.07 | 162.4013 |
| 40 | 4 | -7.19781 | 15.49 | 192.3872 |
| 41 | 4 | -6.18517 | 15.49 | 192.3872 |
| 42 | 4 | -5.17989 | 13.07 | 162.4013 |
| 43 | 4 | -4.26752 | 10.87 | 135.0212 |
| 44 | 4 | -3.5062 | 9.03 | 112.1531 |
| 45 | 4 | -3.00628 | 7.81 | 97.041 |

REACTIONS

| JOINT | RX | RY |
|-------|---------|---------|
| 1 | -2.7722 | 14.8783 |
| 13 | 0.0000 | 14.8704 |

Number Material : 1 2L 3x3x3/16

Number Material : 2 2L 2.5x3.5x1/4

Number Material : 3 2L 2x2.5x3/16

Number Material : 4 2L 2x3x3/16

Total weight compression : 1664.174 lb

Total weight Tension : 1232.896 lb

Total weight for all : 2897.07 lb

TRIDIM2D

CHowe105-25

JOINT DISPLACEMENTS

| JOINT | X-DISP | Y-DISP |
|-------|----------|-----------|
| 1 | 0.00E+00 | 0.00E+00 |
| 2 | 1.12E-02 | -7.32E-02 |
| 3 | 1.90E-02 | -1.07E-01 |
| 4 | 2.54E-02 | -1.29E-01 |
| 5 | 3.07E-02 | -1.43E-01 |
| 6 | 3.51E-02 | -1.51E-01 |
| 7 | 3.88E-02 | -1.53E-01 |
| 8 | 4.16E-02 | -1.51E-01 |
| 9 | 4.45E-02 | -1.52E-01 |
| 10 | 4.81E-02 | -1.49E-01 |
| 11 | 5.24E-02 | -1.41E-01 |
| 12 | 5.76E-02 | -1.27E-01 |
| 13 | 6.37E-02 | -1.05E-01 |
| 14 | 7.12E-02 | -7.10E-02 |
| 15 | 8.19E-02 | 0.00E+00 |
| 16 | 2.92E-02 | -7.31E-02 |
| 17 | 4.06E-02 | -1.07E-01 |
| 18 | 4.66E-02 | -1.29E-01 |
| 19 | 4.92E-02 | -1.42E-01 |
| 20 | 4.93E-02 | -1.49E-01 |
| 21 | 4.72E-02 | -1.51E-01 |
| 22 | 4.10E-02 | -1.43E-01 |
| 23 | 3.51E-02 | -1.50E-01 |
| 24 | 3.34E-02 | -1.48E-01 |
| 25 | 3.37E-02 | -1.40E-01 |
| 26 | 3.64E-02 | -1.26E-01 |
| 27 | 4.25E-02 | -1.05E-01 |
| 28 | 5.37E-02 | -7.09E-02 |

MEMBER FORCE (TENSION POSITIVE)

| MEMBER | FORCE | LENGTH | KL/r |
|--------|----------|--------|----------|
| 1 | 48.47713 | 7.53 | 119.9782 |
| 2 | 48.47712 | 7.53 | 119.9782 |
| 3 | 44.99972 | 7.53 | 119.9782 |
| 4 | 41.46955 | 7.53 | 119.9796 |

| | | | | |
|----|---|-----------|-------|----------|
| 5 | 1 | 37.90811 | 7.53 | 119.9782 |
| 6 | 1 | 34.31056 | 7.53 | 119.9782 |
| 7 | 1 | 30.68047 | 7.53 | 119.9782 |
| 8 | 1 | 30.18472 | 7.53 | 119.9782 |
| 9 | 1 | 33.31896 | 7.53 | 119.9782 |
| 10 | 1 | 36.42057 | 7.53 | 119.9782 |
| 11 | 1 | 39.48602 | 7.53 | 119.9796 |
| 12 | 1 | 42.52055 | 7.53 | 119.9782 |
| 13 | 1 | 45.50178 | 7.53 | 119.9782 |
| 14 | 1 | 45.50169 | 7.53 | 119.9782 |
| 15 | 2 | -49.7938 | 8.26 | 77.44981 |
| 16 | 2 | -46.06609 | 8.26 | 77.44981 |
| 17 | 2 | -42.27944 | 8.26 | 77.44981 |
| 18 | 2 | -38.45998 | 8.26 | 77.44981 |
| 19 | 2 | -34.60052 | 8.26 | 77.44981 |
| 20 | 2 | -30.70538 | 8.26 | 77.44981 |
| 21 | 2 | -26.77321 | 8.26 | 77.44981 |
| 22 | 2 | -27.2093 | 8.26 | 77.44981 |
| 23 | 2 | -31.03384 | 8.26 | 77.44981 |
| 24 | 2 | -34.82098 | 8.26 | 77.44981 |
| 25 | 2 | -38.57221 | 8.26 | 77.44981 |
| 26 | 2 | -42.28381 | 8.26 | 77.44981 |
| 27 | 2 | -45.96208 | 8.26 | 77.44981 |
| 28 | 2 | -49.58181 | 8.26 | 77.44981 |
| 29 | 3 | 0.43554 | 2.81 | 42.49181 |
| 30 | 3 | 1.7785 | 5.62 | 84.98361 |
| 31 | 3 | 3.12316 | 8.42 | 127.4754 |
| 32 | 3 | 4.50103 | 11.23 | 169.9521 |
| 33 | 3 | 5.8968 | 14.04 | 212.4439 |
| 34 | 3 | 7.31849 | 16.85 | 254.9357 |
| 35 | 3 | 20.65222 | 19.65 | 297.4275 |
| 36 | 3 | 6.39409 | 16.85 | 254.9357 |
| 37 | 3 | 5.15695 | 14.04 | 212.4439 |
| 38 | 3 | 3.94621 | 11.23 | 169.9521 |
| 39 | 3 | 2.75377 | 8.42 | 127.4754 |
| 40 | 3 | 1.59339 | 5.62 | 84.98361 |
| 41 | 3 | 0.43542 | 2.81 | 42.49181 |
| 42 | 4 | -3.60394 | 7.80 | 83.59966 |
| 43 | 4 | -4.21683 | 8.99 | 96.34019 |
| 44 | 4 | -5.10679 | 10.80 | 115.6827 |
| 45 | 4 | -6.19524 | 12.96 | 138.9063 |
| 46 | 4 | -7.39716 | 15.34 | 164.3708 |
| 47 | 4 | -8.68359 | 17.84 | 191.1828 |
| 48 | 4 | -7.50842 | 17.84 | 191.1828 |
| 49 | 4 | -6.3869 | 15.34 | 164.3708 |
| 50 | 4 | -5.34107 | 12.96 | 138.9063 |
| 51 | 4 | -4.39596 | 10.80 | 115.6827 |
| 52 | 4 | -3.62452 | 8.99 | 96.34019 |
| 53 | 4 | -3.08985 | 7.80 | 83.59966 |

REACTIONS

| JOINT | RX | RY |
|-------|---------|---------|
| 1 | -3.1677 | 17.9265 |
| 15 | 0.0000 | 17.9099 |

Number Material : 1 2L 3x2.5x1/4

Number Material : 2 2L 3x4x1/4

Number Material : 3 2L 2x2.5x3/16

Number Material : 4 2L 2.5x3.5x1/4

Total weight compression : 2786.961 lb

Total weight Tension : 1705.327 lb

Total weight for all : 4492.288 lb

TRIDIM2D

CHowe120-25

JOINT DISPLACEMENTS

Lampiran output data Atap II berdasarkan berat optimum

| JOINT | X-DISP | Y-DISP | | | | | | | | |
|-------|----------|-----------|----|---|-----------|-------|----------|----|----------|-----------|
| 1 | 0.00E+00 | 0.00E+00 | 33 | 3 | 0.44998 | 2.84 | 35.29192 | 22 | 3.46E-02 | -8.54E-02 |
| 2 | 1.14E-02 | -7.62E-02 | 34 | 3 | 1.82272 | 5.68 | 70.59627 | 23 | 5.07E-02 | -1.31E-01 |
| 3 | 1.94E-02 | -1.14E-01 | 35 | 3 | 3.18802 | 8.52 | 105.8882 | 24 | 6.10E-02 | -1.63E-01 |
| 4 | 2.61E-02 | -1.39E-01 | 36 | 3 | 4.59873 | 11.36 | 141.1677 | 25 | 6.75E-02 | -1.86E-01 |
| 5 | 3.18E-02 | -1.57E-01 | 37 | 3 | 6.02954 | 14.20 | 176.4596 | 26 | 7.12E-02 | -2.03E-01 |
| 6 | 3.66E-02 | -1.68E-01 | 38 | 3 | 7.49528 | 17.05 | 211.7639 | 27 | 7.27E-02 | -2.15E-01 |
| 7 | 4.07E-02 | -1.74E-01 | 39 | 3 | 8.98467 | 19.89 | 247.0559 | 28 | 7.22E-02 | -2.22E-01 |
| 8 | 4.40E-02 | -1.75E-01 | 40 | 3 | 24.69713 | 22.73 | 282.3478 | 29 | 7.01E-02 | -2.25E-01 |
| 9 | 4.67E-02 | -1.72E-01 | 41 | 3 | 7.86895 | 19.89 | 247.0559 | 30 | 6.63E-02 | -2.23E-01 |
| 10 | 4.94E-02 | -1.74E-01 | 42 | 3 | 6.56535 | 17.05 | 211.7639 | 31 | 5.83E-02 | -2.12E-01 |
| 11 | 5.28E-02 | -1.72E-01 | 43 | 3 | 5.28565 | 14.20 | 176.4596 | 32 | 5.06E-02 | -2.22E-01 |
| 12 | 5.68E-02 | -1.65E-01 | 44 | 3 | 4.04136 | 11.36 | 141.1677 | 33 | 4.72E-02 | -2.23E-01 |
| 13 | 6.15E-02 | -1.54E-01 | 45 | 3 | 2.81716 | 8.52 | 105.8882 | 34 | 4.54E-02 | -2.19E-01 |
| 14 | 6.69E-02 | -1.36E-01 | 46 | 3 | 1.63698 | 5.68 | 70.59627 | 35 | 4.53E-02 | -2.12E-01 |
| 15 | 7.33E-02 | -1.11E-01 | 47 | 3 | 0.44998 | 2.84 | 35.29192 | 36 | 4.69E-02 | -2.00E-01 |
| 16 | 8.10E-02 | -7.39E-02 | 48 | 4 | -3.62593 | 7.81 | 73.23563 | 37 | 5.07E-02 | -1.83E-01 |
| 17 | 9.19E-02 | 0.00E+00 | 49 | 4 | -4.24987 | 9.03 | 84.64578 | 38 | 5.72E-02 | -1.59E-01 |
| 18 | 3.07E-02 | -7.61E-02 | 50 | 4 | -5.16844 | 10.87 | 101.8988 | 39 | 6.73E-02 | -1.27E-01 |
| 19 | 4.38E-02 | -1.14E-01 | 51 | 4 | -6.29106 | 13.07 | 122.5622 | 40 | 8.31E-02 | -8.29E-02 |
| 20 | 5.14E-02 | -1.39E-01 | 52 | 4 | -7.5353 | 15.49 | 145.184 | | | |
| 21 | 5.55E-02 | -1.56E-01 | 53 | 4 | -8.85869 | 18.03 | 168.9881 | | | |
| 22 | 5.69E-02 | -1.66E-01 | 54 | 4 | -10.25516 | 20.64 | 193.525 | | | |
| 23 | 5.61E-02 | -1.72E-01 | 55 | 4 | -8.90466 | 20.64 | 193.525 | | | |
| 24 | 5.34E-02 | -1.72E-01 | 56 | 4 | -7.67863 | 18.03 | 168.9881 | | | |
| 25 | 4.60E-02 | -1.62E-01 | 57 | 4 | -6.52143 | 15.49 | 145.184 | | | |
| 26 | 3.89E-02 | -1.71E-01 | 58 | 4 | -5.43565 | 13.07 | 122.5622 | | | |
| 27 | 3.66E-02 | -1.70E-01 | 59 | 4 | -4.45799 | 10.87 | 101.8988 | | | |
| 28 | 3.61E-02 | -1.64E-01 | 60 | 4 | -3.65982 | 9.03 | 84.64578 | | | |
| 29 | 3.77E-02 | -1.53E-01 | 61 | 4 | -3.1153 | 7.81 | 73.23563 | | | |
| 30 | 4.19E-02 | -1.36E-01 | | | | | | | | |
| 31 | 4.94E-02 | -1.11E-01 | | | | | | | | |
| 32 | 6.22E-02 | -7.38E-02 | | | | | | | | |

| MEMBER FORCE (TENSION POSITIVE) | | | |
|---------------------------------|-----------|--------|----------|
| MEMBER | FORCE | LENGTH | KL/r |
| 1 | 56.83206 | 7.53 | 98.84422 |
| 2 | 56.83206 | 7.53 | 98.84422 |
| 3 | 53.33762 | 7.53 | 98.84422 |
| 4 | 49.79453 | 7.53 | 98.84537 |
| 5 | 46.21401 | 7.53 | 98.84422 |
| 6 | 42.5911 | 7.53 | 98.84422 |
| 7 | 38.92781 | 7.53 | 98.84422 |
| 8 | 35.22766 | 7.53 | 98.84422 |
| 9 | 34.73507 | 7.53 | 98.84422 |
| 10 | 37.94213 | 7.53 | 98.84422 |
| 11 | 41.11268 | 7.53 | 98.84422 |
| 12 | 44.24281 | 7.53 | 98.84422 |
| 13 | 47.33155 | 7.53 | 98.84537 |
| 14 | 50.38238 | 7.53 | 98.84422 |
| 15 | 53.38514 | 7.53 | 98.84422 |
| 16 | 53.38499 | 7.53 | 98.84422 |
| 17 | -58.62375 | 8.28 | 79.44197 |
| 18 | -54.8738 | 8.28 | 79.44601 |
| 19 | -51.06384 | 8.28 | 79.44197 |
| 20 | -47.21696 | 8.28 | 79.44197 |
| 21 | -43.32275 | 8.28 | 79.44197 |
| 22 | -39.38651 | 8.28 | 79.44601 |
| 23 | -35.40632 | 8.28 | 79.44197 |
| 24 | -31.38337 | 8.28 | 79.44197 |
| 25 | -31.82009 | 8.28 | 79.44197 |
| 26 | -35.73868 | 8.28 | 79.44197 |
| 27 | -39.61482 | 8.28 | 79.44601 |
| 28 | -43.44666 | 8.28 | 79.44197 |
| 29 | -47.23592 | 8.28 | 79.44197 |
| 30 | -50.97859 | 8.28 | 79.44197 |
| 31 | -54.68444 | 8.28 | 79.44601 |
| 32 | -58.33013 | 8.28 | 79.44197 |

| REACTIONS | | | |
|-----------|---------|---------|--|
| JOINT | RX | RY | |
| 1 | -3.5639 | 21.1069 | |
| 17 | 0.0000 | 21.0962 | |

| MEMBER FORCE (TENSION POSITIVE) | | | |
|---------------------------------|-----------|--------|----------|
| MEMBER | FORCE | LENGTH | KL/r |
| 1 | 77.09505 | 7.53 | 71.1367 |
| 2 | 77.09508 | 7.53 | 71.1367 |
| 3 | 73.49837 | 7.53 | 71.13753 |
| 4 | 69.84326 | 7.53 | 71.1367 |
| 5 | 66.12106 | 7.53 | 71.1367 |
| 6 | 62.34464 | 7.53 | 71.1367 |
| 7 | 58.51033 | 7.53 | 71.1367 |
| 8 | 54.62421 | 7.53 | 71.13753 |
| 9 | 50.68132 | 7.53 | 71.1367 |
| 10 | 46.67598 | 7.53 | 71.1367 |
| 11 | 46.18321 | 7.53 | 71.1367 |
| 12 | 49.69534 | 7.53 | 71.1367 |
| 13 | 53.14611 | 7.53 | 71.13753 |
| 14 | 56.54025 | 7.53 | 71.1367 |
| 15 | 59.88261 | 7.53 | 71.1367 |
| 16 | 63.16643 | 7.53 | 71.1367 |
| 17 | 66.39656 | 7.53 | 71.1367 |
| 18 | 69.55947 | 7.53 | 71.13753 |
| 19 | 72.66437 | 7.53 | 71.1367 |
| 20 | 72.6646 | 7.53 | 71.1367 |
| 21 | -80.02113 | 8.28 | 61.67854 |
| 22 | -76.15855 | 8.28 | 61.68169 |
| 23 | -72.22617 | 8.28 | 61.67854 |
| 24 | -68.22227 | 8.28 | 61.67854 |
| 25 | -64.15887 | 8.28 | 61.67854 |
| 26 | -60.03543 | 8.28 | 61.68169 |
| 27 | -55.84922 | 8.28 | 61.67855 |
| 28 | -51.60524 | 8.28 | 61.67854 |
| 29 | -47.29416 | 8.28 | 61.68169 |
| 30 | -42.91656 | 8.28 | 61.67854 |
| 31 | -43.35312 | 8.28 | 61.67854 |
| 32 | -47.6269 | 8.28 | 61.68169 |
| 33 | -51.83427 | 8.28 | 61.67854 |
| 34 | -55.9745 | 8.28 | 61.67855 |
| 35 | -60.05703 | 8.28 | 61.68169 |
| 36 | -64.07645 | 8.28 | 61.67854 |
| 37 | -68.03436 | 8.28 | 61.67854 |
| 38 | -71.9335 | 8.28 | 61.67854 |
| 39 | -75.76289 | 8.28 | 61.68169 |
| 40 | -79.52142 | 8.28 | 61.67854 |
| 41 | 0.48481 | 2.84 | 26.63438 |
| 42 | 1.90062 | 5.68 | 53.27812 |
| 43 | 3.34486 | 8.52 | 79.90312 |
| 44 | 4.82012 | 11.36 | 106.5375 |
| 45 | 6.33713 | 14.20 | 133.1719 |
| 46 | 7.90412 | 17.05 | 159.8156 |

| TRIDIM2D | | | |
|---------------------------------|----------|-----------|--|
| CHowe150-25 JOINT DISPLACEMENTS | | | |
| JOINT | X-DISP | Y-DISP | |
| 1 | 0.00E+00 | 0.00E+00 | |
| 2 | 1.23E-02 | -8.54E-02 | |
| 3 | 2.11E-02 | -1.31E-01 | |
| 4 | 2.85E-02 | -1.63E-01 | |
| 5 | 3.49E-02 | -1.87E-01 | |
| 6 | 4.06E-02 | -2.04E-01 | |
| 7 | 4.55E-02 | -2.16E-01 | |
| 8 | 4.98E-02 | -2.24E-01 | |
| 9 | 5.35E-02 | -2.27E-01 | |
| 10 | 5.66E-02 | -2.26E-01 | |
| 11 | 5.91E-02 | -2.22E-01 | |
| 12 | 6.17E-02 | -2.25E-01 | |
| 13 | 6.48E-02 | -2.25E-01 | |
| 14 | 6.85E-02 | -2.21E-01 | |
| 15 | 7.27E-02 | -2.13E-01 | |
| 16 | 7.75E-02 | -2.01E-01 | |
| 17 | 8.30E-02 | -1.83E-01 | |
| 18 | 8.92E-02 | -1.60E-01 | |
| 19 | 9.63E-02 | -1.28E-01 | |
| 20 | 1.05E-01 | -8.29E-02 | |
| 21 | 1.17E-01 | 0.00E+00 | |

Lampiran output data Atap II berdasarkan berat optimum

| | | | | |
|----|---|-----------|-------|----------|
| 47 | 3 | 9.49603 | 19.89 | 186.45 |
| 48 | 3 | 11.15767 | 22.73 | 213.075 |
| 49 | 3 | 12.86184 | 25.57 | 239.7188 |
| 50 | 3 | 34.32276 | 28.41 | 266.3531 |
| 51 | 3 | 11.37398 | 25.57 | 239.7188 |
| 52 | 3 | 9.85694 | 22.73 | 213.075 |
| 53 | 3 | 8.38229 | 19.89 | 186.45 |
| 54 | 3 | 6.97618 | 17.05 | 159.8156 |
| 55 | 3 | 5.59382 | 14.20 | 133.1719 |
| 56 | 3 | 4.26256 | 11.36 | 106.5375 |
| 57 | 3 | 2.97332 | 8.52 | 79.90312 |
| 58 | 3 | 1.71557 | 5.68 | 53.27812 |
| 59 | 3 | 0.48507 | 2.84 | 26.63438 |
| 60 | 4 | -3.73292 | 7.81 | 57.86519 |
| 61 | 4 | -4.38197 | 9.03 | 66.8765 |
| 62 | 4 | -5.37392 | 10.87 | 80.51265 |
| 63 | 4 | -6.55759 | 13.07 | 96.83929 |
| 64 | 4 | -7.88722 | 15.49 | 114.7133 |
| 65 | 4 | -9.30566 | 18.03 | 133.5214 |
| 66 | 4 | -10.80909 | 20.64 | 152.9018 |
| 67 | 4 | -12.4016 | 23.31 | 172.6773 |
| 68 | 4 | -14.03875 | 26.02 | 192.7289 |
| 69 | 4 | -12.33565 | 26.02 | 192.7289 |
| 70 | 4 | -10.87555 | 23.31 | 172.6773 |
| 71 | 4 | -9.45918 | 20.64 | 152.9018 |
| 72 | 4 | -8.12753 | 18.03 | 133.5214 |
| 73 | 4 | -6.87542 | 15.49 | 114.7133 |
| 74 | 4 | -5.70219 | 13.07 | 96.83929 |
| 75 | 4 | -4.66352 | 10.87 | 80.51265 |
| 76 | 4 | -3.79238 | 9.03 | 66.8765 |
| 77 | 4 | -3.2224 | 7.81 | 57.86519 |

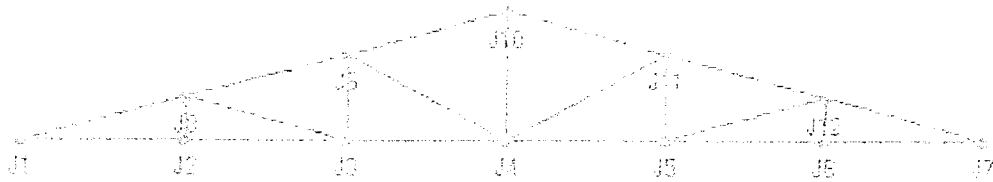
REACTIONS

| JOINT | RX | RY |
|-------|---------|---------|
| 1 | -4.3569 | 28.4104 |
| 21 | 0.0000 | 28.3983 |

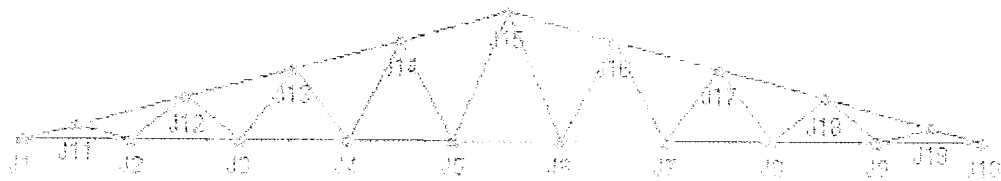
Number Material : 1 2L 3x4x5/16
 Number Material : 2 2L 3x5x5/16
 Number Material : 3 2L 3x4x1/4
 Number Material : 4 2L 3x5x1/4

Total weight compression : 6522.929 lb
 Total weight Tension : 5463.916 lb
 Total weight for all : 11986.84 lb

Lampiran gambar struktur Atap I berdasarkan berat optimum



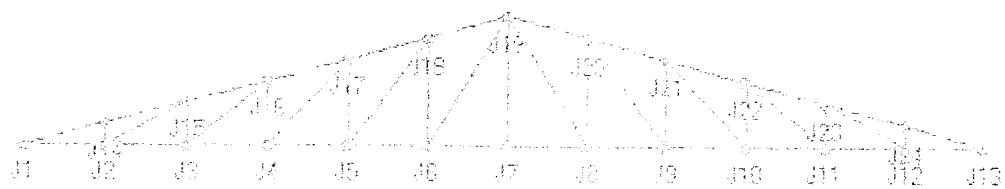
Howe 45



Warren 60



Warren 75

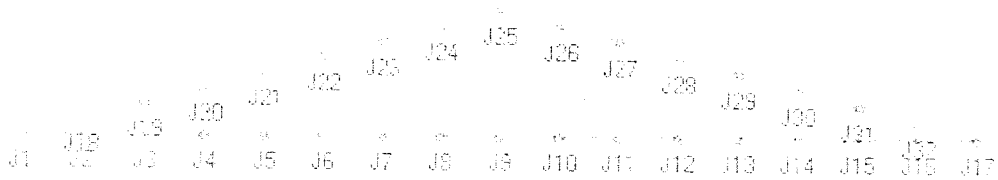


Pratt 90

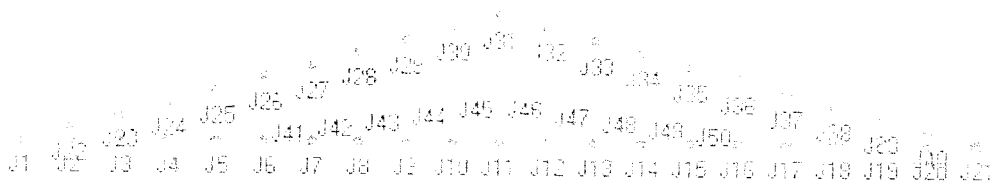
Lampiran gambar struktur Atap I berdasarkan berat optimum



Warren 105



Howe 120

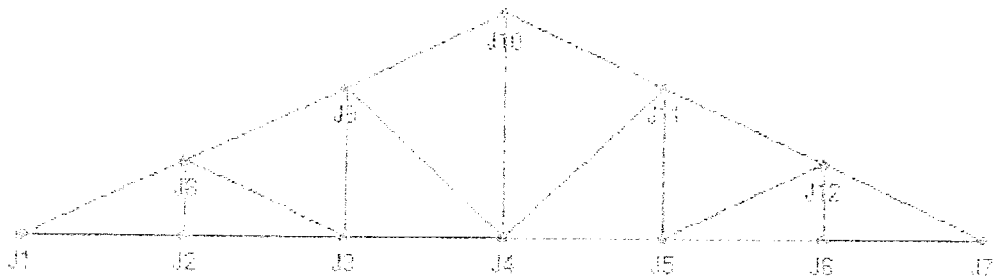


Howe 150 modifikasi

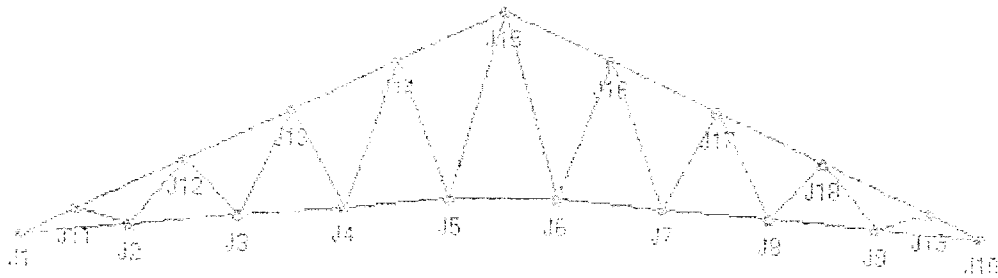


Howe 180 modifikasi

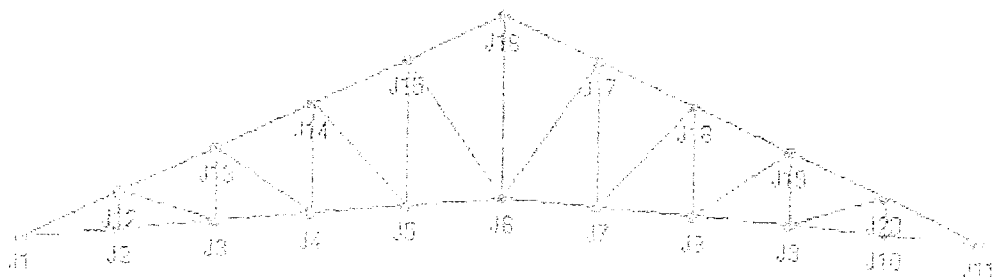
Lampiran gambar struktur Atap II berdasarkan berat optimum



Howe 45



Cwarren 60



Chowe75

Lampiran gambar struktur Atap II berdasarkan berat optimum



Chowe 90

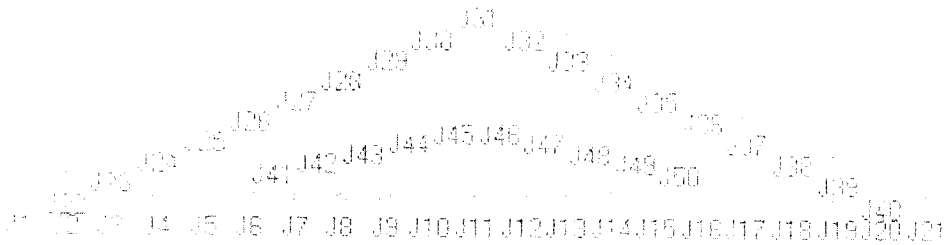


Chowe 105

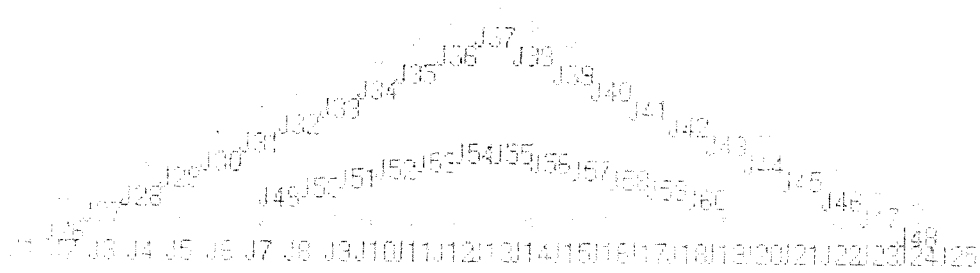


Chowe 120

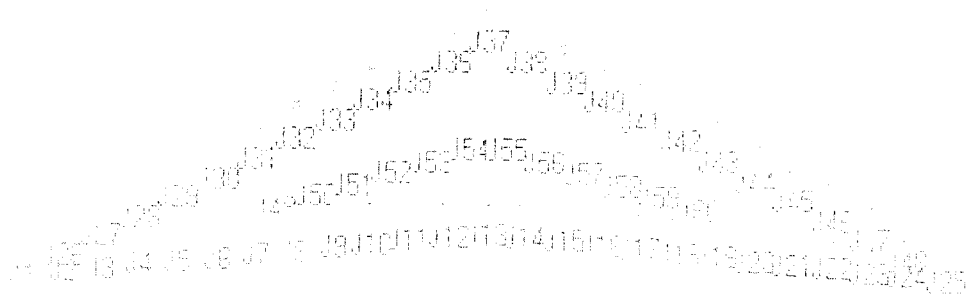
Lampiran gambar struktur Atap II berdasarkan berat optimum



Howe 150 modifikasi



Howe 180 modifikasi



Chowe 180 modifikasi

Lampiran data base profil AISI

| Urut | FI | BERAT | LUAS | LShor | LSver | tebalsayap | lx | Sx | rx | ry |
|------|----|-------|------|-------|-------|------------|-------|-------|-------|-------|
| 1 | 2L | 3.3 | 0.96 | 2 | 2 | 0.125 | 0.38 | 0.261 | 0.626 | 0.831 |
| 2 | 2L | 4.88 | 1.43 | 2 | 2 | 0.1875 | 0.545 | 0.381 | 0.617 | 0.84 |
| 3 | 2L | 5.5 | 1.62 | 2 | 2.5 | 0.1875 | 1.02 | 0.586 | 0.793 | 0.79 |
| 4 | 2L | 5.5 | 1.62 | 2.5 | 2 | 0.1875 | 0.583 | 0.392 | 0.6 | 1.1 |
| 5 | 2L | 6.14 | 1.8 | 2.5 | 2.5 | 0.1875 | 1.09 | 0.606 | 0.778 | 1.04 |
| 6 | 2L | 6.14 | 1.8 | 3 | 2 | 0.1875 | 0.613 | 0.401 | 0.583 | 1.37 |
| 7 | 2L | 6.14 | 1.8 | 2 | 3 | 0.1875 | 1.68 | 0.83 | 0.966 | 0.749 |
| 8 | 2L | 6.38 | 1.88 | 2 | 2 | 0.25 | 0.695 | 0.494 | 0.609 | 0.849 |
| 9 | 2L | 6.77 | 1.99 | 2.5 | 3 | 0.1875 | 1.81 | 0.859 | 0.954 | 0.993 |
| 10 | 2L | 6.77 | 1.99 | 3 | 2.5 | 0.1875 | 1.15 | 0.62 | 0.761 | 1.3 |
| 11 | 2L | 7.24 | 2.13 | 2.5 | 2 | 0.25 | 0.745 | 0.509 | 0.592 | 1.11 |
| 12 | 2L | 7.24 | 2.13 | 2 | 2.5 | 0.25 | 1.31 | 0.763 | 0.784 | 0.799 |
| 13 | 2L | 7.42 | 2.18 | 3 | 3 | 0.1875 | 1.92 | 0.882 | 0.939 | 1.25 |
| 14 | 2L | 7.84 | 2.3 | 2 | 2 | 0.3125 | 0.832 | 0.6 | 0.601 | 0.859 |
| 15 | 2L | 8.2 | 2.38 | 2 | 3 | 0.25 | 2.17 | 1.08 | 0.957 | 0.757 |
| 16 | 2L | 8.2 | 2.38 | 3 | 2 | 0.25 | 0.784 | 0.52 | 0.574 | 1.38 |
| 17 | 2L | 8.2 | 2.38 | 2.5 | 2.5 | 0.25 | 1.41 | 0.789 | 0.769 | 1.05 |
| 18 | 2L | 9 | 2.63 | 3 | 2.5 | 0.25 | 1.49 | 0.808 | 0.753 | 1.31 |
| 19 | 2L | 9 | 2.63 | 2.5 | 3 | 0.25 | 2.35 | 1.12 | 0.945 | 1 |
| 20 | 2L | 9 | 2.62 | 2.5 | 2 | 0.3125 | 0.893 | 0.62 | 0.584 | 1.12 |
| 21 | 2L | 9 | 2.62 | 2 | 2.5 | 0.3125 | 1.58 | 0.932 | 0.776 | 0.809 |
| 22 | 2L | 9.4 | 2.72 | 2 | 2 | 0.375 | 0.958 | 0.702 | 0.594 | 0.87 |
| 23 | 2L | 9.8 | 2.88 | 2.5 | 3.5 | 0.25 | 3.6 | 1.51 | 1.12 | 0.958 |
| 24 | 2L | 9.8 | 2.88 | 3 | 3 | 0.25 | 2.49 | 1.15 | 0.93 | 1.26 |
| 25 | 2L | 9.8 | 2.88 | 3.5 | 2.5 | 0.25 | 1.55 | 0.824 | 0.735 | 1.58 |
| 26 | 2L | 10 | 2.93 | 2.5 | 2.5 | 0.3125 | 1.7 | 0.964 | 0.761 | 1.06 |
| 27 | 2L | 10 | 2.93 | 2 | 3 | 0.3125 | 2.63 | 1.33 | 0.948 | 0.767 |
| 28 | 2L | 10 | 2.93 | 3 | 2 | 0.3125 | 0.941 | 0.634 | 0.567 | 1.39 |
| 29 | 2L | 10.6 | 3.09 | 2 | 2.5 | 0.375 | 1.82 | 1.09 | 0.768 | 0.819 |
| 30 | 2L | 10.6 | 3.09 | 2.5 | 2 | 0.375 | 1.03 | 0.725 | 0.577 | 1.13 |
| 31 | 2L | 10.8 | 3.13 | 3.5 | 3 | 0.25 | 2.61 | 1.18 | 0.914 | 1.52 |
| 32 | 2L | 10.8 | 3.13 | 3 | 3.5 | 0.25 | 3.83 | 1.55 | 1.11 | 1.2 |
| 33 | 2L | 11.6 | 3.38 | 3 | 4 | 0.25 | 6 | 2 | 1.28 | 1.16 |
| 34 | 2L | 11.6 | 3.38 | 3.5 | 3.5 | 0.25 | 4 | 1.59 | 1.09 | 1.46 |
| 35 | 2L | 11.6 | 3.38 | 4 | 3 | 0.25 | 3 | 1.2 | 0.896 | 1.78 |
| 36 | 2L | 11.8 | 3.47 | 2.5 | 2.5 | 0.375 | 2 | 1.13 | 0.753 | 1.07 |
| 37 | 2L | 11.8 | 3.47 | 3 | 2 | 0.375 | 1 | 0.743 | 0.559 | 1.4 |
| 38 | 2L | 11.8 | 3.47 | 2 | 3 | 0.375 | 3 | 1.56 | 0.94 | 0.777 |
| 39 | 2L | 12.2 | 3.55 | 3 | 3 | 0.3125 | 3 | 1.41 | 0.922 | 1.26 |
| 40 | 2L | 12.4 | 3.63 | 4 | 3.5 | 0.25 | 4 | 1.62 | 1.07 | 1.72 |
| 41 | 2L | 12.4 | 3.63 | 3.5 | 4 | 0.25 | 6 | 2.05 | 1.27 | 1.41 |
| 42 | 2L | 13.2 | 3.84 | 2.5 | 3 | 0.375 | 3 | 1.62 | 0.928 | 1.02 |
| 43 | 2L | 13.2 | 3.84 | 3 | 2.5 | 0.375 | 2 | 1.16 | 0.736 | 1.33 |
| 44 | 2L | 13.2 | 3.87 | 3.5 | 3 | 0.3125 | 3 | 1.44 | 0.905 | 1.52 |
| 45 | 2L | 13.2 | 3.87 | 3 | 3.5 | 0.3125 | 5 | 1.91 | 1.1 | 1.21 |
| 46 | 2L | 13.2 | 3.88 | 4 | 4 | 0.25 | 6 | 2.09 | 1.25 | 1.66 |
| 47 | 2L | 13.2 | 3.88 | 3 | 5 | 0.25 | 10 | 3.06 | 1.62 | 1.08 |

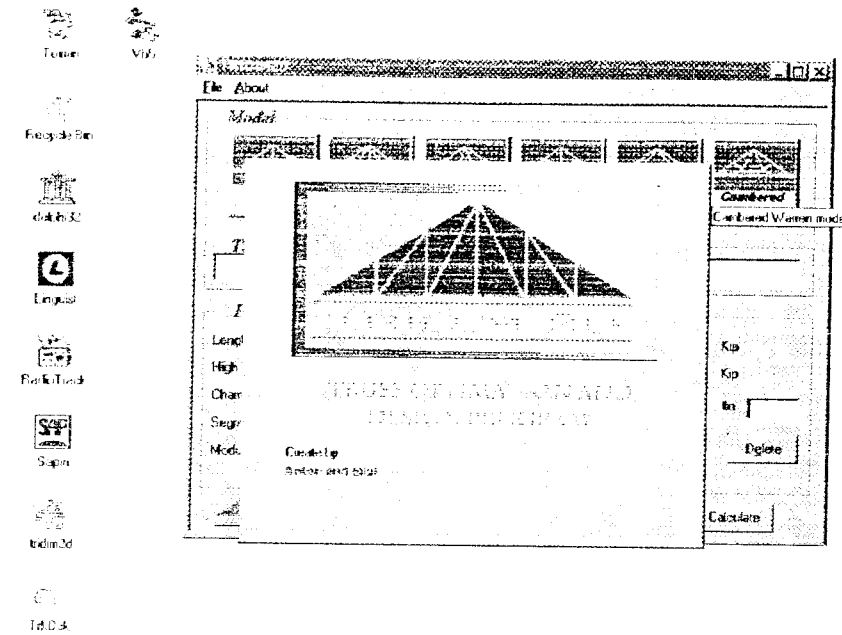
Lampiran data base profil AISC

| | | | | | | | | | |
|-------|------|------|-----|-----|--------|----|------|-------|-------|
| 48 2L | 13.2 | 3.88 | 5 | 3 | 0.25 | 3 | 1.23 | 0.861 | 2.32 |
| 49 2L | 14.4 | 4.18 | 3 | 4 | 0.3125 | 7 | 2.47 | 1.27 | 1.17 |
| 50 2L | 14.4 | 4.18 | 4 | 3 | 0.3125 | 3 | 1.47 | 0.887 | 1.79 |
| 51 2L | 14.4 | 4.18 | 3.5 | 3.5 | 0.3125 | 5 | 1.95 | 1.08 | 1.47 |
| 52 2L | 14.4 | 4.22 | 3.5 | 2.5 | 0.375 | 2 | 1.18 | 0.719 | 1.6 |
| 53 2L | 14.4 | 4.22 | 3 | 3 | 0.375 | 4 | 1.67 | 0.913 | 1.27 |
| 54 2L | 14.4 | 4.22 | 2.5 | 3.5 | 0.375 | 5 | 2.19 | 1.1 | 0.976 |
| 55 2L | 15.4 | 4.49 | 3.5 | 4 | 0.3125 | 7 | 2.53 | 1.26 | 1.42 |
| 56 2L | 15.4 | 4.49 | 4 | 3.5 | 0.3125 | 5 | 1.99 | 1.07 | 1.73 |
| 57 2L | 15.8 | 4.59 | 3.5 | 3 | 0.375 | 4 | 1.7 | 0.897 | 1.53 |
| 58 2L | 15.8 | 4.59 | 3 | 3.5 | 0.375 | 5 | 2.25 | 1.09 | 1.22 |
| 59 2L | 16.4 | 4.8 | 5 | 3 | 0.3125 | 3 | 1.51 | 0.853 | 2.33 |
| 60 2L | 16.4 | 4.8 | 4 | 4 | 0.3125 | 7 | 2.58 | 1.24 | 1.67 |
| 61 2L | 16.4 | 4.8 | 3 | 5 | 0.3125 | 12 | 3.77 | 1.61 | 1.09 |
| 62 2L | 17 | 4.97 | 3.5 | 3.5 | 0.375 | 6 | 2.3 | 1.07 | 1.48 |
| 63 2L | 17 | 4.97 | 4 | 3 | 0.375 | 4 | 1.73 | 0.879 | 1.8 |
| 64 2L | 17 | 4.97 | 3 | 4 | 0.375 | 8 | 2.92 | 1.26 | 1.18 |
| 65 2L | 17.4 | 5.12 | 5 | 3.5 | 0.3125 | 5 | 2.04 | 1.03 | 2.26 |
| 66 2L | 17.4 | 5.12 | 3.5 | 5 | 0.3125 | 13 | 3.87 | 1.61 | 1.33 |
| 67 2L | 18.2 | 5.34 | 4 | 3.5 | 0.375 | 6 | 2.35 | 1.06 | 1.74 |
| 68 2L | 18.2 | 5.34 | 3.5 | 4 | 0.375 | 8 | 2.99 | 1.25 | 1.42 |
| 69 2L | 18.8 | 5.5 | 3 | 3 | 0.5 | 4 | 2.14 | 0.898 | 1.29 |
| 70 2L | 19.6 | 5.72 | 3 | 5 | 0.375 | 15 | 4.47 | 1.61 | 1.1 |
| 71 2L | 19.6 | 5.72 | 4 | 4 | 0.375 | 9 | 3.05 | 1.23 | 1.68 |
| 72 2L | 19.6 | 5.72 | 5 | 3 | 0.375 | 4 | 1.78 | 0.845 | 2.34 |
| 73 2L | 19.6 | 5.74 | 6 | 3.5 | 0.3125 | 6 | 2.08 | 0.996 | 2.8 |
| 74 2L | 19.6 | 5.74 | 3.5 | 6 | 0.3125 | 22 | 5.47 | 1.95 | 1.26 |
| 75 2L | 20.6 | 6.05 | 5 | 5 | 0.3125 | 15 | 4.08 | 1.57 | 2.08 |
| 76 2L | 20.8 | 6.09 | 5 | 3.5 | 0.375 | 6 | 2.41 | 1.02 | 2.27 |
| 77 2L | 20.8 | 6.09 | 3.5 | 5 | 0.375 | 16 | 4.59 | 1.6 | 1.34 |
| 78 2L | 22.2 | 6.5 | 4 | 3 | 0.5 | 5 | 2.23 | 0.864 | 1.82 |
| 79 2L | 22.2 | 6.5 | 3 | 4 | 0.5 | 10 | 3.78 | 1.25 | 1.2 |
| 80 2L | 23.4 | 6.84 | 3.5 | 6 | 0.375 | 26 | 6.49 | 1.94 | 1.26 |
| 81 2L | 23.4 | 6.84 | 6 | 3.5 | 0.375 | 7 | 2.46 | 0.988 | 2.81 |
| 82 2L | 23.8 | 7 | 3.5 | 4 | 0.5 | 11 | 3.87 | 1.23 | 1.44 |
| 83 2L | 23.8 | 7 | 4 | 3.5 | 0.5 | 8 | 3.03 | 1.04 | 1.76 |
| 84 2L | 24.6 | 7.22 | 6 | 4 | 0.375 | 10 | 3.21 | 1.17 | 2.74 |
| 85 2L | 24.6 | 7.22 | 5 | 5 | 0.375 | 18 | 4.84 | 1.56 | 2.09 |
| 86 2L | 24.6 | 7.22 | 4 | 6 | 0.375 | 27 | 6.64 | 1.93 | 1.5 |
| 87 2L | 25.6 | 7.5 | 4 | 4 | 0.5 | 11 | 3.95 | 1.22 | 1.7 |
| 88 2L | 25.6 | 7.5 | 3 | 5 | 0.5 | 19 | 5.82 | 1.59 | 1.12 |
| 89 2L | 25.6 | 7.5 | 5 | 3 | 0.5 | 5 | 2.29 | 0.829 | 2.36 |
| 90 2L | 27.2 | 7.97 | 7 | 4 | 0.375 | 10 | 3.26 | 1.13 | 3.28 |
| 91 2L | 27.2 | 7.97 | 4 | 7 | 0.375 | 41 | 8.88 | 2.27 | 1.43 |
| 92 2L | 27.2 | 8 | 3.5 | 5 | 0.5 | 20 | 5.97 | 1.58 | 1.35 |
| 93 2L | 27.2 | 8 | 5 | 3.5 | 0.5 | 8 | 3.12 | 1.01 | 2.29 |
| 94 2L | 29.8 | 8.72 | 6 | 6 | 0.375 | 31 | 7.06 | 1.88 | 2.49 |
| 95 2L | 31.4 | 9.22 | 4 | 4 | 0.625 | 13 | 4.8 | 1.2 | 1.72 |
| 96 2L | 32.4 | 9.5 | 5 | 5 | 0.5 | 22 | 6.31 | 1.54 | 2.1 |
| 97 2L | 32.4 | 9.5 | 6 | 4 | 0.5 | 12 | 4.16 | 1.15 | 2.76 |

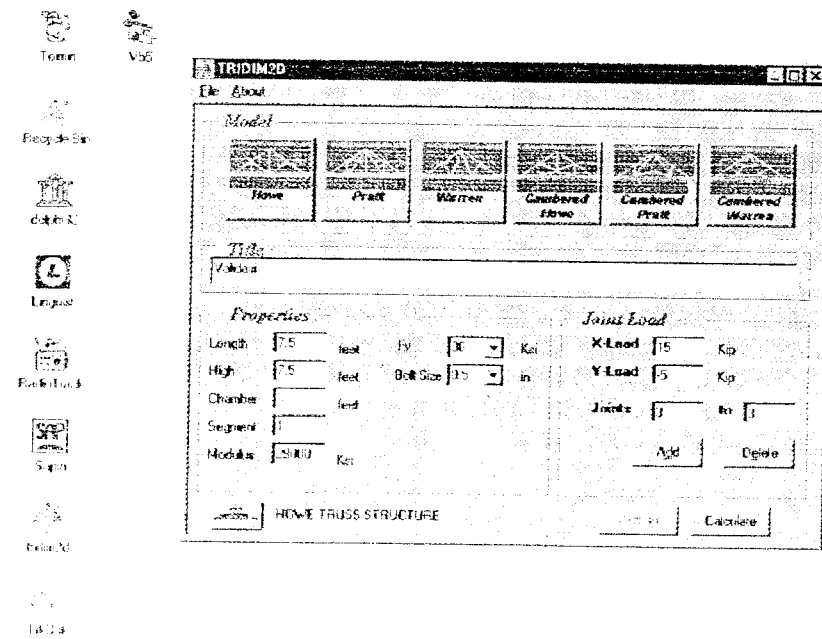
Lampiran data base profil AISC

| | | | | | | | | | |
|--------|------|------|-----|-----|-------|-----|------|-------|------|
| 98 2L | 32.4 | 9.5 | 4 | 6 | 0.5 | 35 | 8.67 | 1.91 | 1.51 |
| 99 2L | 35.8 | 10.5 | 7 | 4 | 0.5 | 13 | 4.23 | 1.11 | 3.3 |
| 100 2L | 35.8 | 10.5 | 4 | 7 | 0.5 | 53 | 11.6 | 2.25 | 1.44 |
| 101 2L | 37 | 10.9 | 4 | 4 | 0.75 | 15 | 5.62 | 1.19 | 1.74 |
| 102 2L | 39.2 | 11.5 | 6 | 6 | 0.5 | 40 | 9.23 | 1.86 | 2.51 |
| 103 2L | 39.2 | 11.5 | 4 | 8 | 0.5 | 77 | 15 | 2.59 | 1.38 |
| 104 2L | 39.2 | 11.5 | 8 | 4 | 0.5 | 14 | 4.29 | 1.08 | 3.86 |
| 105 2L | 39.6 | 11.6 | 3.5 | 5 | 0.75 | 28 | 8.55 | 1.55 | 1.4 |
| 106 2L | 39.6 | 11.6 | 5 | 3.5 | 0.75 | 11 | 4.43 | 0.977 | 2.33 |
| 107 2L | 40 | 11.7 | 6 | 4 | 0.625 | 15 | 5.07 | 1.13 | 2.78 |
| 108 2L | 40 | 11.7 | 4 | 6 | 0.625 | 42 | 10.6 | 1.9 | 1.53 |
| 109 2L | 46 | 13.5 | 6 | 8 | 0.5 | 89 | 16 | 2.56 | 2.32 |
| 110 2L | 46 | 13.5 | 8 | 6 | 0.5 | 43 | 9.58 | 1.79 | 3.56 |
| 111 2L | 47.2 | 13.9 | 5 | 5 | 0.75 | 32 | 9.06 | 1.51 | 2.14 |
| 112 2L | 47.2 | 13.9 | 6 | 4 | 0.75 | 17 | 5.94 | 1.12 | 2.8 |
| 113 2L | 47.2 | 13.9 | 4 | 6 | 0.75 | 49 | 12.5 | 1.88 | 1.55 |
| 114 2L | 48.4 | 14.2 | 6 | 6 | 0.625 | 48 | 11.3 | 1.84 | 2.53 |
| 115 2L | 52.4 | 15.4 | 4 | 7 | 0.75 | 76 | 16.8 | 2.22 | 1.48 |
| 116 2L | 52.4 | 15.4 | 7 | 4 | 0.75 | 18 | 6.05 | 1.09 | 3.35 |
| 117 2L | 52.8 | 15.5 | 8 | 8 | 0.5 | 97 | 16.7 | 2.5 | 3.32 |
| 118 2L | 54.4 | 16 | 5 | 5 | 0.875 | 36 | 10.3 | 1.49 | 2.16 |
| 119 2L | 57.4 | 16.9 | 6 | 6 | 0.75 | 56 | 13.3 | 1.83 | 2.55 |
| 120 2L | 57.4 | 16.9 | 8 | 4 | 0.75 | 19 | 6.14 | 1.05 | 3.9 |
| 121 2L | 57.4 | 16.9 | 4 | 8 | 0.75 | 109 | 21.8 | 2.55 | 1.42 |
| 122 2L | 65.4 | 19.2 | 8 | 8 | 0.625 | 118 | 20.6 | 2.49 | 3.34 |
| 123 2L | 66.2 | 19.5 | 6 | 6 | 0.875 | 64 | 15.3 | 1.81 | 2.57 |
| 124 2L | 67.6 | 19.9 | 8 | 6 | 0.75 | 61 | 13.8 | 1.76 | 3.6 |
| 125 2L | 67.6 | 19.9 | 6 | 8 | 0.75 | 126 | 23.3 | 2.53 | 2.35 |
| 126 2L | 74.8 | 22 | 4 | 8 | 1 | 139 | 28.1 | 2.52 | 1.47 |
| 127 2L | 74.8 | 22 | 6 | 6 | 1 | 71 | 17.1 | 1.8 | 2.59 |
| 128 2L | 74.8 | 22 | 8 | 4 | 1 | 23 | 7.88 | 1.03 | 3.95 |
| 129 2L | 77.8 | 22.9 | 8 | 8 | 0.75 | 139 | 24.4 | 2.47 | 3.36 |
| 130 2L | 88.4 | 26 | 6 | 8 | 1 | 161 | 30.2 | 2.49 | 2.39 |
| 131 2L | 88.4 | 26 | 8 | 6 | 1 | 78 | 17.8 | 1.73 | 3.64 |
| 132 2L | 90 | 26.5 | 8 | 8 | 0.875 | 159 | 28 | 2.45 | 3.38 |
| 133 2L | 102 | 30 | 8 | 8 | 1 | 177 | 31.6 | 2.44 | 3.4 |
| 134 2L | 114 | 33.5 | 8 | 8 | 1.125 | 195 | 35.1 | 2.42 | 3.42 |

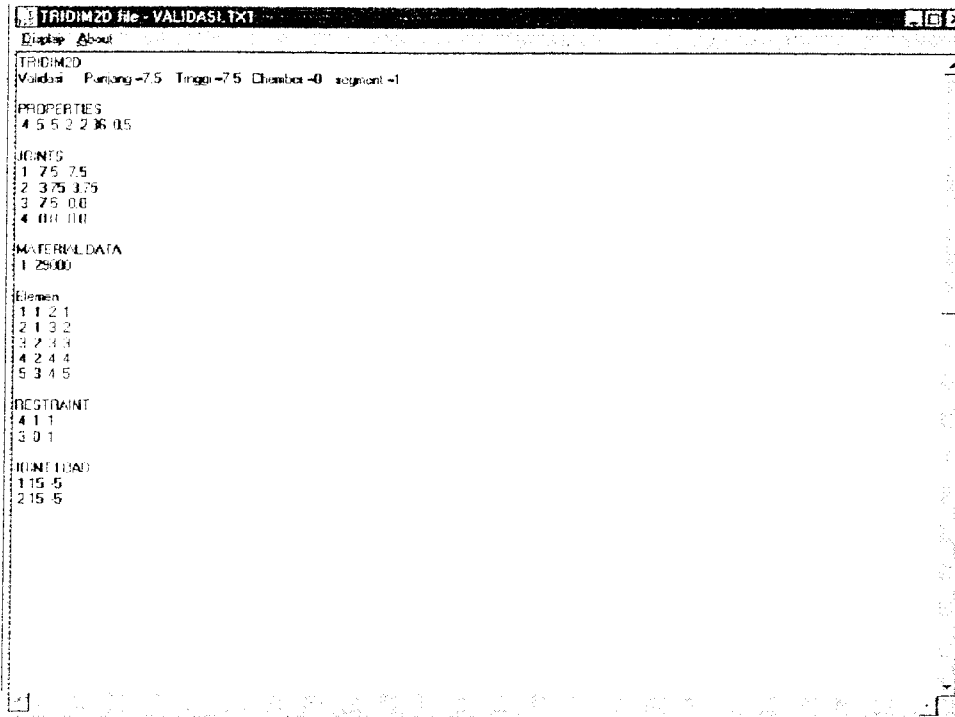
Lampiran Program Aplikasi



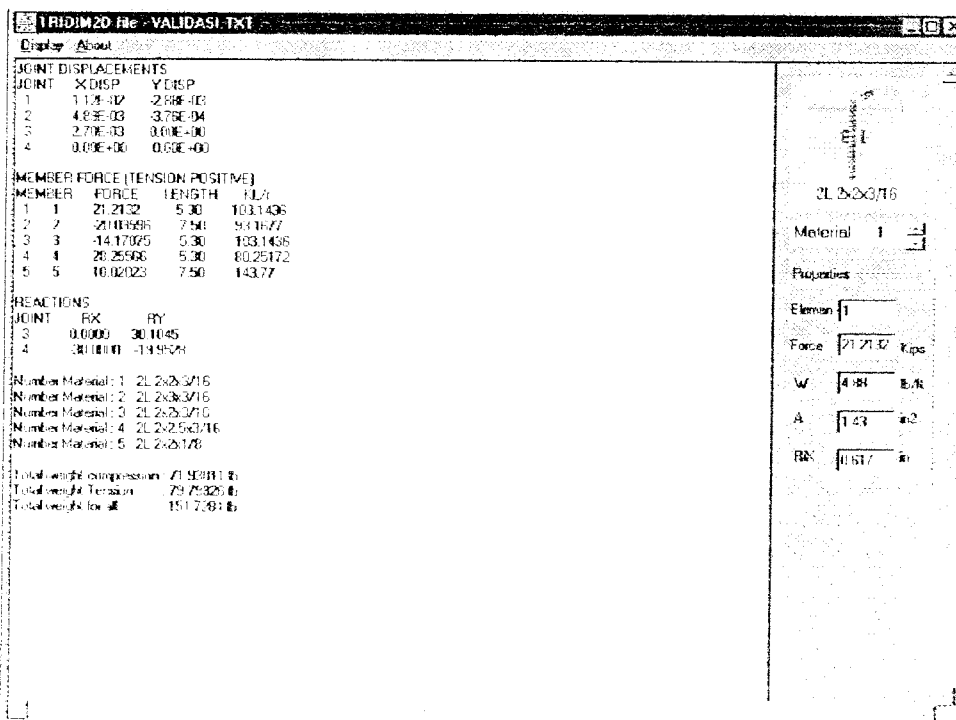
Splash program "TRIDIM2D"



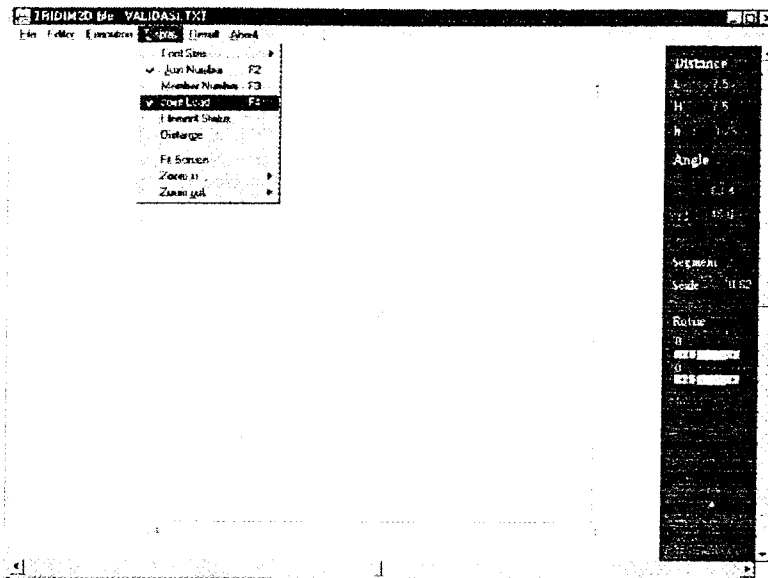
Input data program "TRIDIM2D"



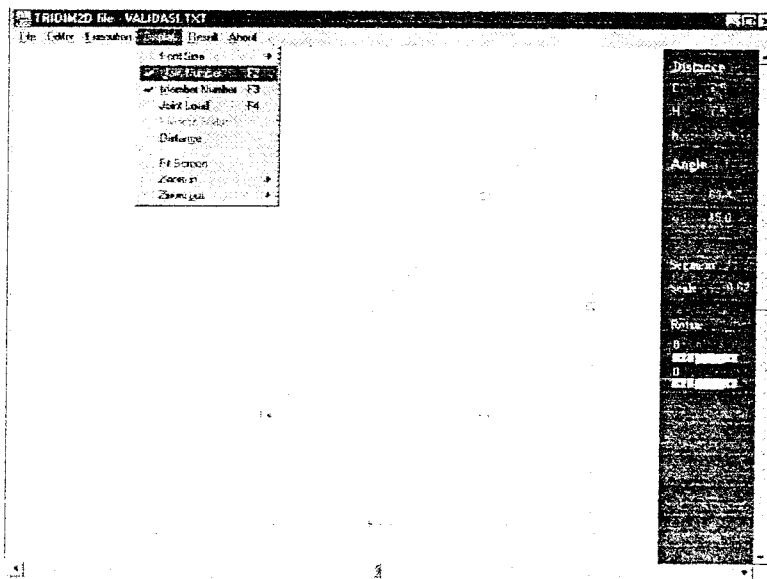
Edit Input program "TRIDIM2D"



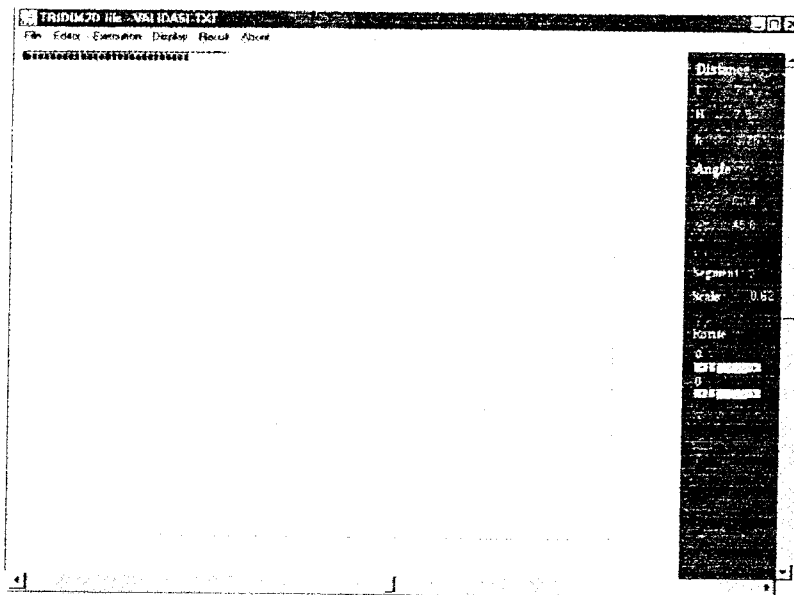
Hasil hitungan program "TRIDIM2D"



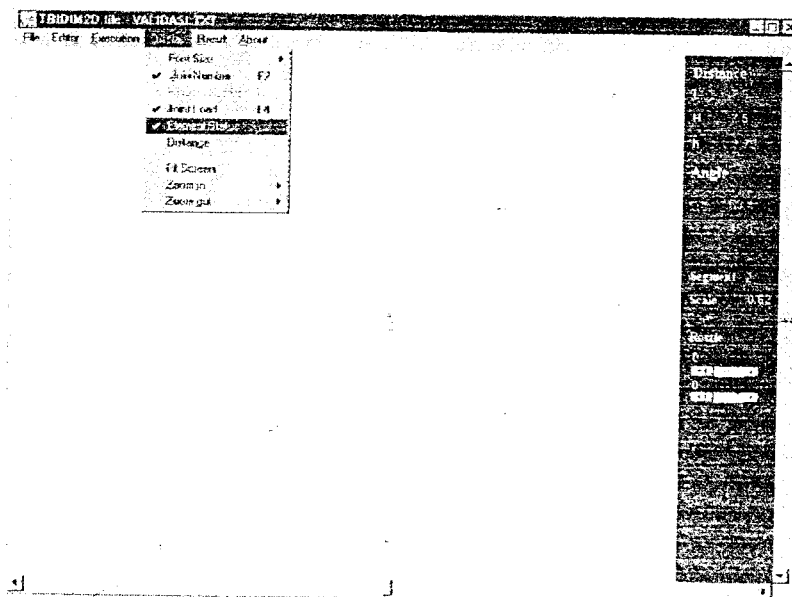
View Joint dan Load Joint program "TRIDIM2D"



View Joint dan Member program "TRIDIM2D"



Eksekusi program "TRIDIM2D"



View status batang program "TRIDIM2D"